



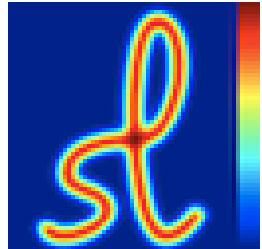
# *Mesures des propriétés viscoélastiques des matériaux : des mesures macroscopiques à la cartographie quantitative à la nanoéchelle*

Dr. Florent DALMAS

[florent.dalmas@insa-lyon.fr](mailto:florent.dalmas@insa-lyon.fr)

Prof. Dr. Philippe LECLERE

[philippe.leclere@umons.ac.be](mailto:philippe.leclere@umons.ac.be)



Forum des Microscopies à Sonde Locale 2024  
22 – 26 avril 2024, Ecully

# Plan

La viscoélasticité, qu'est-ce que c'est ?

La spectroscopie mécanique ou DMA

L'équivalence temps-température

Limites et perspectives : vers les mesures locales

Extension à la nanoéchelle

- nanoDMA
- CR-AFM
- Intermodulation AFM
- ...

Conclusions et Perspectives



# Plan

La viscoélasticité, qu'est-ce que c'est ?

La spectroscopie mécanique ou DMA

L'équivalence temps-température

Limites et perspectives : vers les mesures locales

Extension à la nanoéchelle

- nanoDMA
- CR-AFM
- Intermodulation AFM
- ...

Conclusions et Perspectives



# La viscoélasticité

Elasticité



Viscosité



L'expérience de la goutte de poix

Fluide visqueux

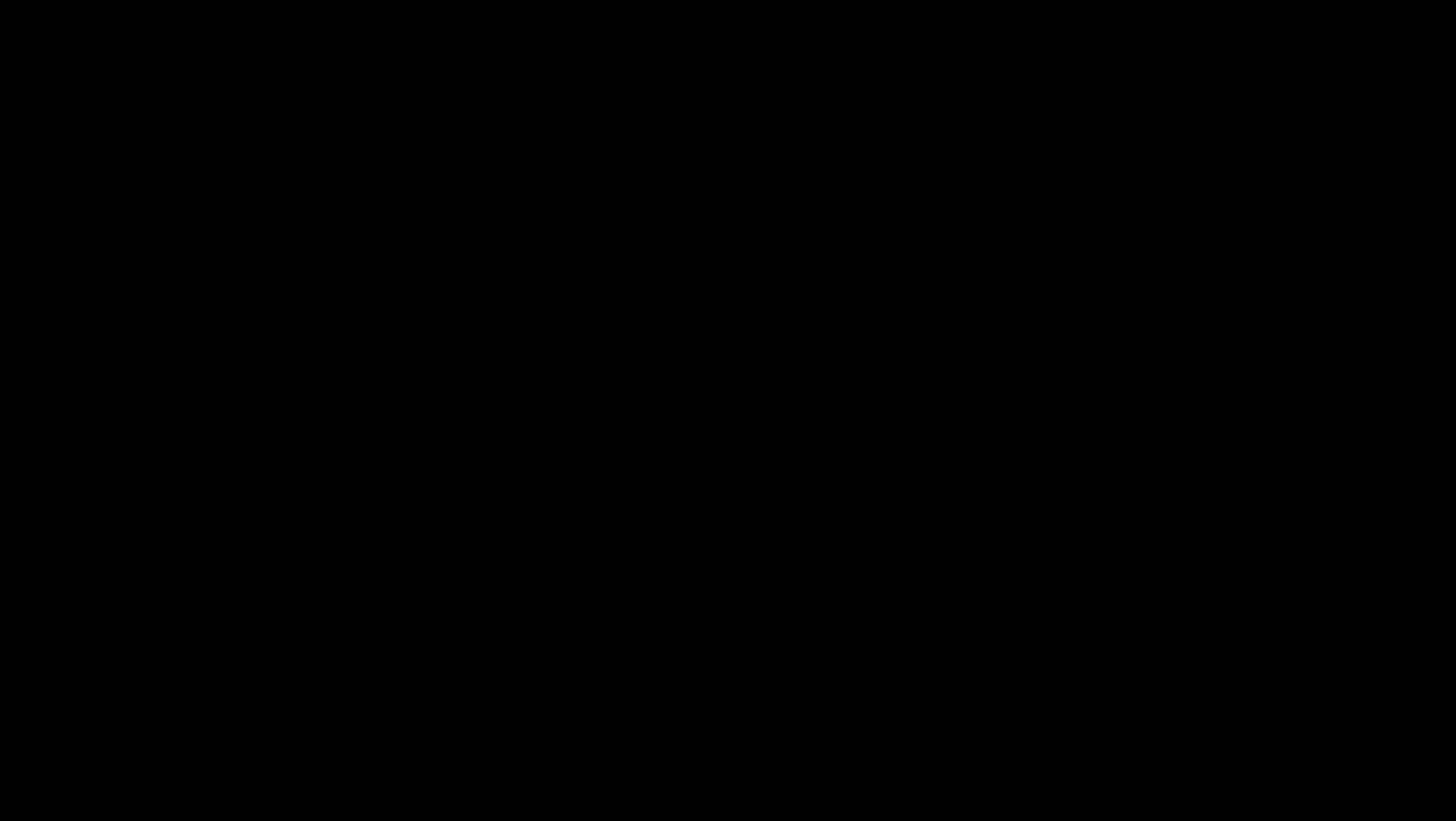
?

Solide fragile



# La viscoélasticité

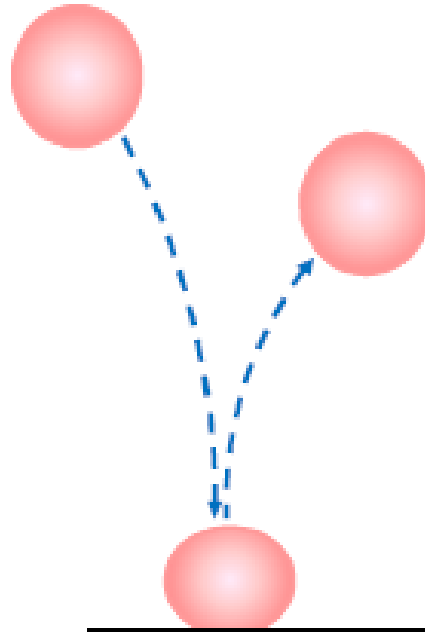
La maïzena dans l'eau



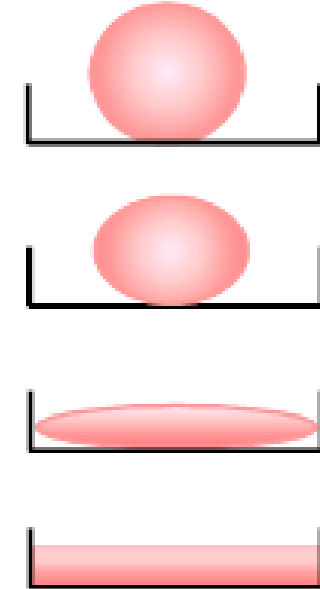
# La viscoélasticité

Un matériau peut avoir l'apparence d'un « solide » si :

- 1- il a un **temps de relaxation** caractéristique très long
- 2- le processus de déformation correspondant est très rapide



T is short [ $< 1s$ ]



T is long [24 hours]

# La viscoélasticité

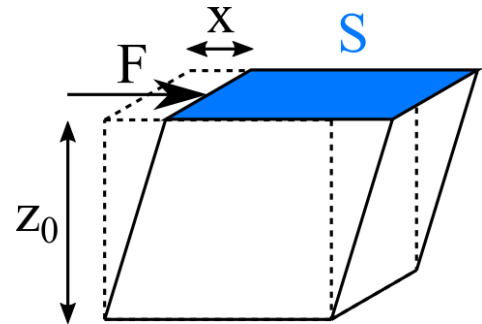


# La viscoélasticité

Modes de sollicitation

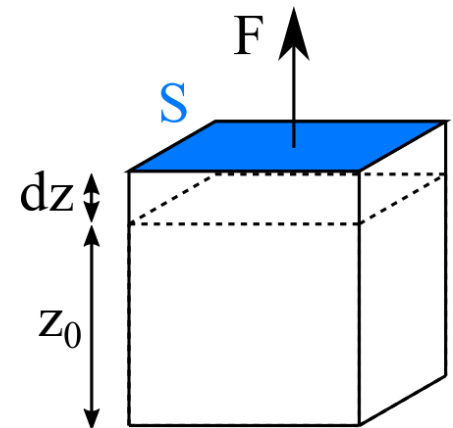
Mesurer les propriétés mécaniques

Contrainte  $\sigma$ , déformation  $\varepsilon$



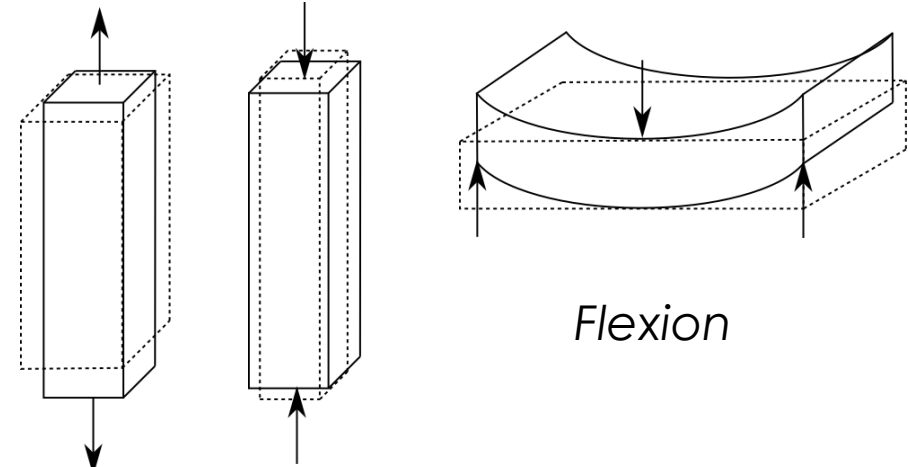
Cisaillement

$$\sigma = \frac{F}{S} \quad \gamma = \frac{x}{z_0} \quad \dot{\gamma} = \frac{1}{z_0} \frac{dx}{dt}$$



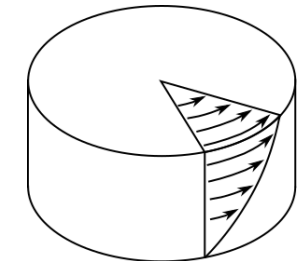
Traction

$$\sigma = \frac{F}{S} \quad d\varepsilon = \frac{dz}{z_0} \quad \dot{\varepsilon} = \frac{1}{z_0} \frac{dz}{dt}$$

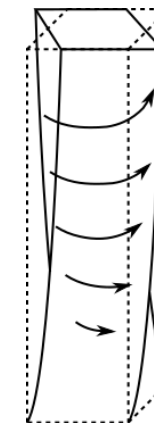


Flexion

Traction      Compression



Cisaillement

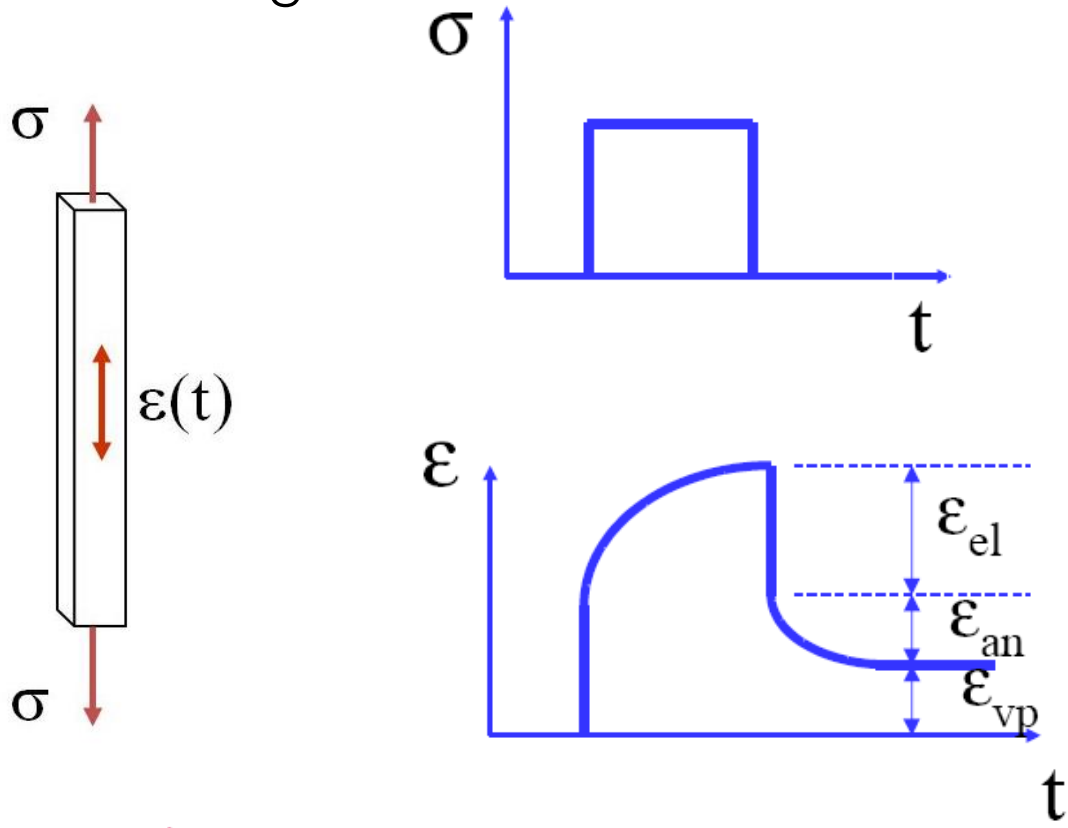


Torsion

# La viscoélasticité

## Manifestation expérimentale de la viscoélasticité

Essai de fluage



**el** : élastique; retour réversible, immédiat

**an** : anélastique ou viscoélastique;  
retour réversible, différé ( $f(t)$ )

**vp** : viscoplastique; irréversible, pas de  
retour ( $\epsilon_{vp}$  peut être recouvrée à  $T > T_g$ )

# La viscoélasticité

## L'élasticité



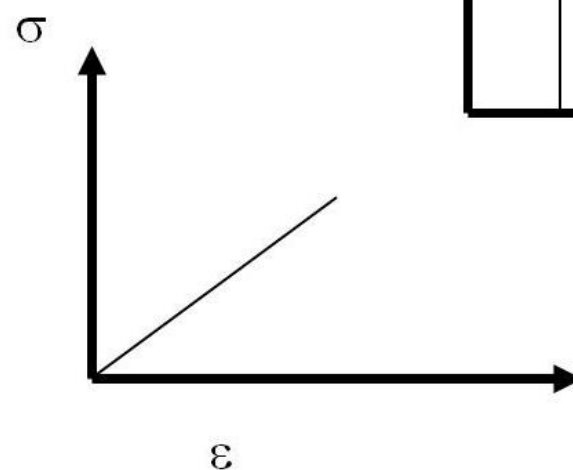
Loi de Hook

En traction :  $\sigma = E\varepsilon$

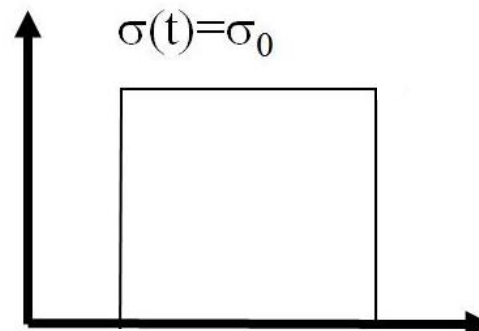
En cisaillement :  $\sigma = G\gamma$

Module d'élasticité :

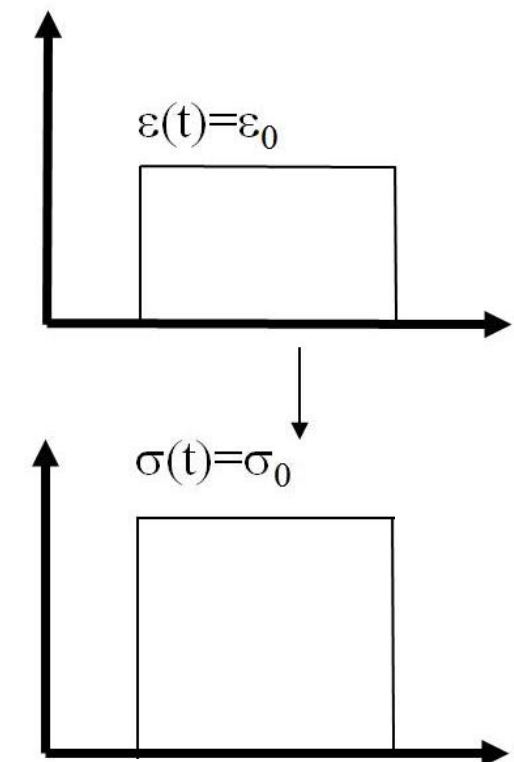
$$E = 2(1 + v)G$$



Essai de fluage



Essai de relaxation



Essai de traction monotone

# La viscoélasticité

## La viscosité

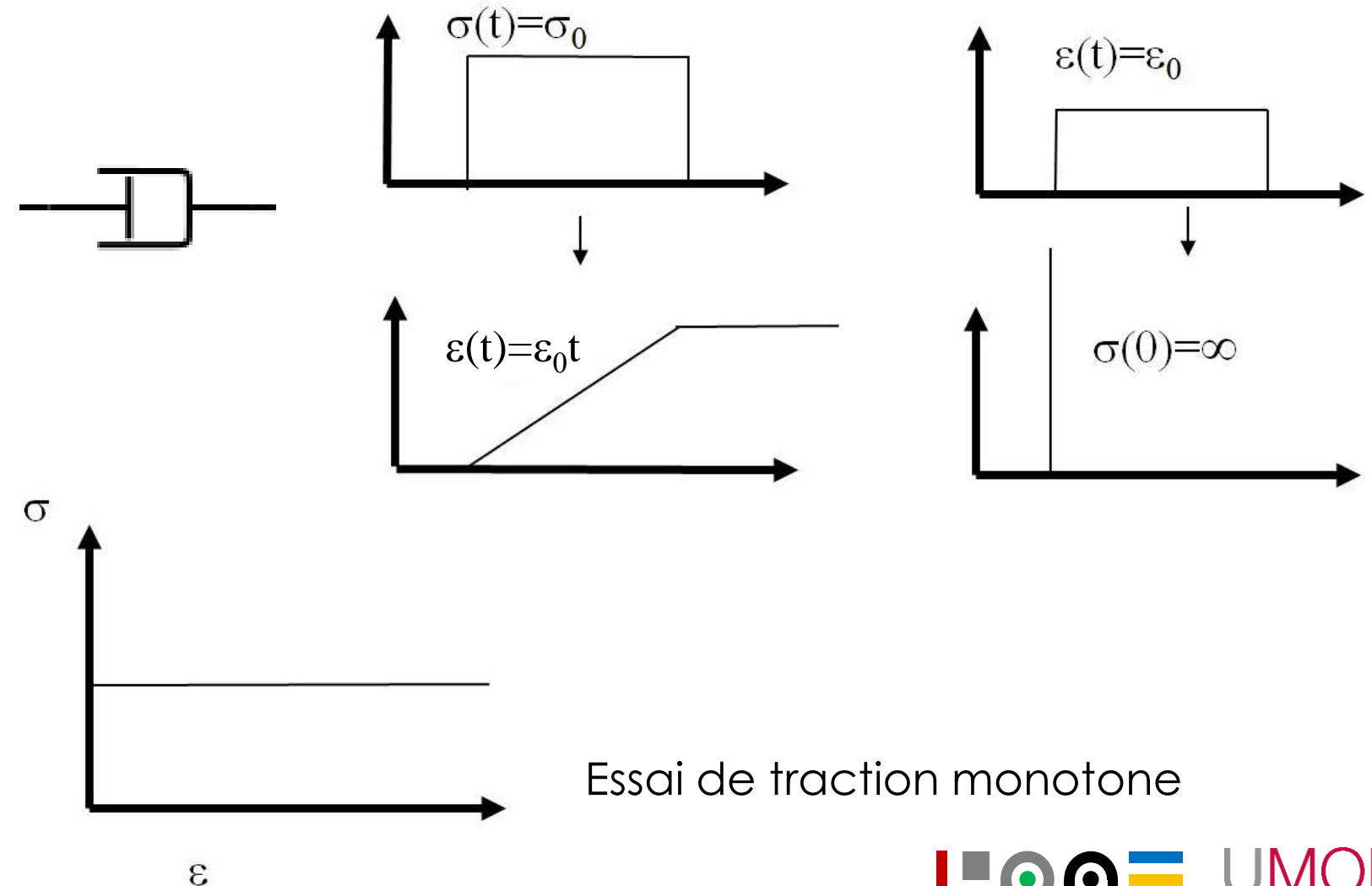


Loi de Newton

En traction :  $\sigma = \eta \dot{\varepsilon}$

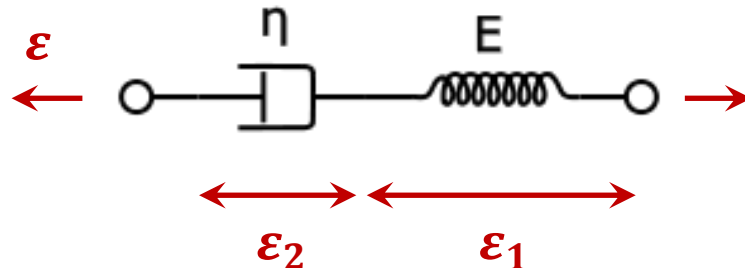
En cisaillement :  $\sigma = \eta \dot{\gamma}$

$\eta$  : Viscosité



# La viscoélasticité

Et la viscoélasticité alors ?



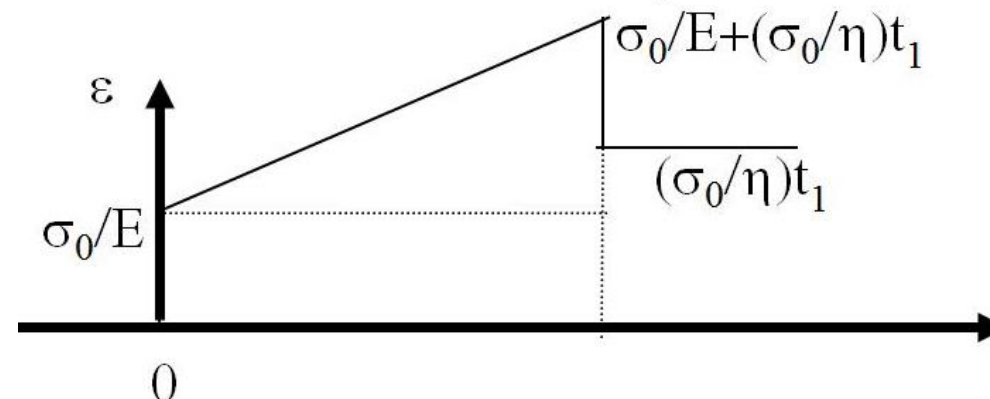
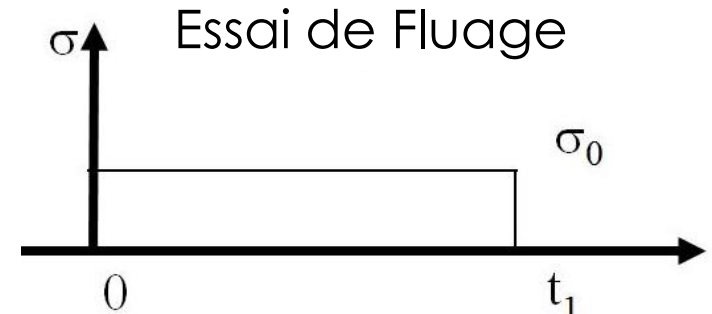
$$\begin{array}{l|l} \sigma = \sigma_1 = \sigma_2 & \sigma_1 = E\varepsilon_1 \\ \varepsilon = \varepsilon_1 + \varepsilon_2 & \sigma_2 = \eta\dot{\varepsilon}_2 \end{array}$$

$$\dot{\varepsilon} = \frac{d\varepsilon}{dt} = \frac{1}{E} \frac{d\sigma}{dt} + \frac{1}{\eta} \sigma$$

$$\text{À } t = 0, \sigma = \sigma_0 \text{ et } \varepsilon = \frac{\sigma_0}{E}$$

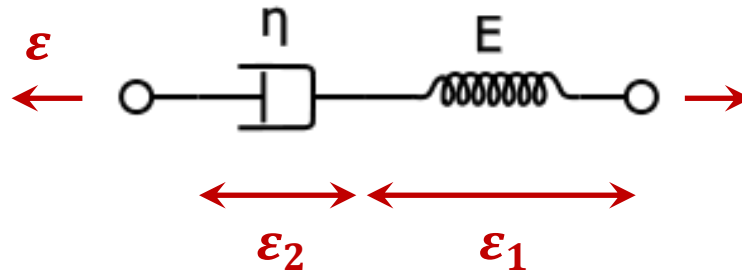
$$\text{À } 0 < t < t_1 \quad \varepsilon(t) = \frac{\sigma_0}{\eta} t + \frac{\sigma_0}{E}$$

$$\text{À } t > t_1 \quad \varepsilon_1 = 0 \quad \varepsilon_2 = \frac{\sigma_0}{\eta} t_1$$



# La viscoélasticité

Et la viscoélasticité alors ?



$$\sigma = \sigma_1 = \sigma_2$$

$$\varepsilon = \varepsilon_1 + \varepsilon_2$$

$$\sigma_1 = E\varepsilon_1$$

$$\sigma_2 = \eta\dot{\varepsilon}_2$$

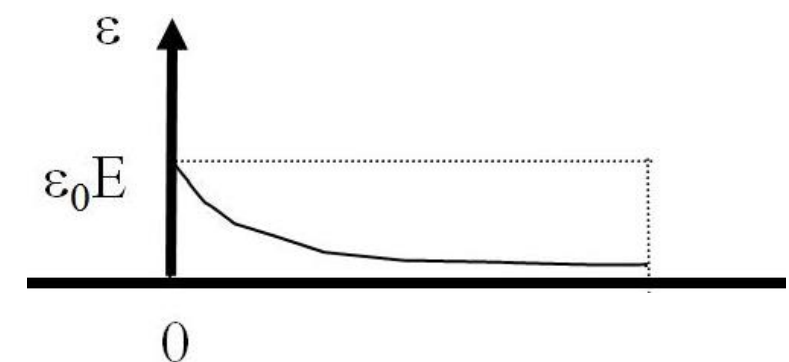
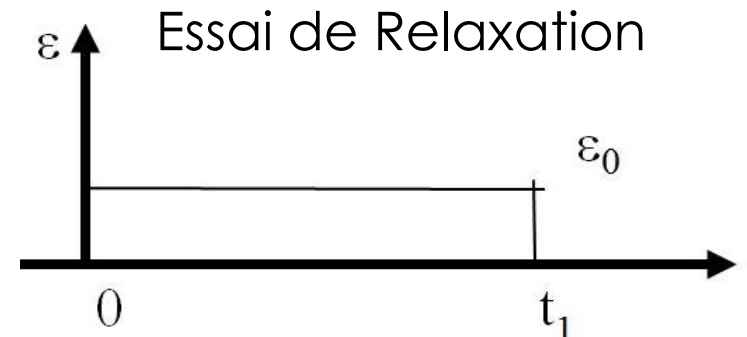
$$\dot{\varepsilon} = \frac{d\varepsilon}{dt} = \frac{1}{E} \frac{d\sigma}{dt} + \frac{1}{\eta} \sigma$$

Avec  $\frac{d\varepsilon}{dt} = 0 \rightarrow \sigma(t) = Ae^{-\frac{t}{\tau}}$

À  $t = 0, \sigma = \varepsilon_0 E \rightarrow A = \varepsilon_0 E$

$$E_{eq}(t) = \frac{\sigma_0}{\varepsilon} = E e^{-\frac{t}{\tau}}$$

$$\tau = \frac{\eta}{E} : \text{temps de relaxation}$$



# La viscoélasticité

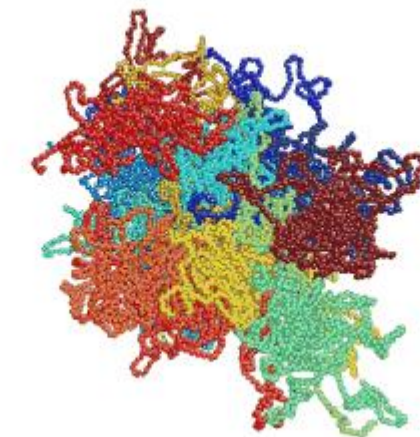
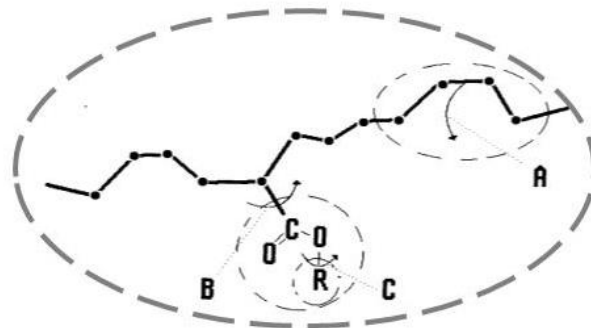
$$E(t) = E_0 e^{-\frac{t}{\tau}}$$

Et la viscoélasticité alors ?

Temps de relaxation ➔ « mécanisme relaxационnel » ou relaxation

Lorsque le matériau est soumis à une sollicitation mécanique, les phénomènes intervenant au sein du matériau ont besoin d'un certain temps pour accommoder la contrainte.

Pour quoi du temps ?

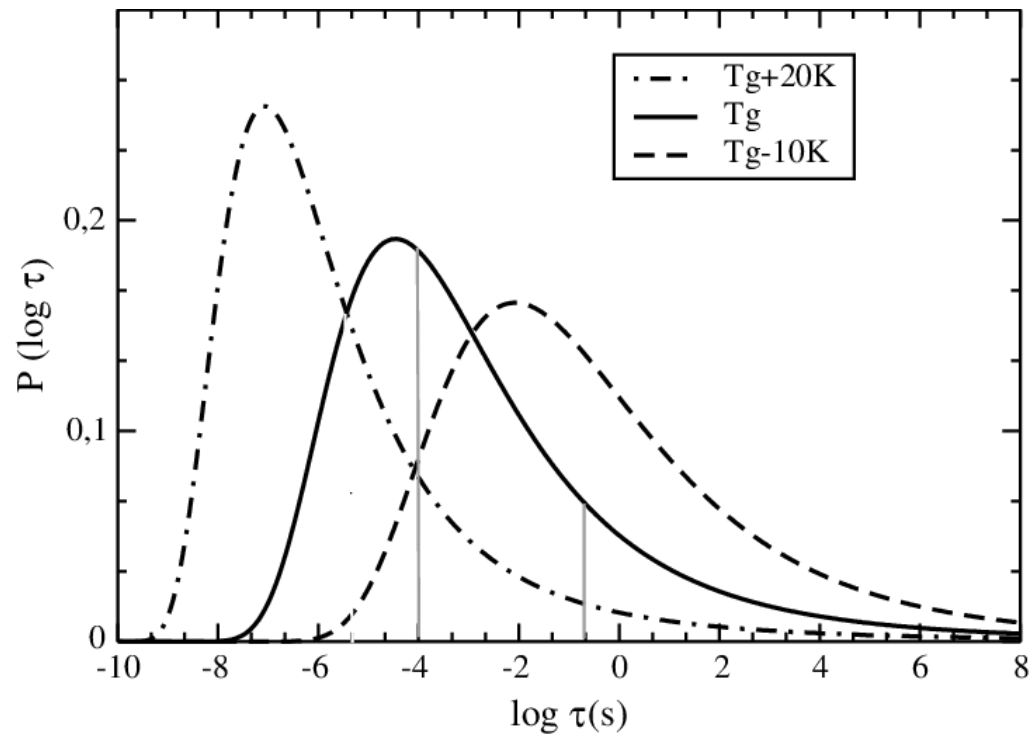


Le concept de relaxation est rencontré dès qu'un temps est nécessaire avant le retour à un équilibre.

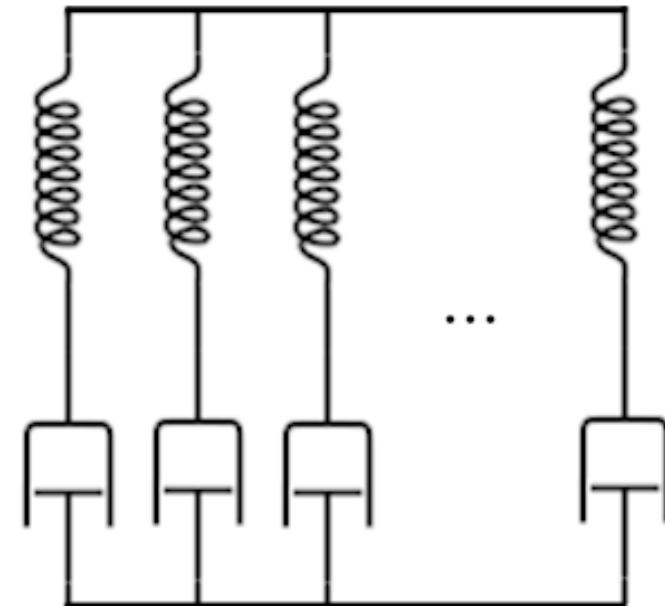
# La viscoélasticité

Comment décrire ce plat de serpent viscoélastique ?

Spectre de relaxation d'un polystyrène



Modèle de Maxwell généralisé



# La spectrométrie mécanique ou DMA

Comment mesurer les propriétés viscoélastiques ?



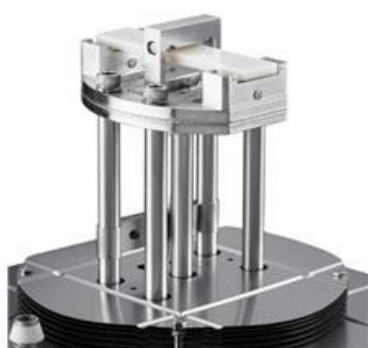
S/D Cantilever



Film/Fiber Tension



3-Point Bending



Compression



Analyse  
Mécanique  
Dynamique  
(DMA en anglais)

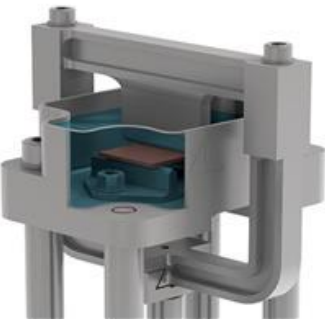
Shear Sandwich



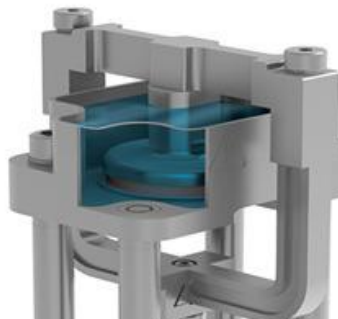
Submersible Tension



Submersible Bending



Submersible Compression



# La spectrométrie mécanique ou DMA

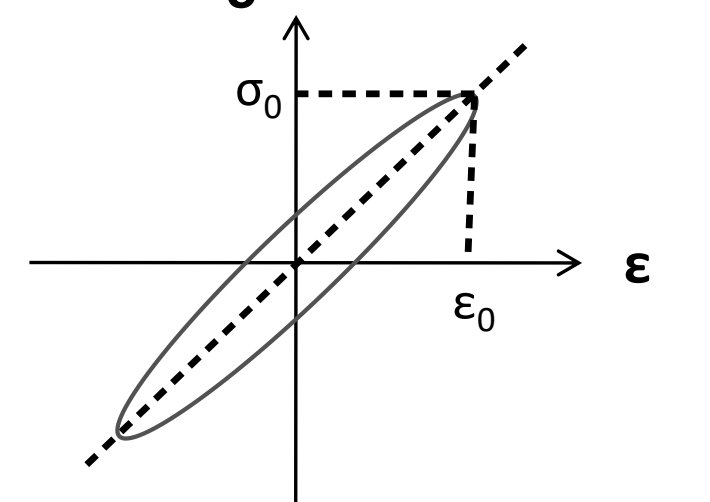
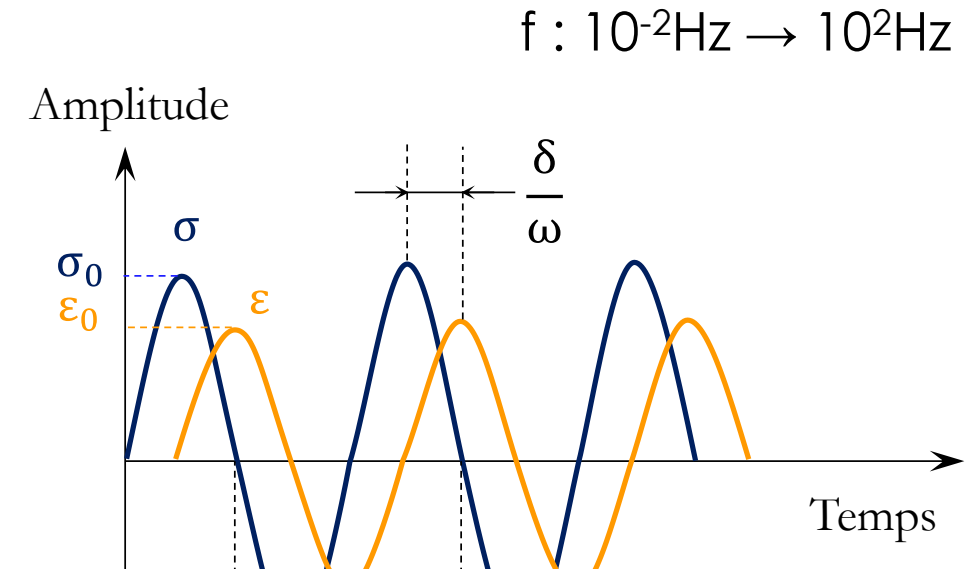
- Déformation sinusoïdale imposée :  $\varepsilon^* = \varepsilon_0 e^{i\omega t}$
- Contrainte déphasée :  $\sigma^* = \sigma_0 e^{i(\omega t + \delta)}$

⇒ **Module d'Young complexe :**  $E^* = \frac{\sigma^*}{\varepsilon^*} = E' + iE''$

{  
E' = Module de conservation (élasticité)  
E'' = Module de perte (anélasticité)

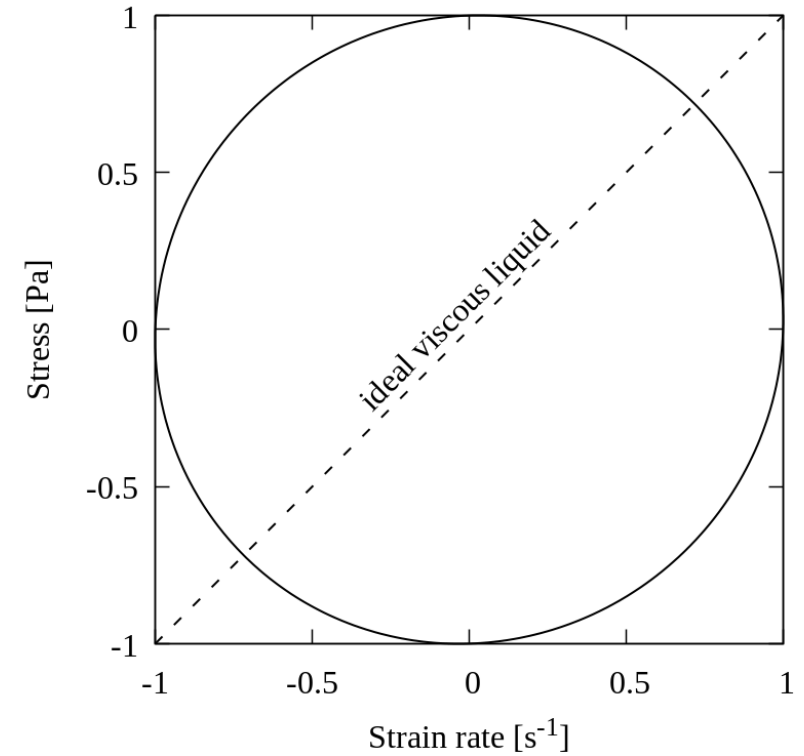
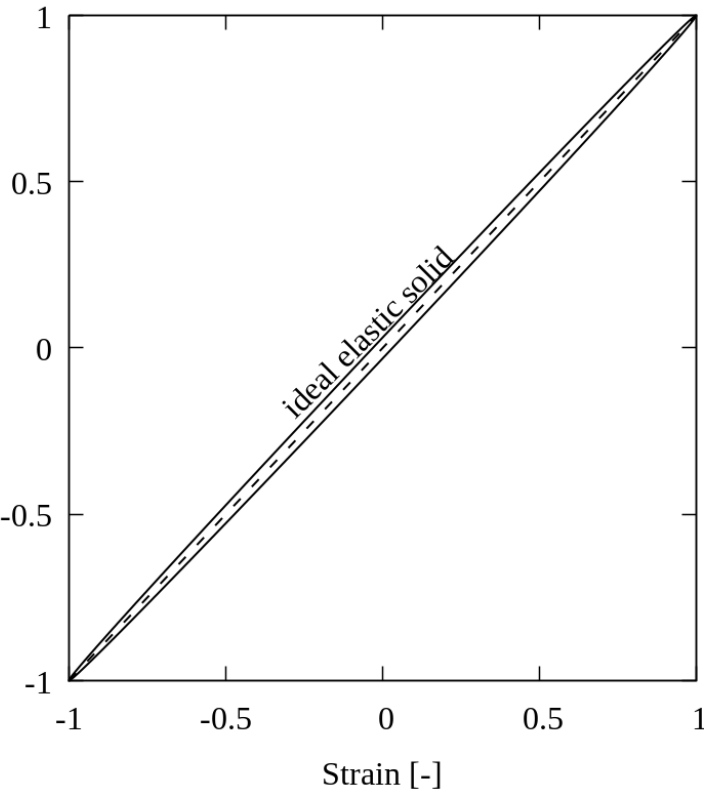
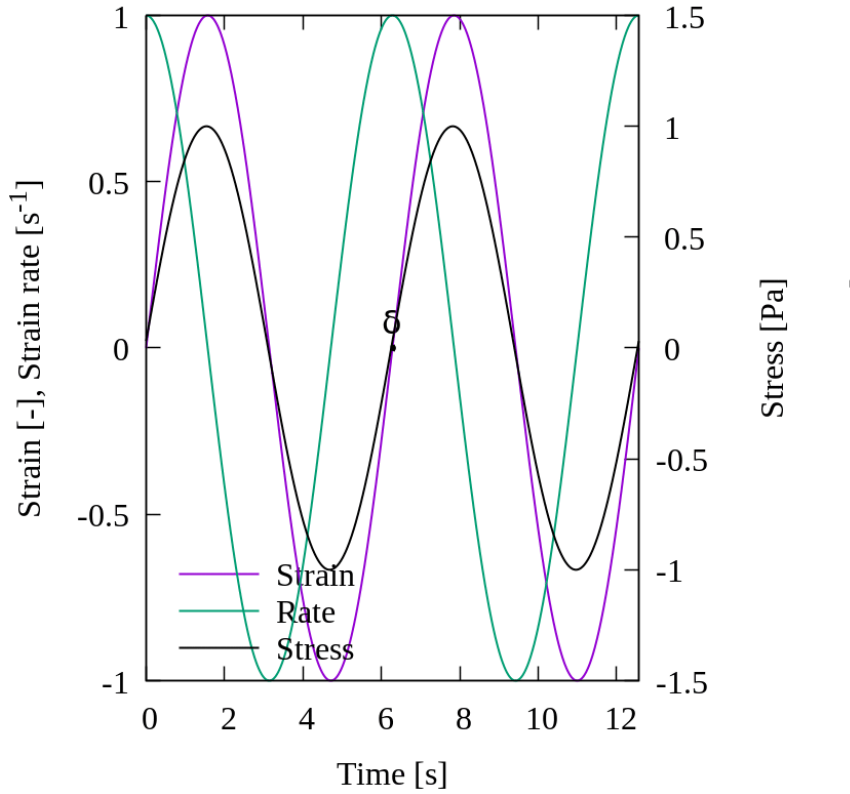
⇒ **Facteur de perte :**  $\tan(\delta) = \frac{E''}{E'}$

Module complexe en fonction de la **température** (isochrone) ou de la **fréquence** (isotherme) de sollicitation

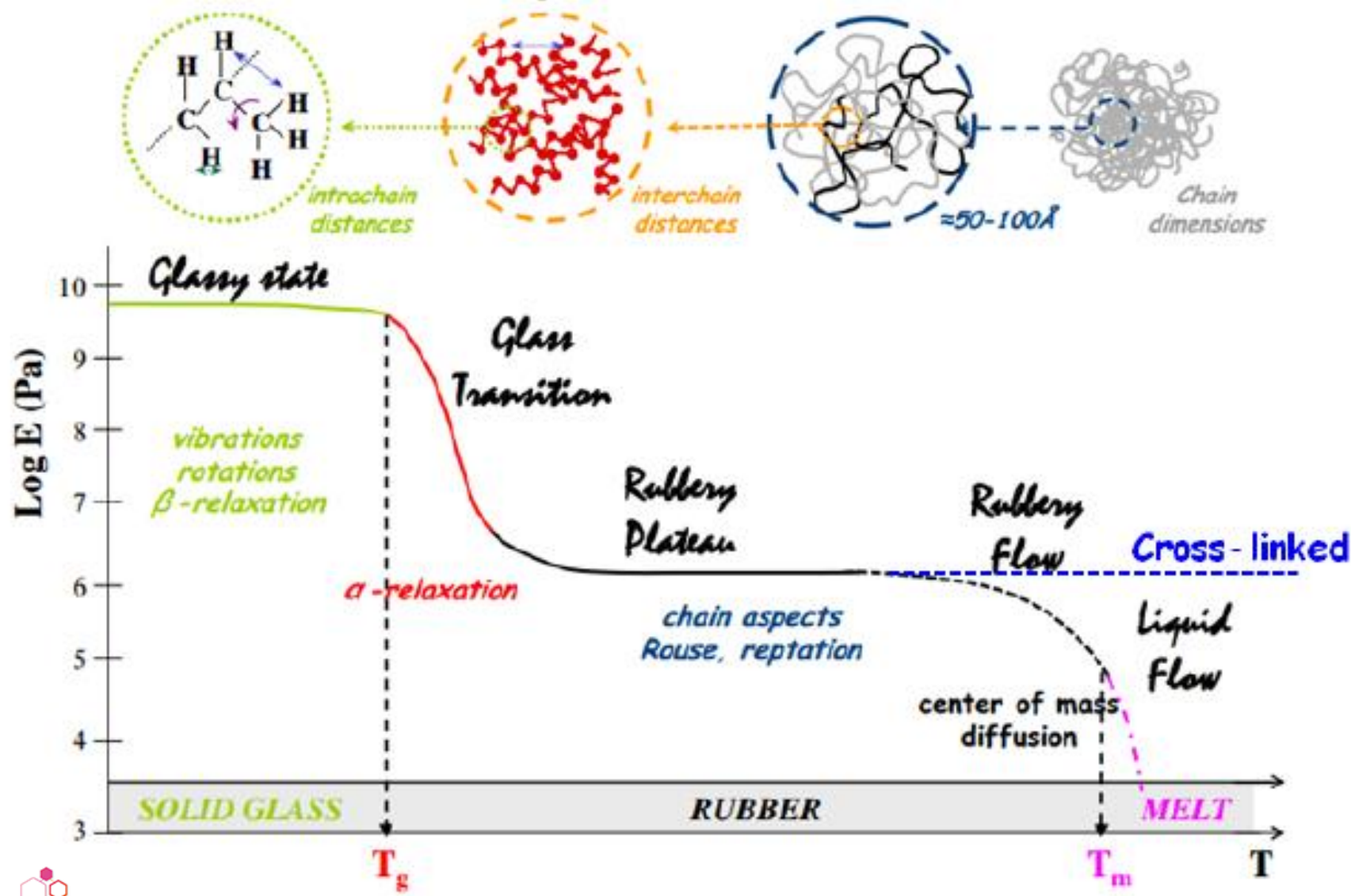


# La spectrométrie mécanique ou DMA

$\tan \delta = G''/G' = 0.03$   
more elastic

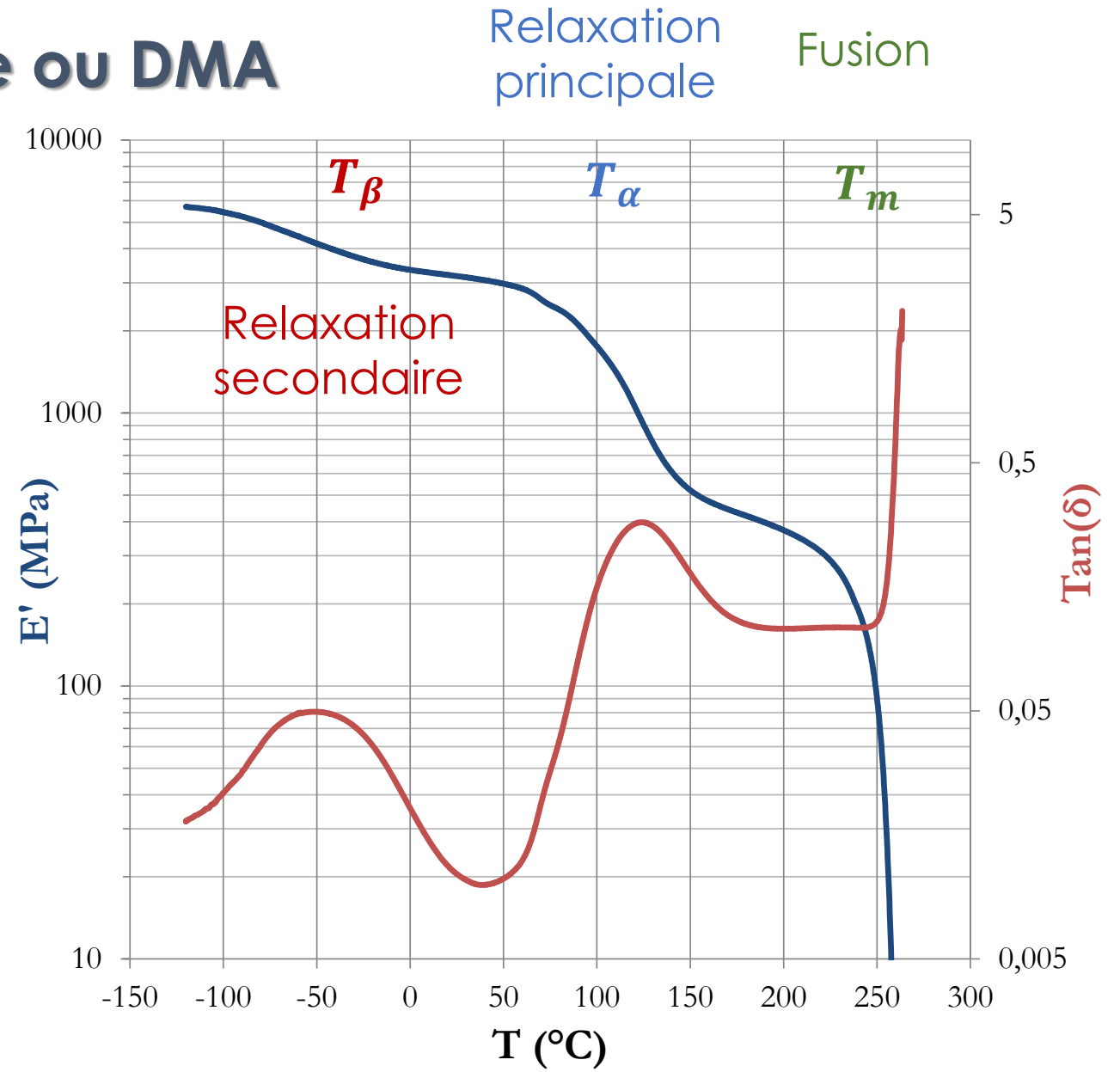
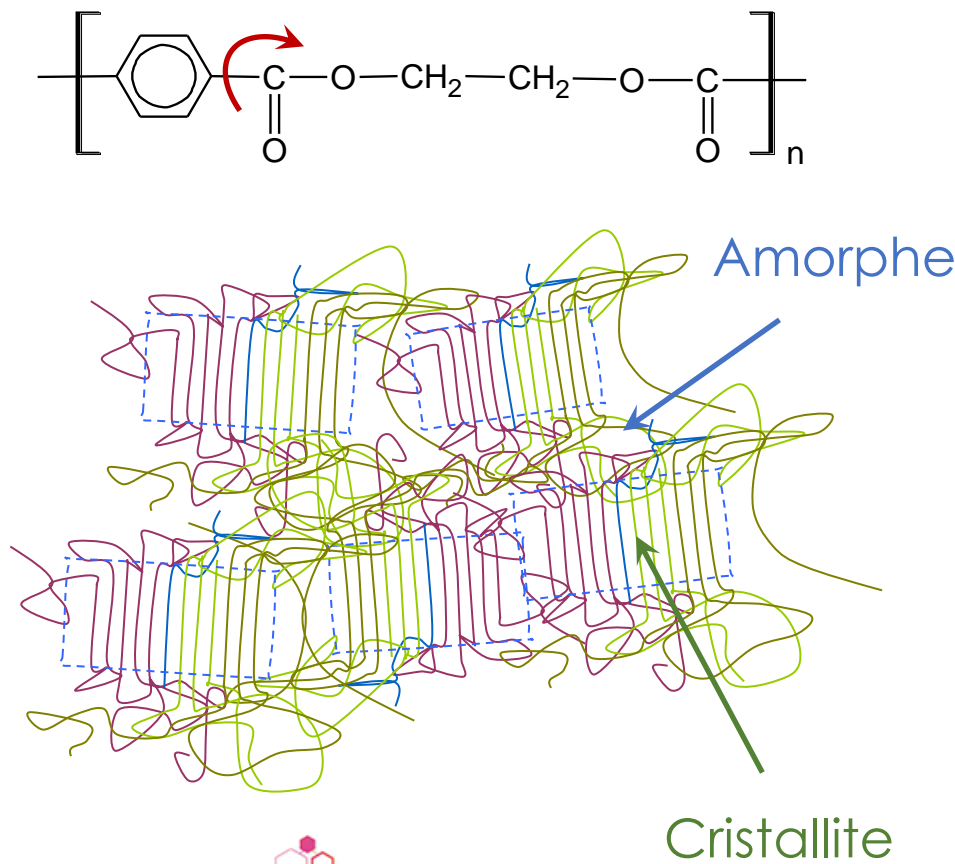


# La spectrométrie mécanique ou DMA



# La spectrométrie mécanique ou DMA

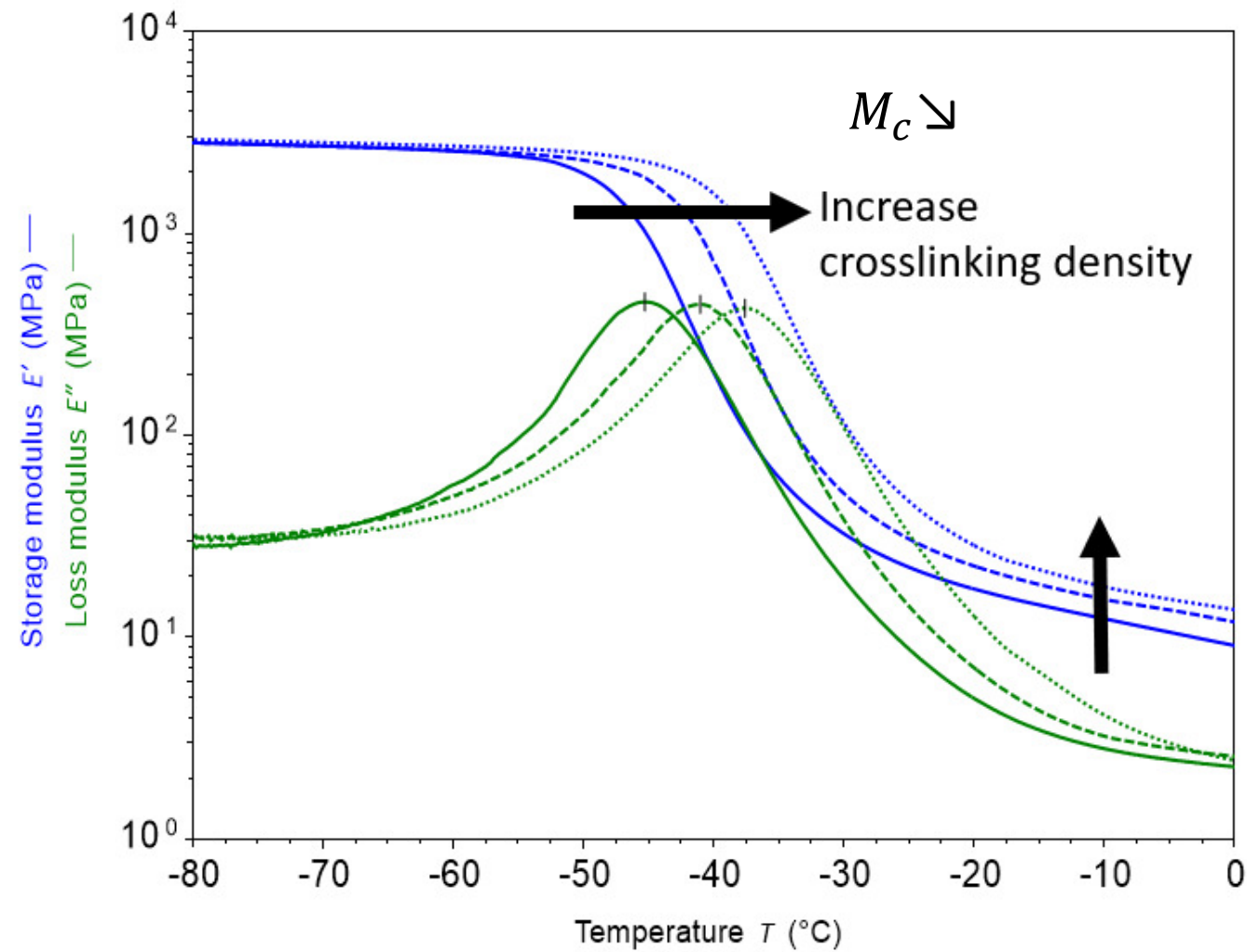
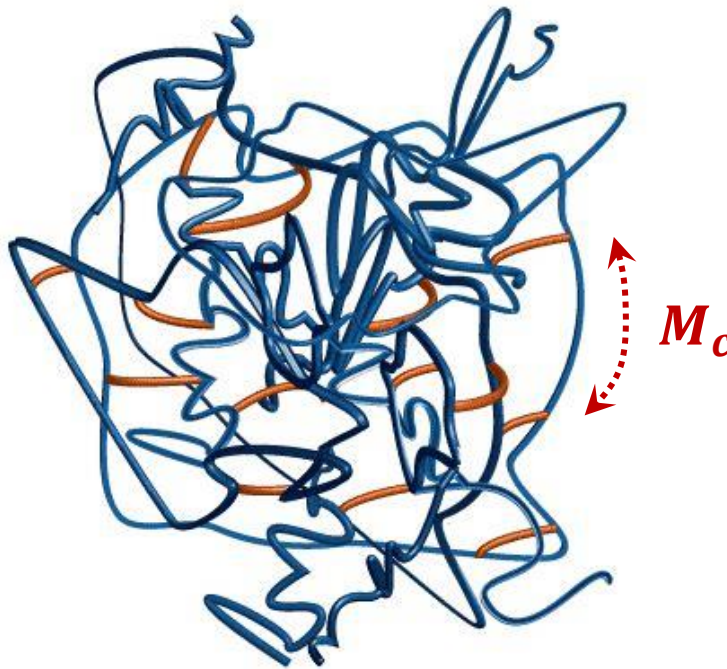
Relaxations dans le polyéthylène téréphthalate (PET)



# La spectrométrie mécanique ou DMA

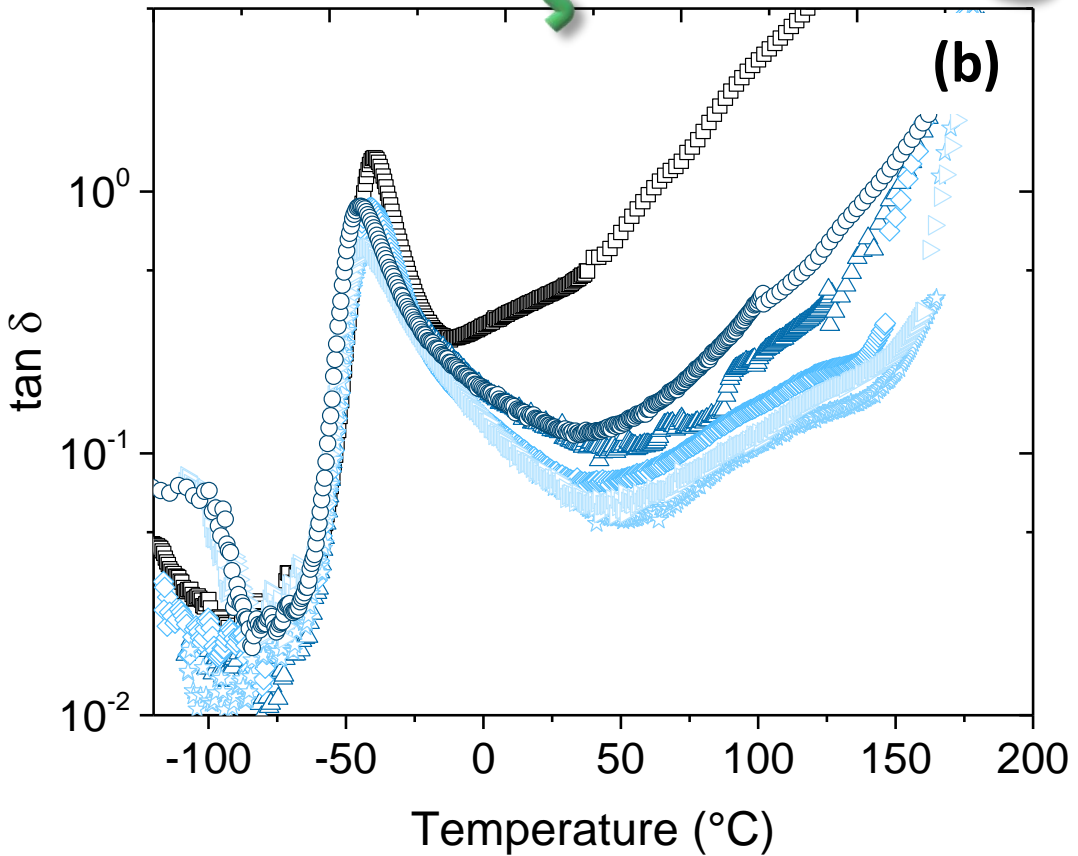
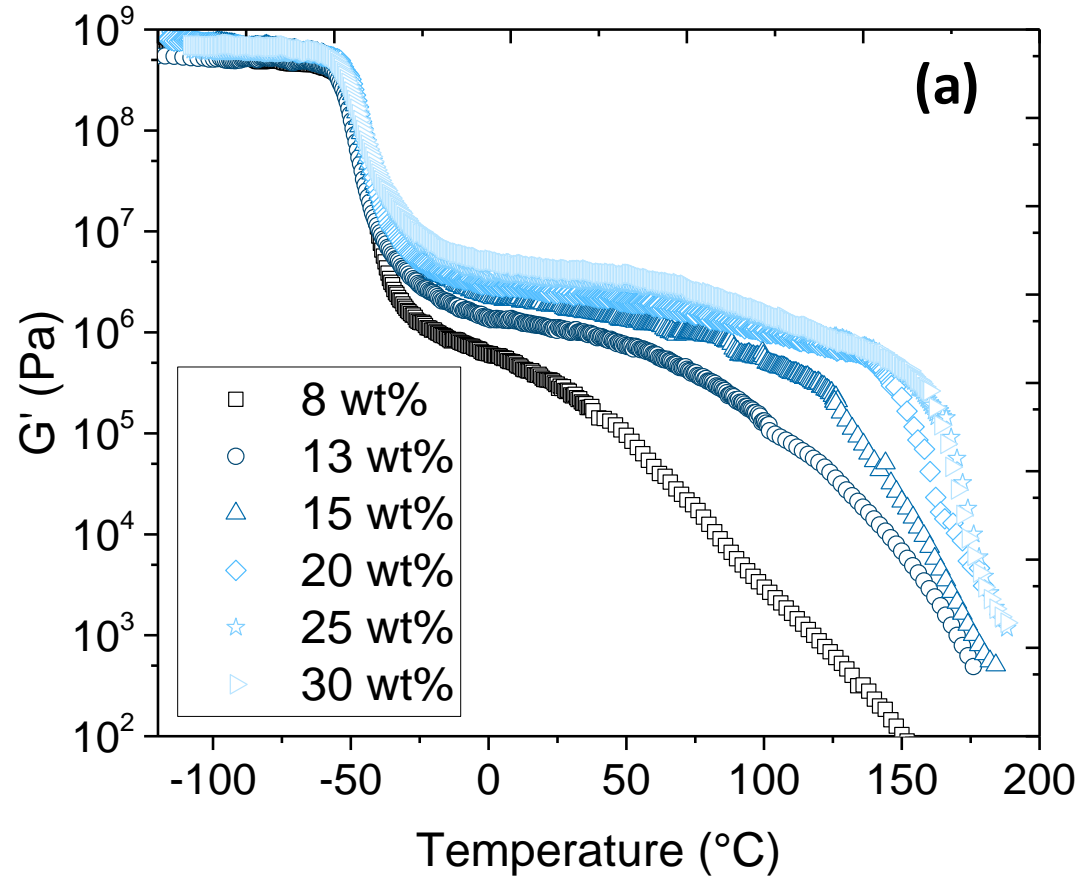
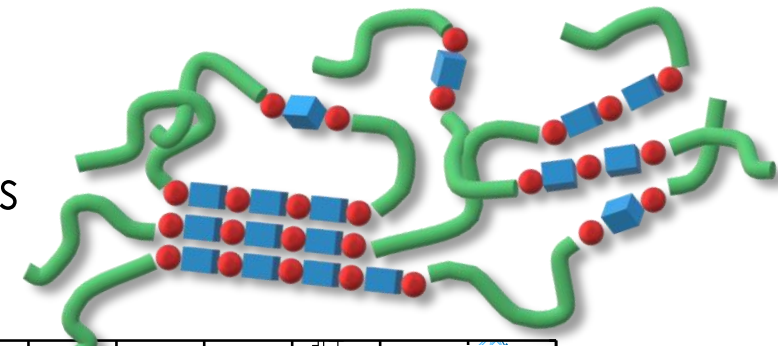
## Quelques exemples

Elastomère réticulé : effet de la densité de réticulation

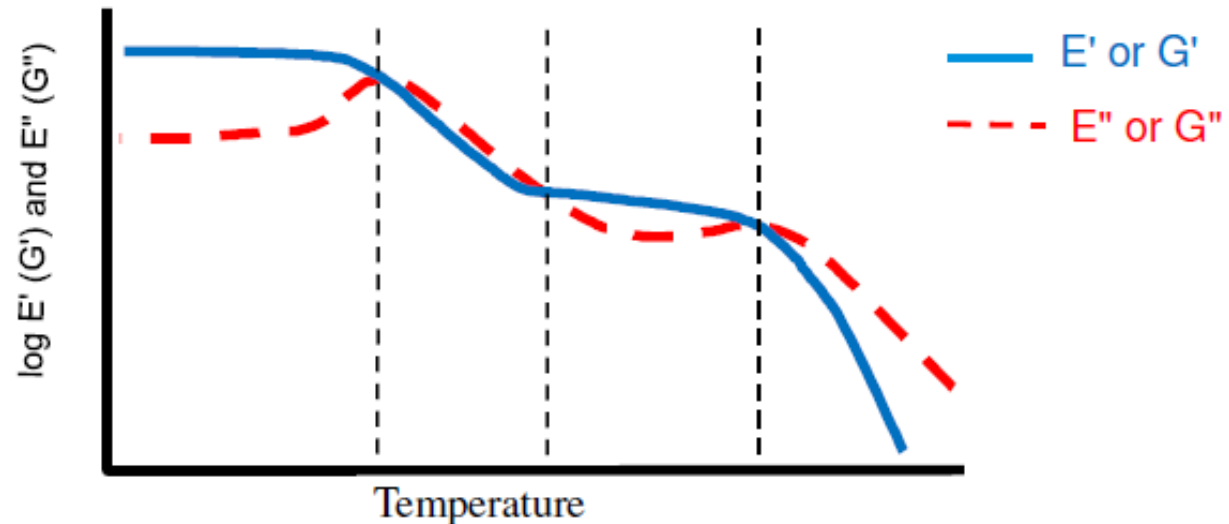
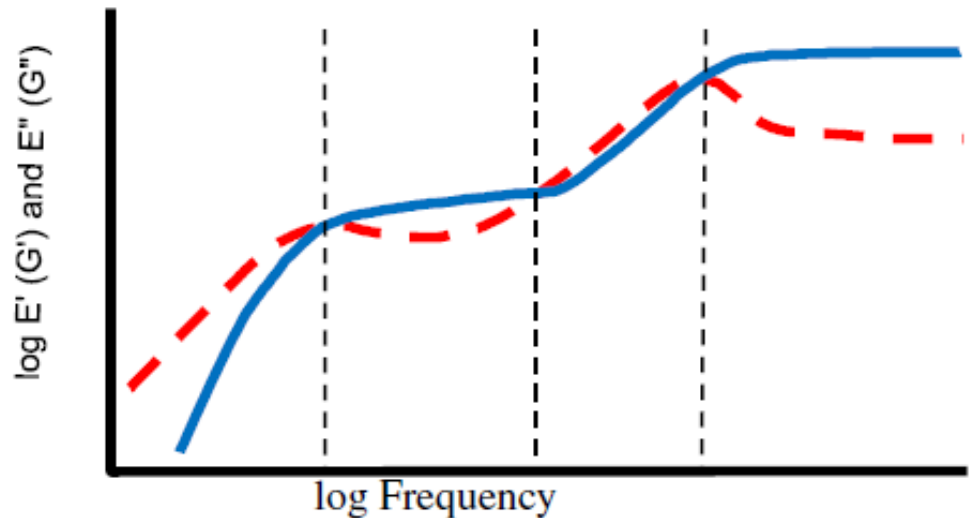


# La spectrométrie mécanique ou DMA

Polyuréthane thermoplastique : effet du taux de segments rigides



# Et l'équivalence temps-température ?

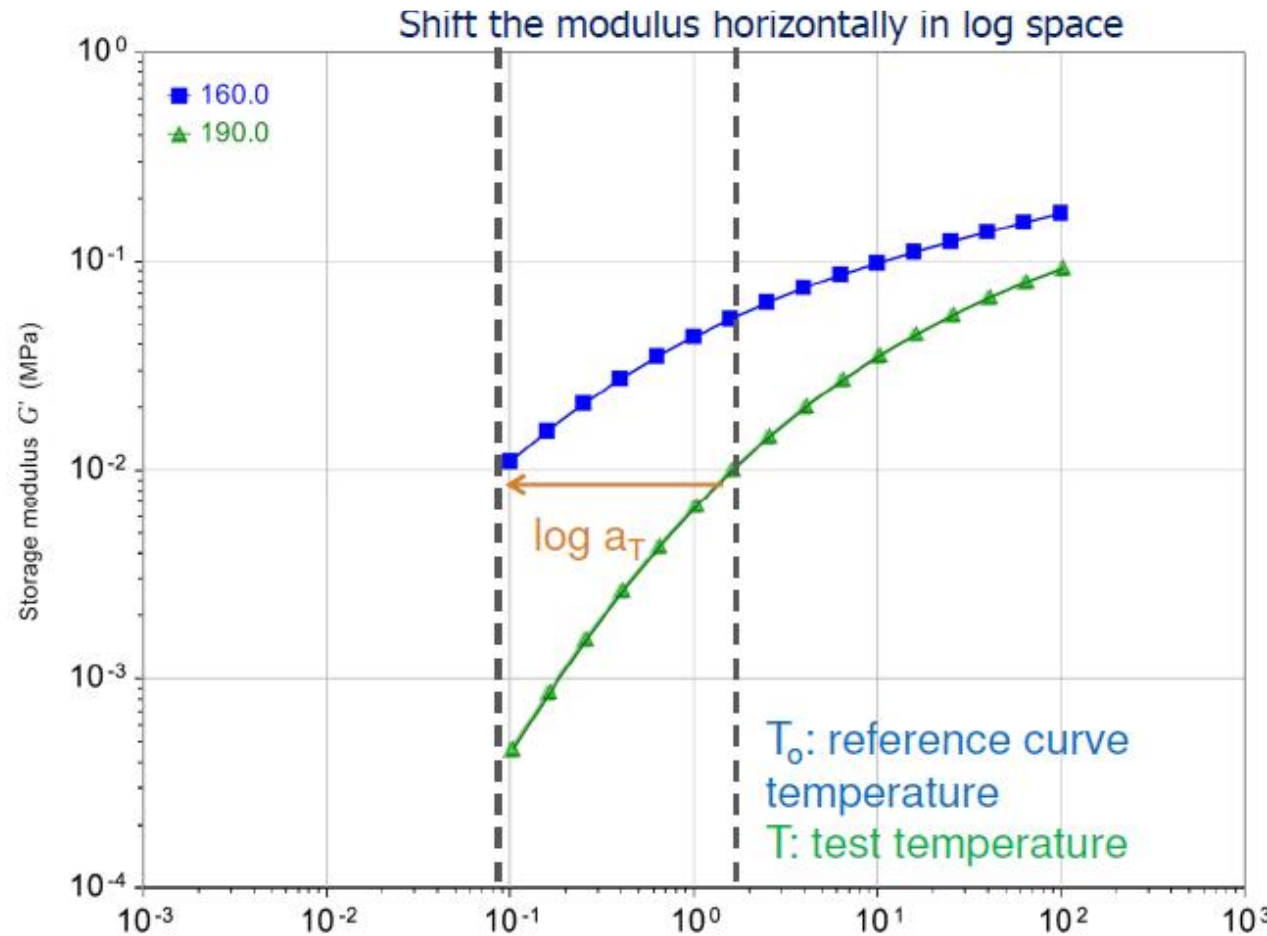


Certains matériaux présentent une dépendance temporelle proportionnelle à la dépendance thermique.

- ➔ Diminuer la température  $\equiv$  Augmenter la fréquence et vice versa
- ➔ Pour ces matériaux, les changements de température peuvent être utilisés pour « rééchelonner » le temps et prédire le comportement sur des échelles de temps qui ne sont pas facilement mesurables.

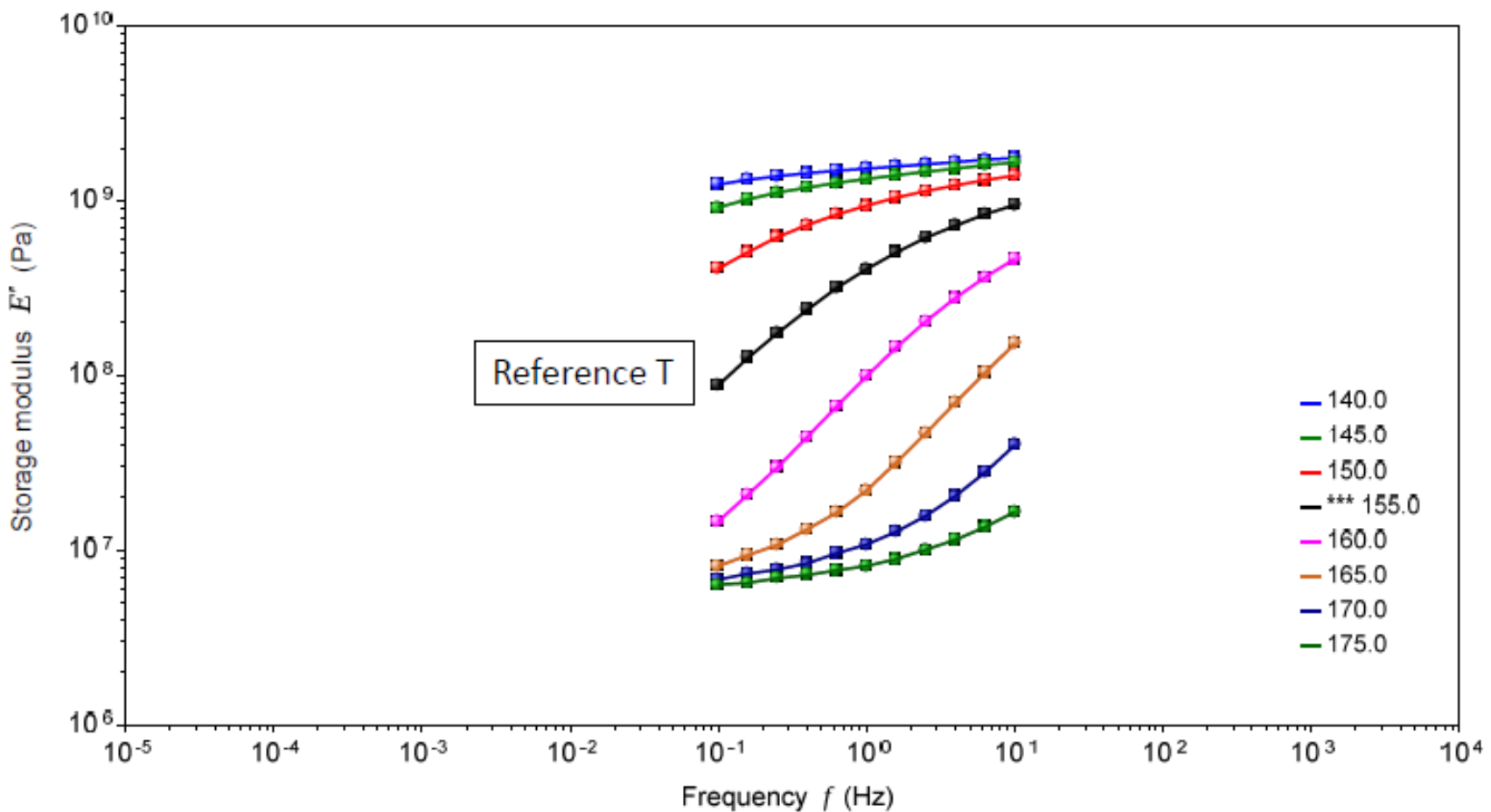
# Et l'équivalence temps-température ?

$a_T$  = facteur de glissement

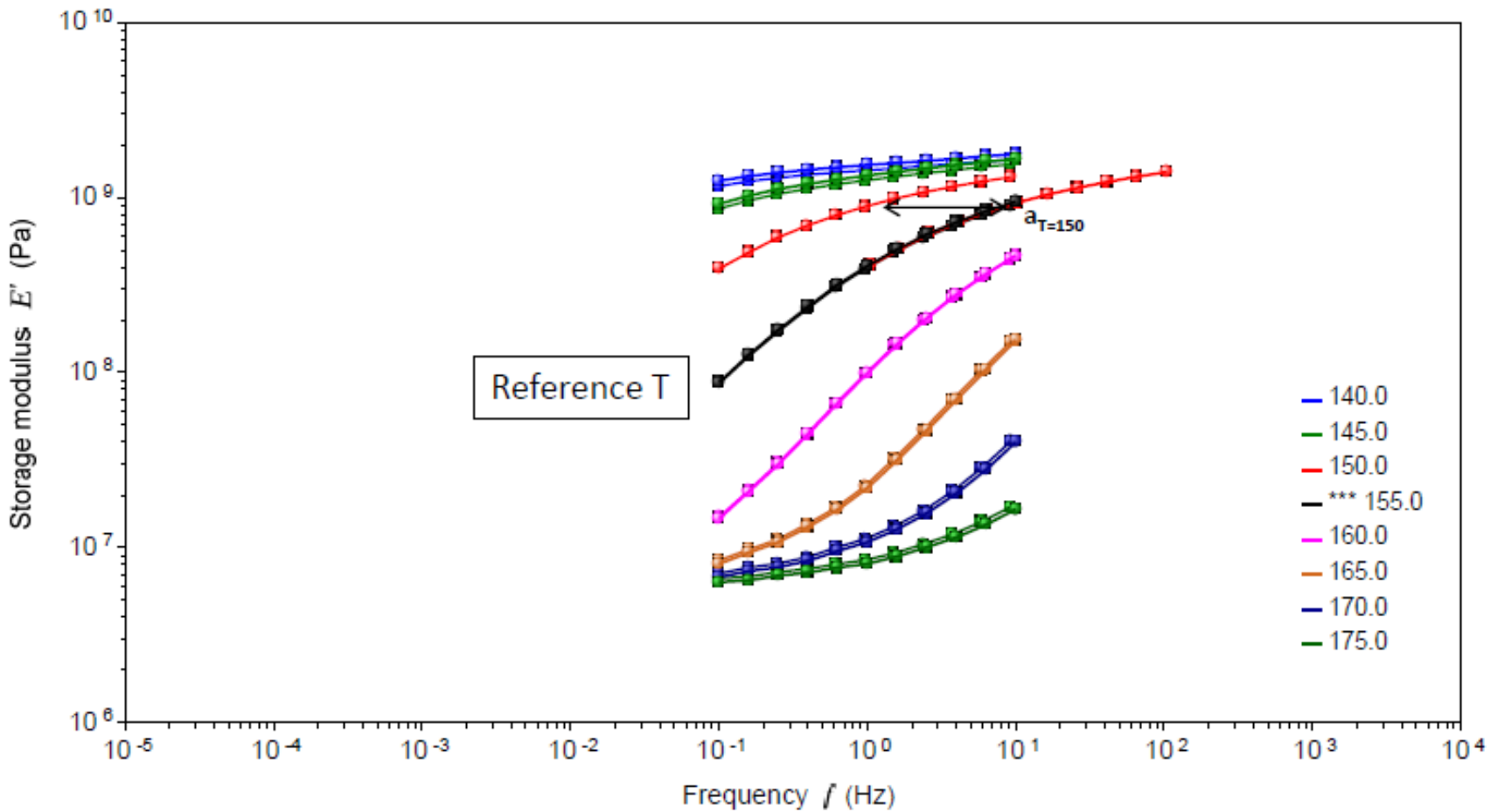


Dealy, J., Plazek, D., Time-Temperature Superposition – A Users Guide, Rheology Bulletin, 78(20) 16 (2009)

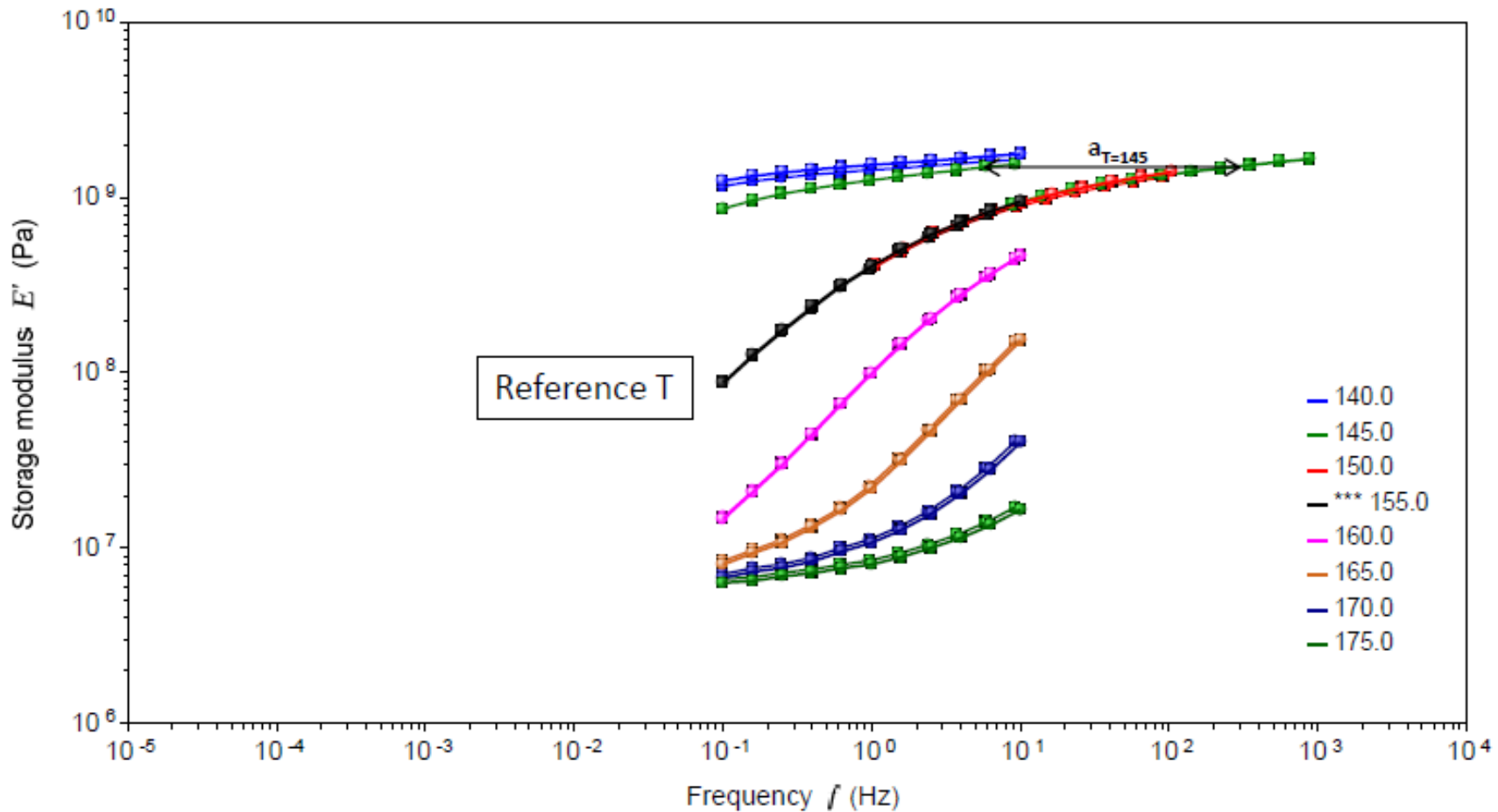
# Et l'équivalence temps-température ?



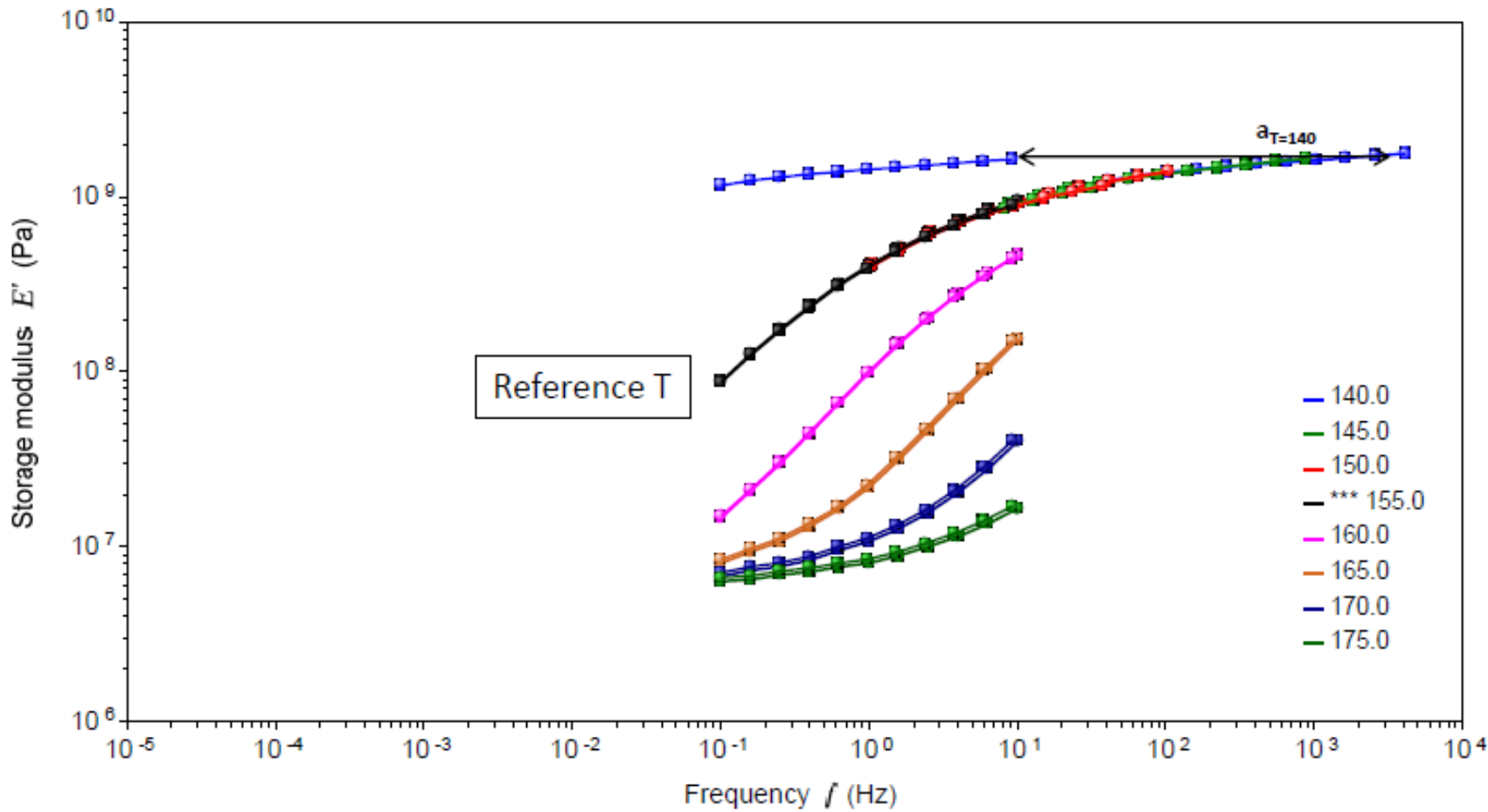
# Et l'équivalence temps-température ?



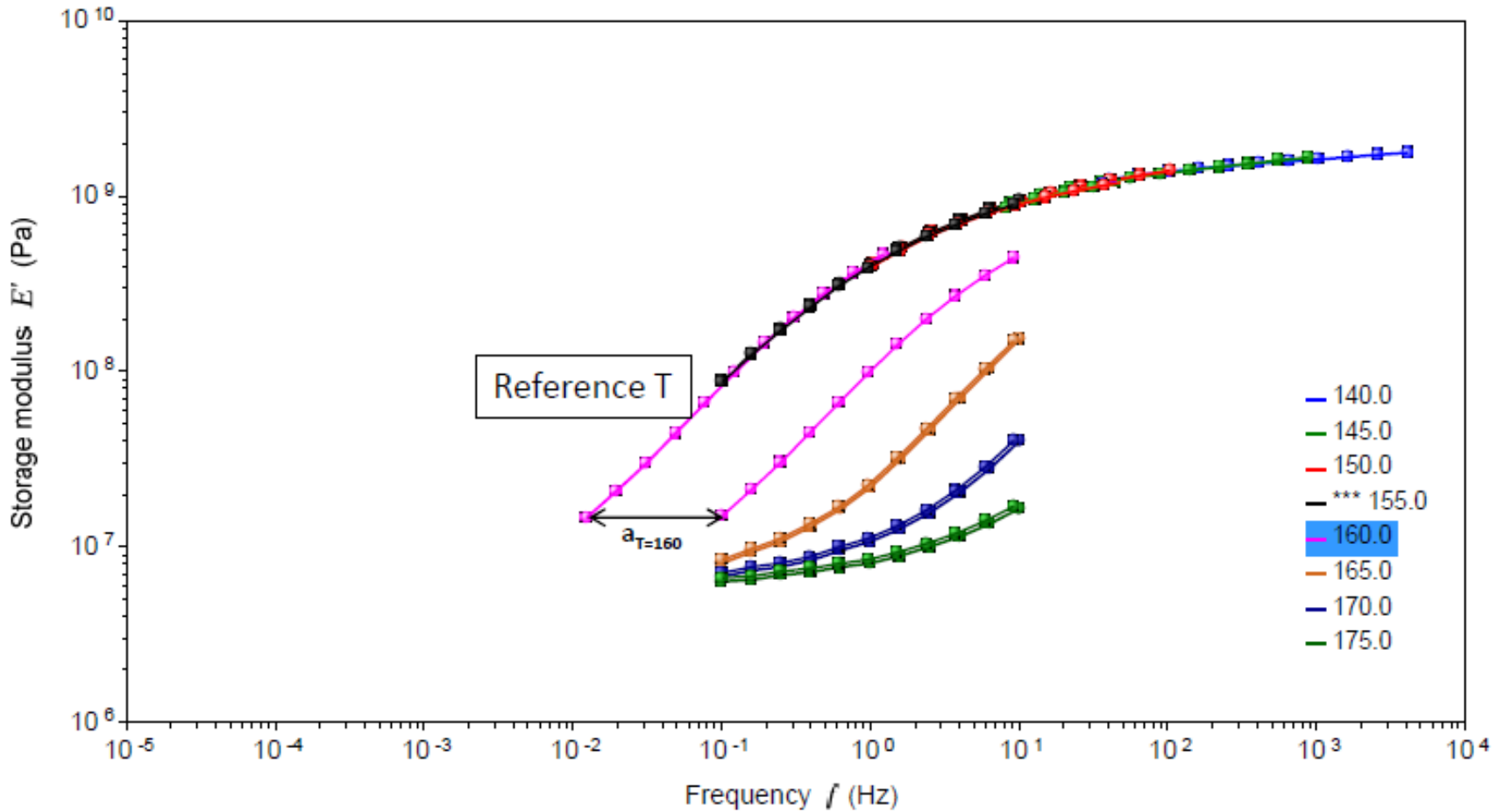
# Et l'équivalence temps-température ?



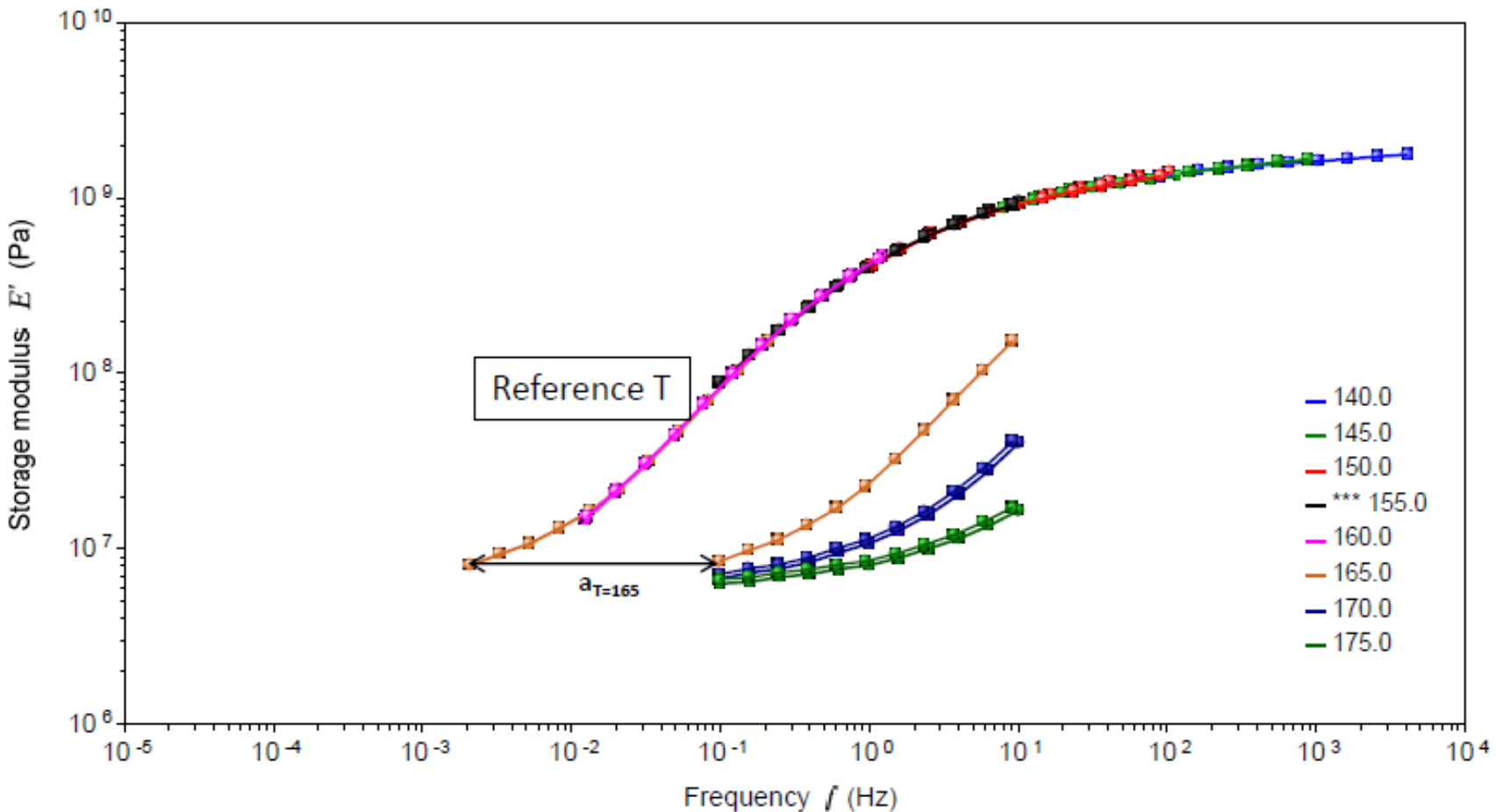
# Et l'équivalence temps-température ?



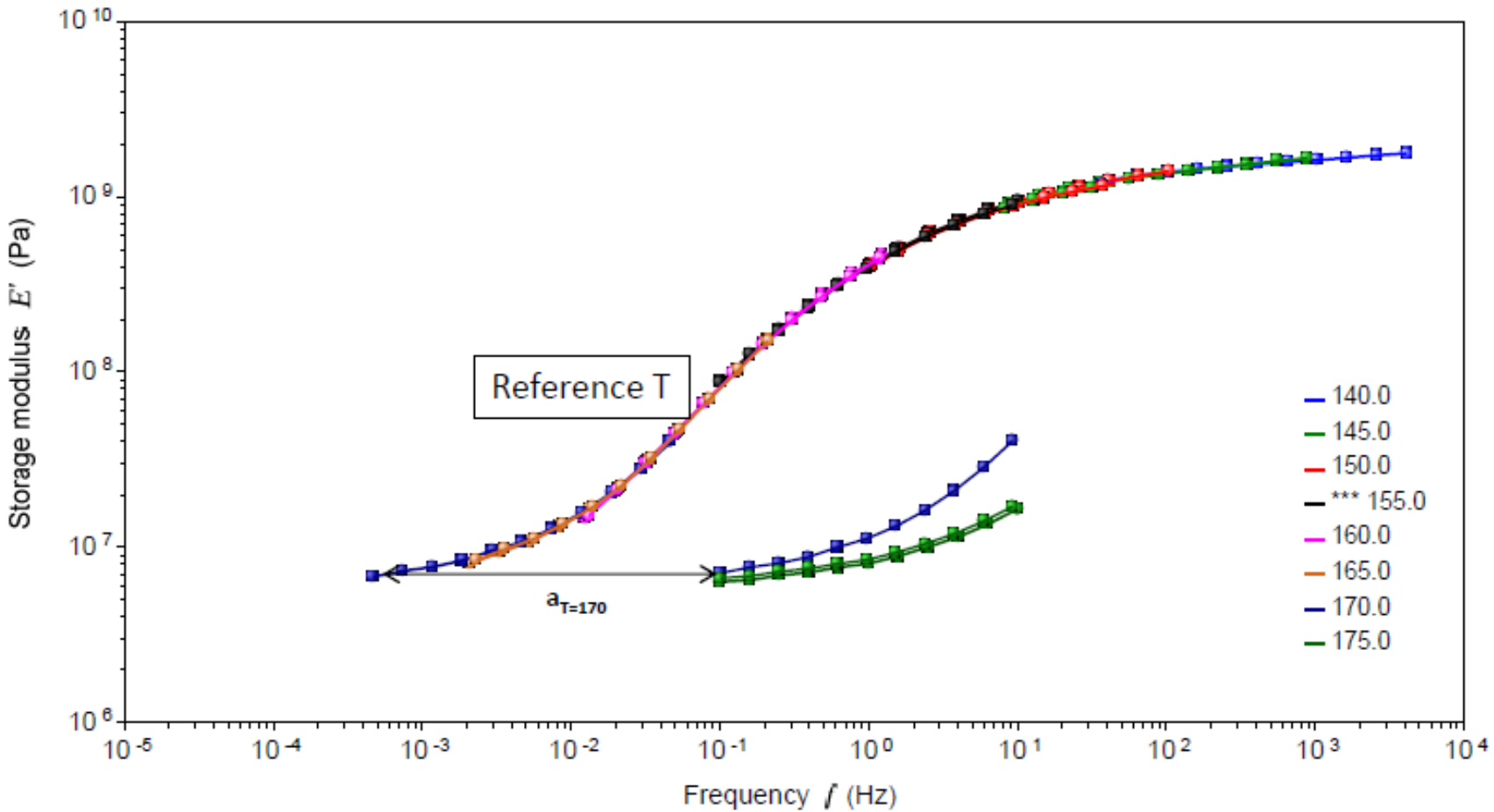
# Et l'équivalence temps-température ?



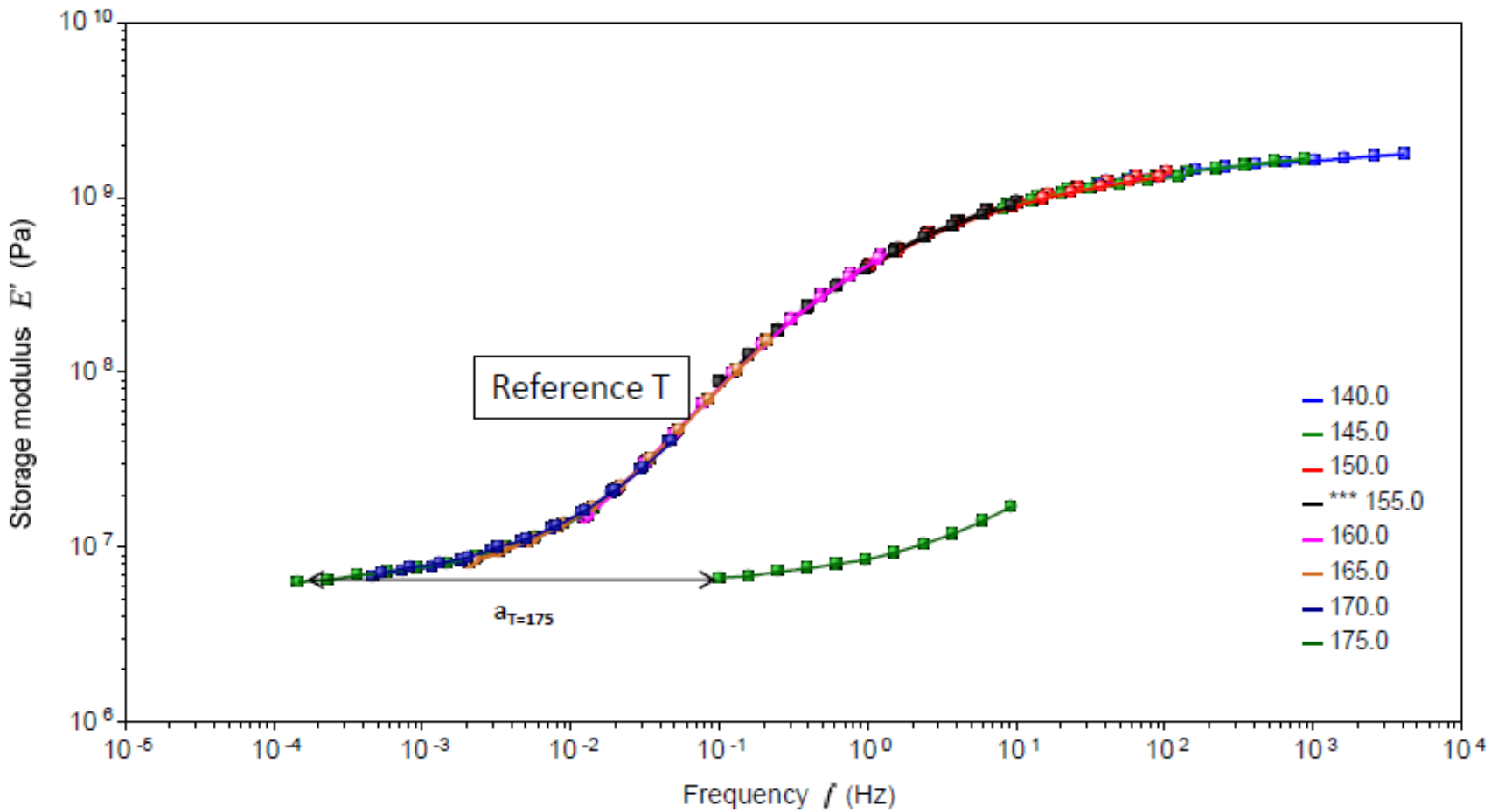
# Et l'équivalence temps-température ?



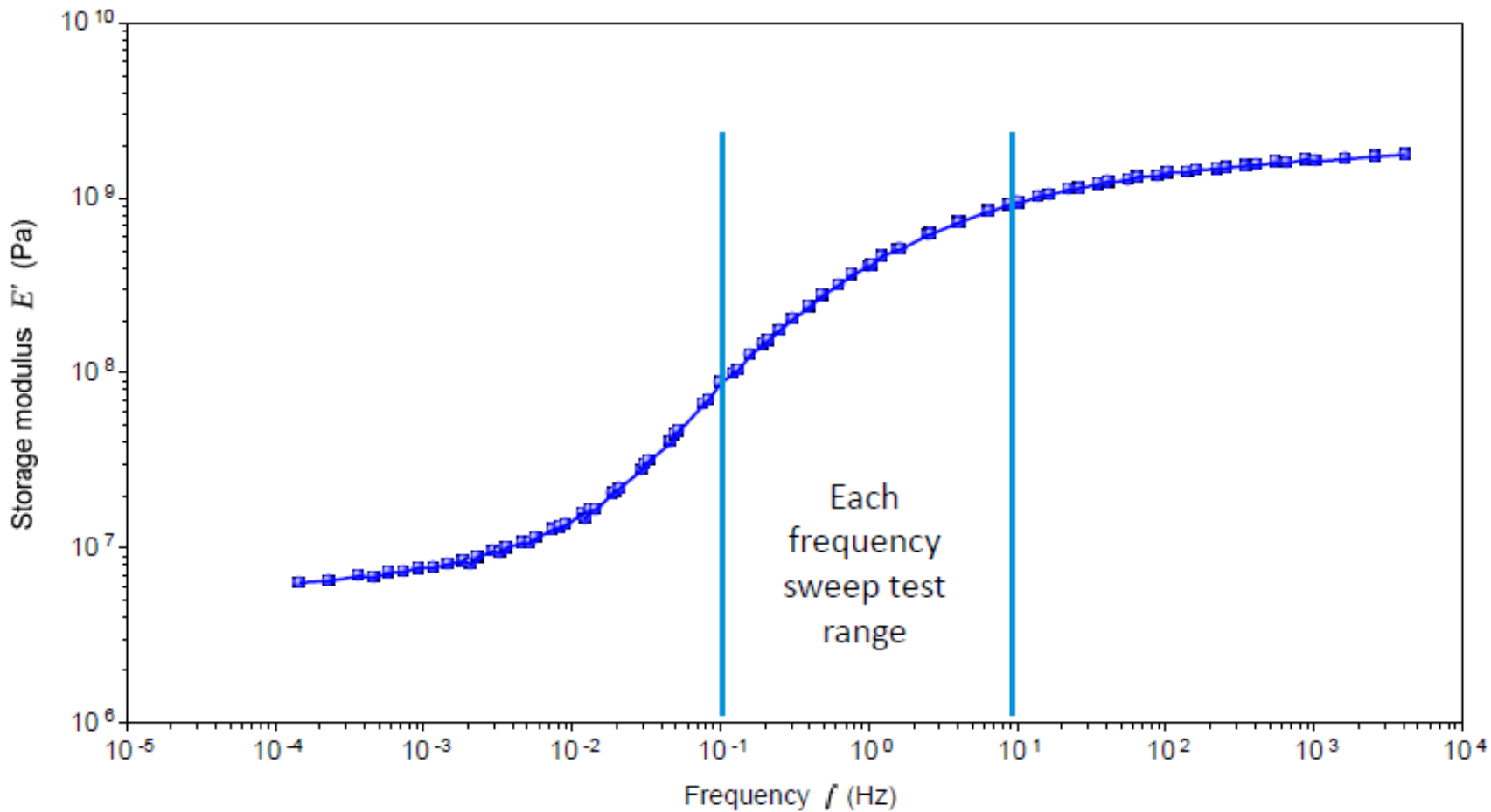
# Et l'équivalence temps-température ?



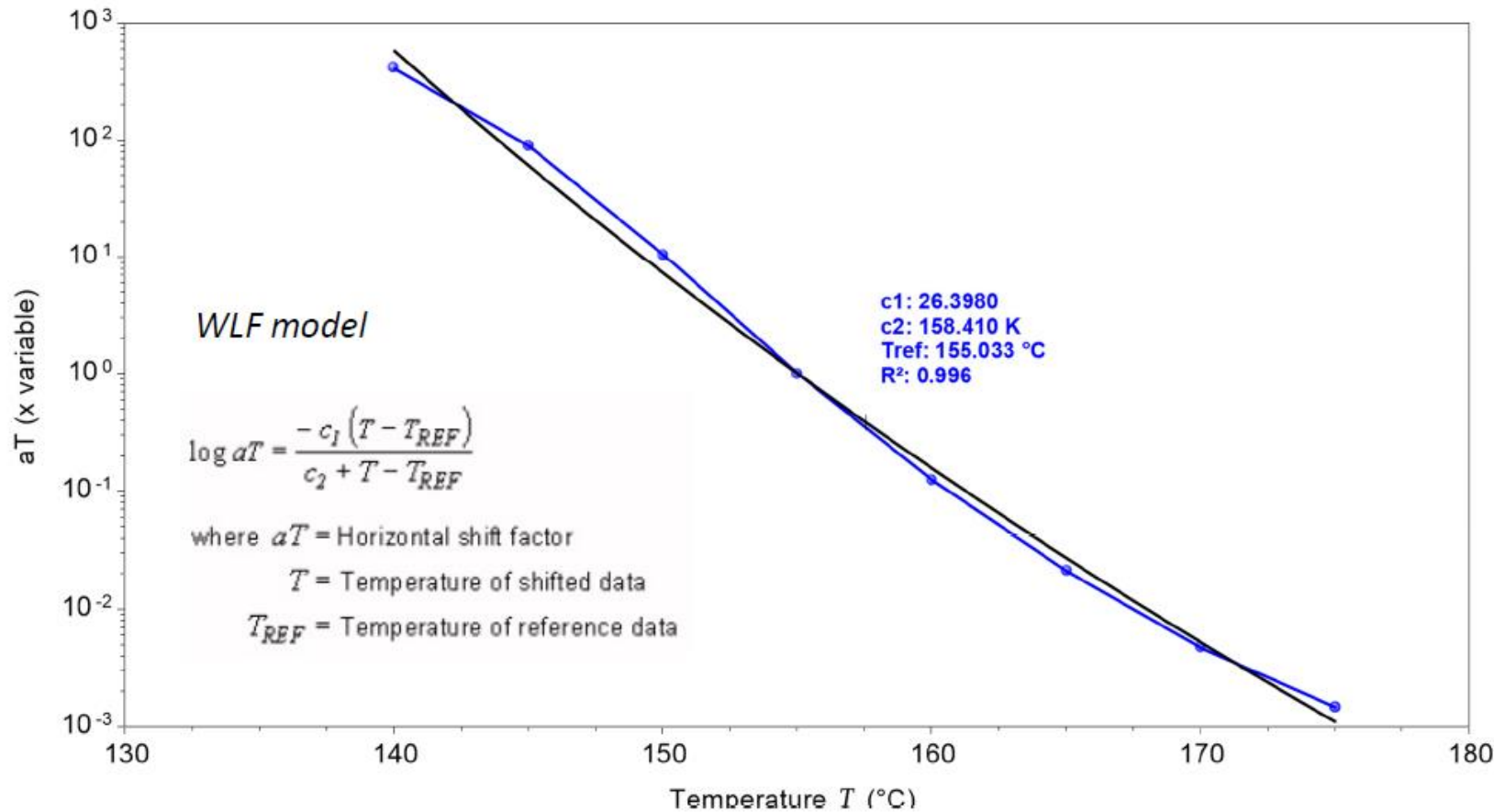
# Et l'équivalence temps-température ?



# Et l'équivalence temps-température ?

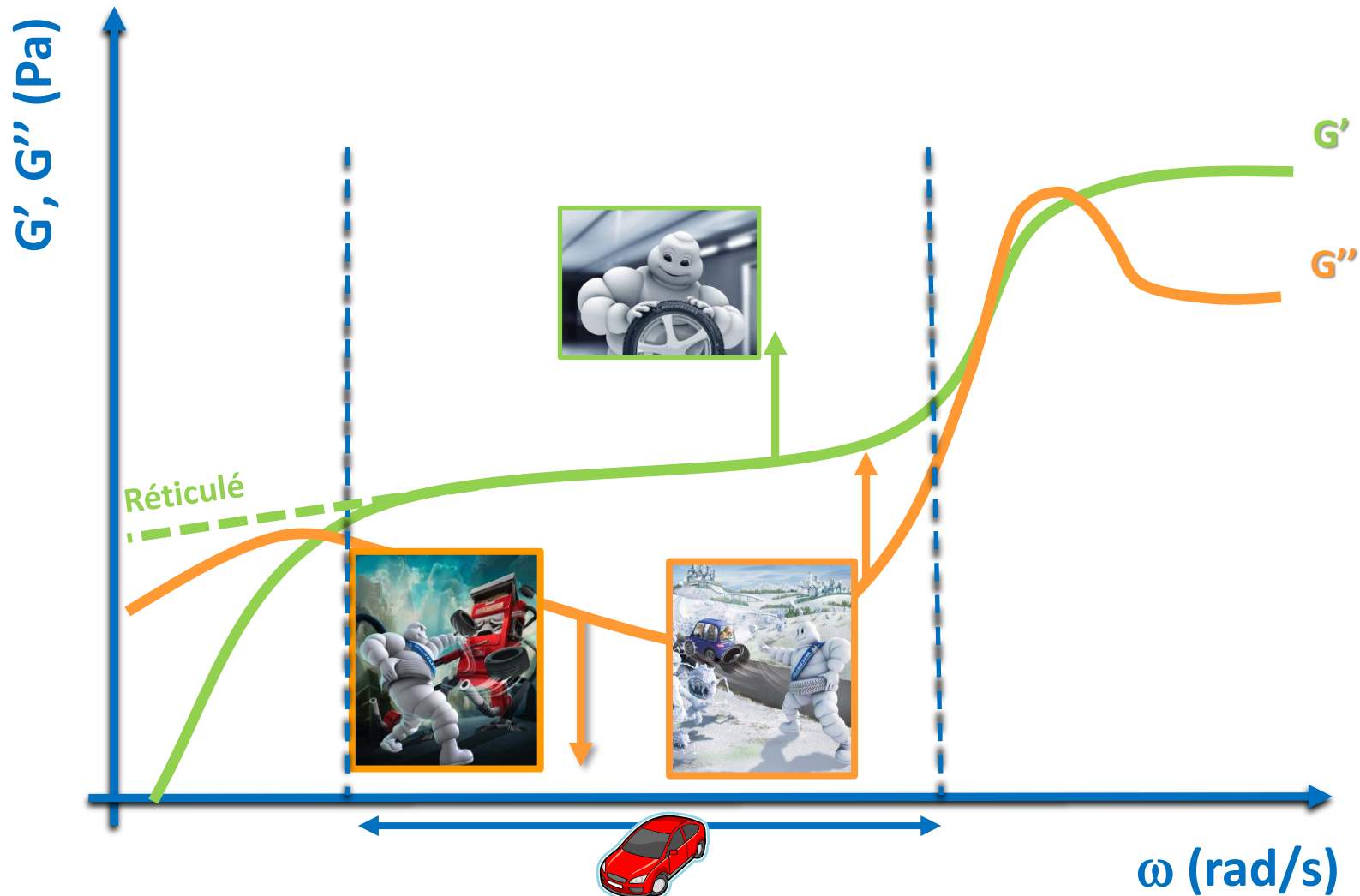


# Et l'équivalence temps-température ?

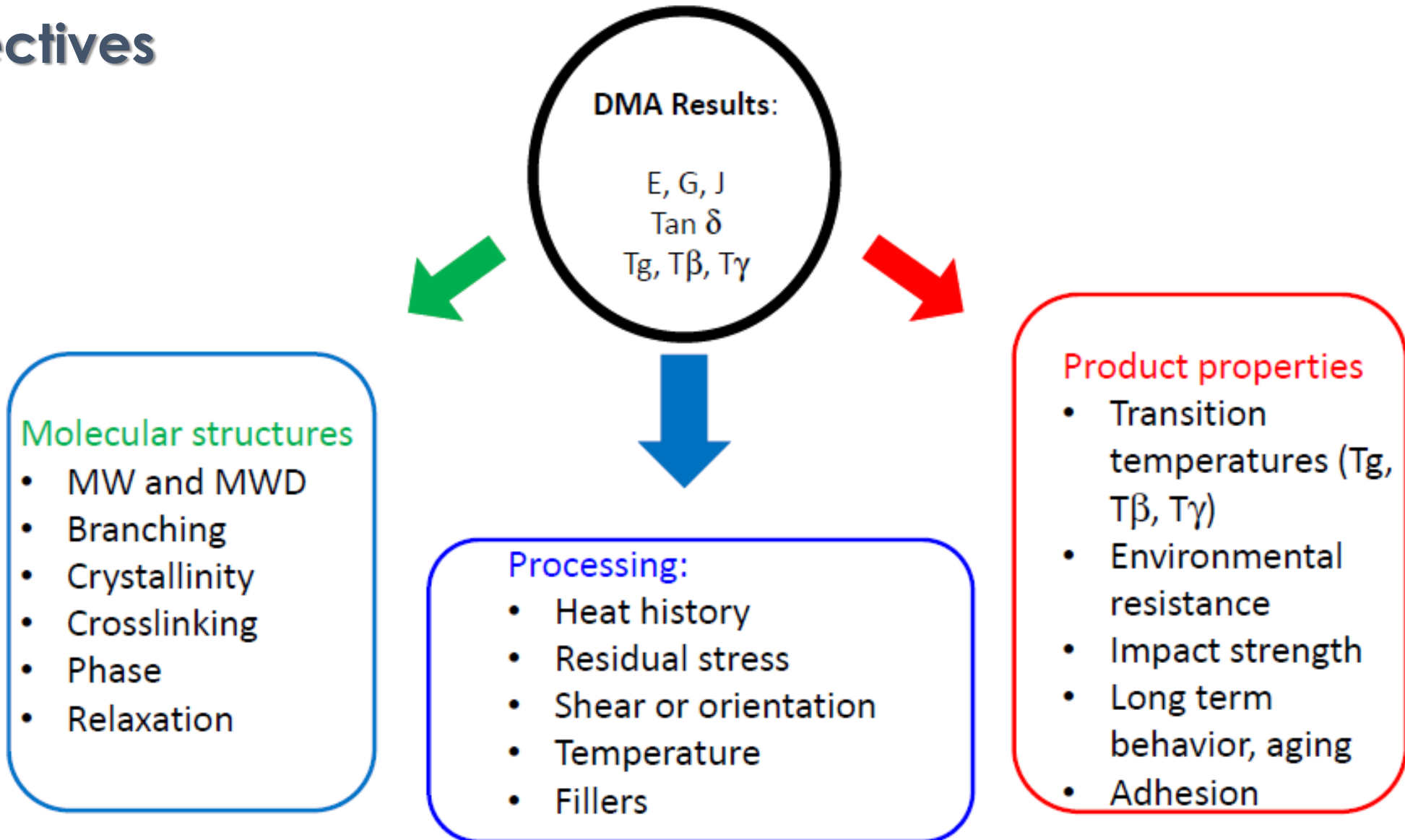


L'évolution du facteur de glissement  $a_T$  avec la température permet de remonter à des **énergies d'activations** des phénomènes de relaxation via des lois de type Arrhenius ou WLF (Williams Landel Ferry).

# Et l'équivalence temps-température ?



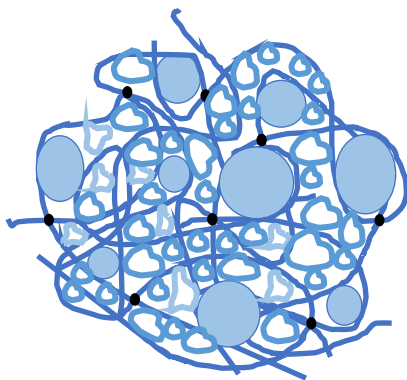
# Perspectives



# Perspectives

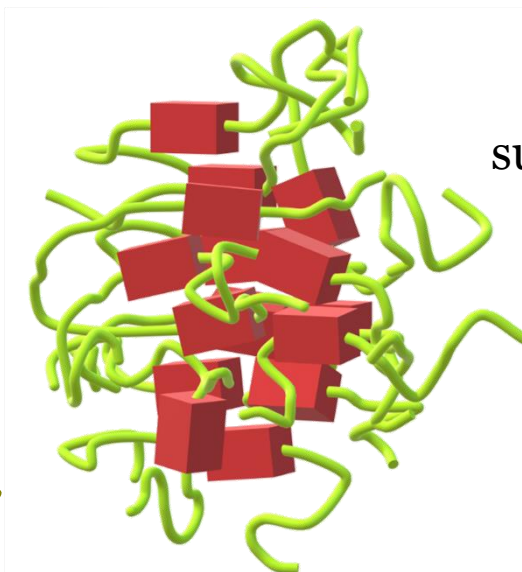
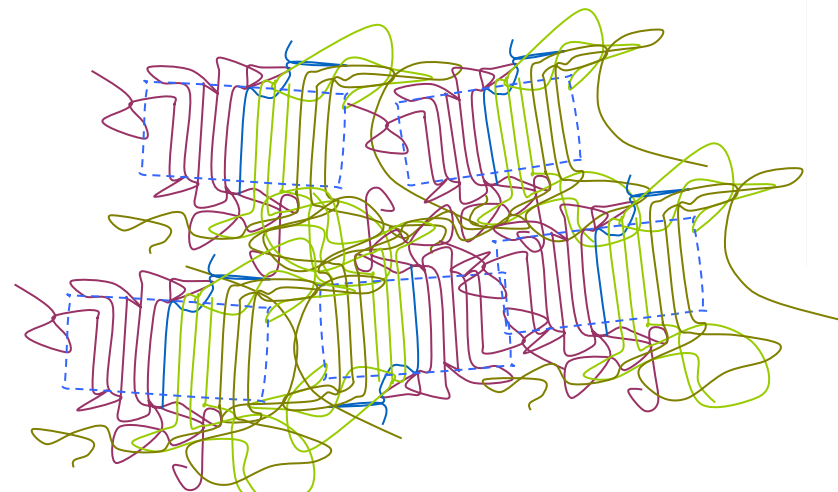
Problématique des polymères hétérogènes : présence d'interfaces et/ou d'interphases + l'équivalence temps-température ne s'applique pas.

- Localement, modification de la mobilité moléculaire et des propriétés viscoélastiques
- Présence d'hétérogénéités de mobilité.

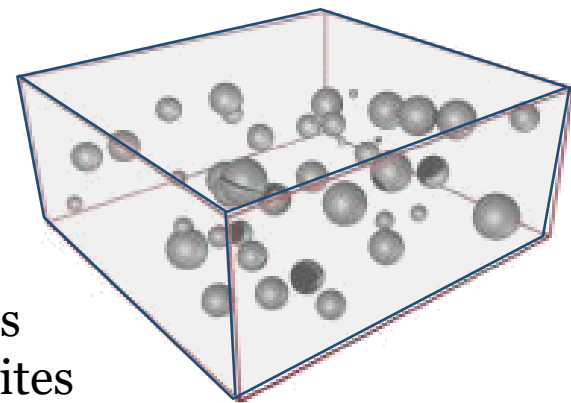


Polymères  
semi-cristallins

*Les mélanges physiques*



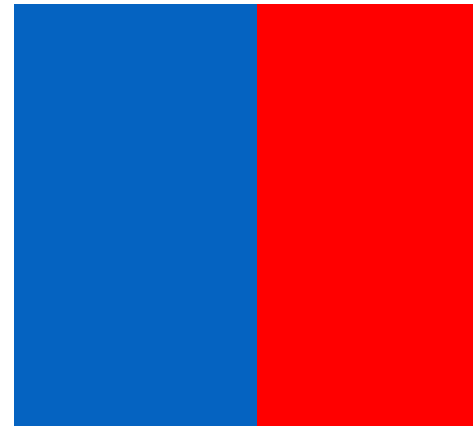
Assemblages  
supramoléculaires  
Copolymères  
TPE



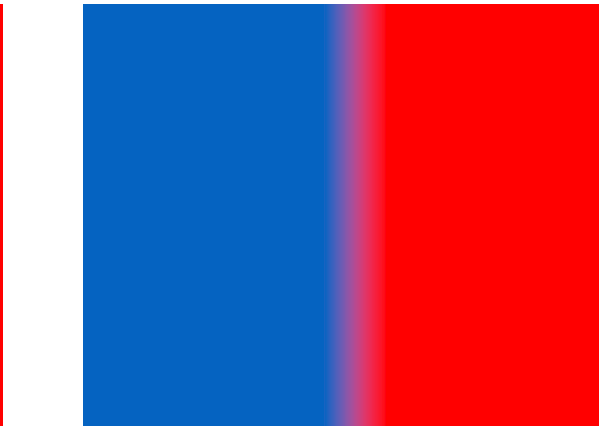
Composites  
Nanocomposites

# Perspectives

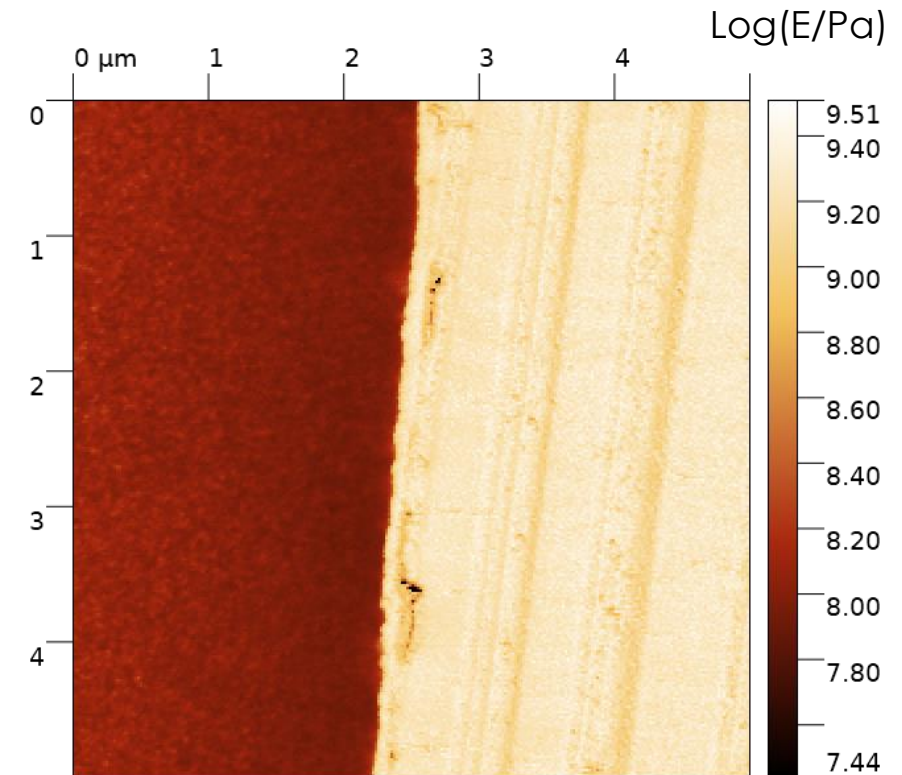
Exemple : Interface dans un mélange de polymère



Interface



Interphase



- ➔ Compréhension des propriétés viscoélastiques locales pour mieux appréhender le comportement macroscopique du matériau
- ➔ Paramètres d'entrée pour des approches de modélisation

**Vers la nano-DMA !**

# Plan

La viscoélasticité, qu'est-ce que c'est ?

La spectroscopie mécanique ou DMA

L'équivalence temps-température

Limites et perspectives : vers les mesures locales

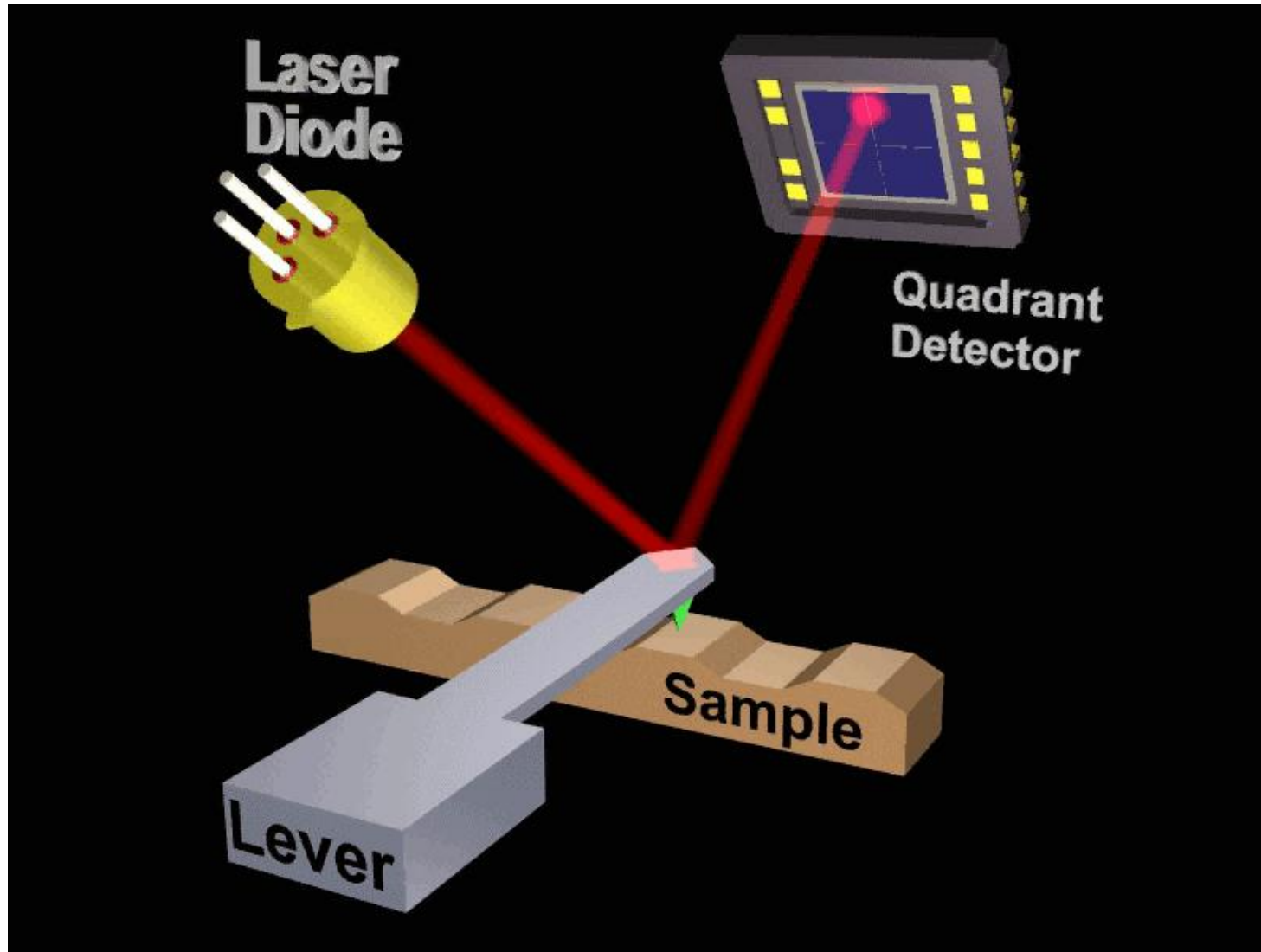
Extension à la nanoéchelle

- nanoDMA
- CR-AFM
- Intermodulation AFM
- ...

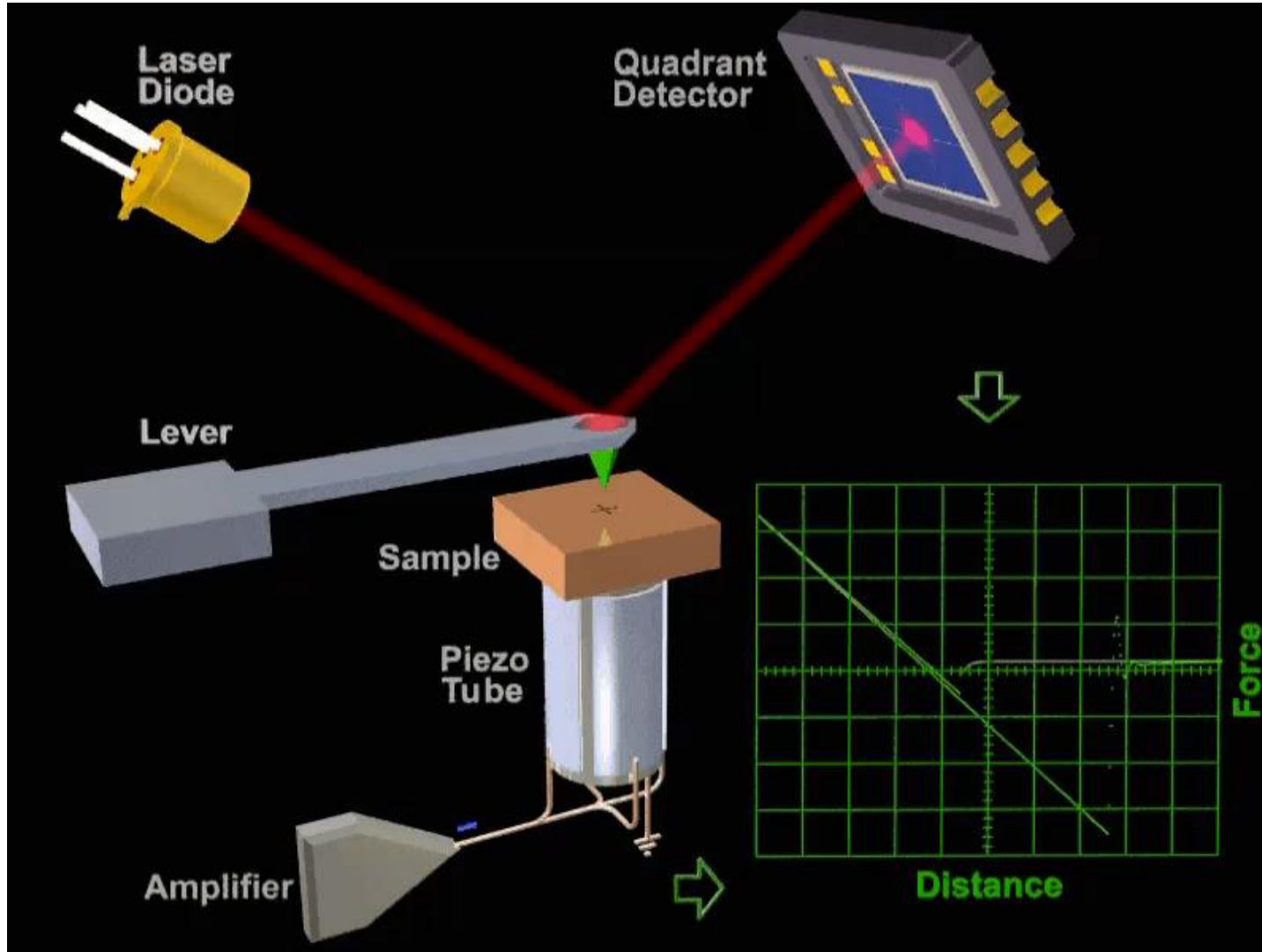
Conclusions et Perspectives



# Scanning Probe Microscopy



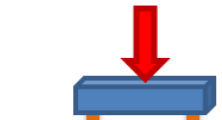
# Scanning Probe Spectroscopy



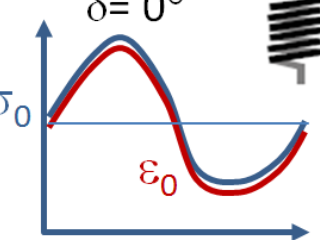
# Viscoelastic properties at the nanoscale

## Dynamic Mechanical Analysis (DMA)

$$\sigma(t) = \sigma_0 \sin(\omega t)$$



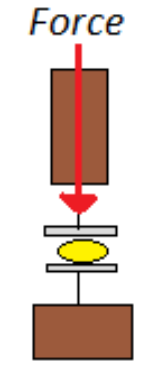
$$\varepsilon(t) = \varepsilon_0 \sin(\omega t)$$



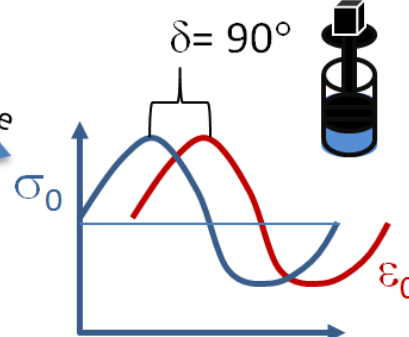
In-Phase



$G'$ ,  $G''$



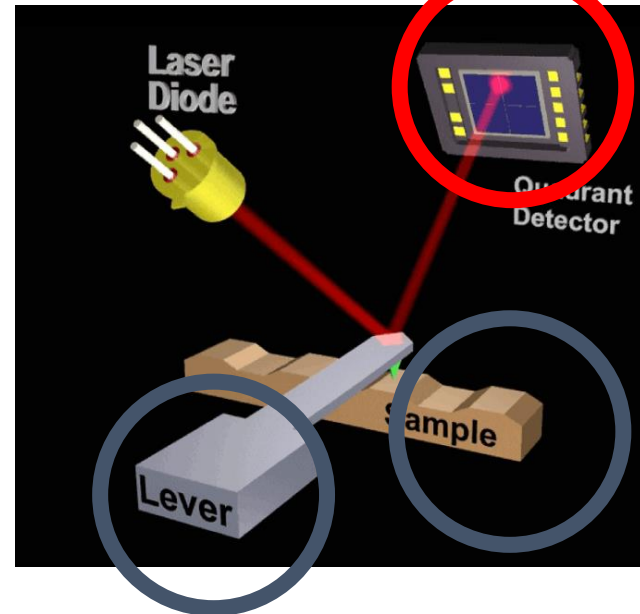
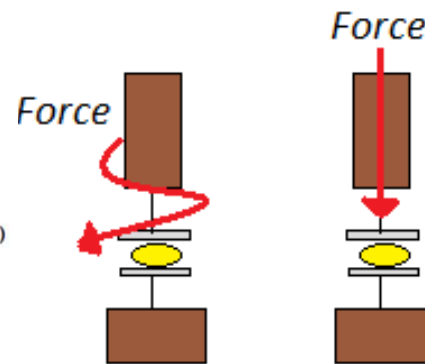
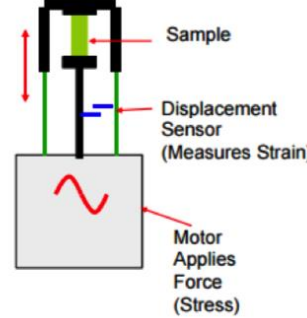
$E'$ ,  $E''$



$$\varepsilon(t) = \varepsilon_0 \sin(\omega t + \delta)$$

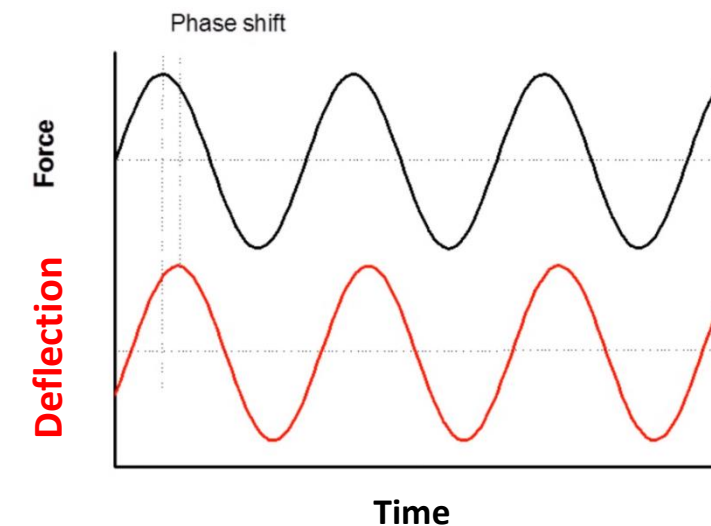
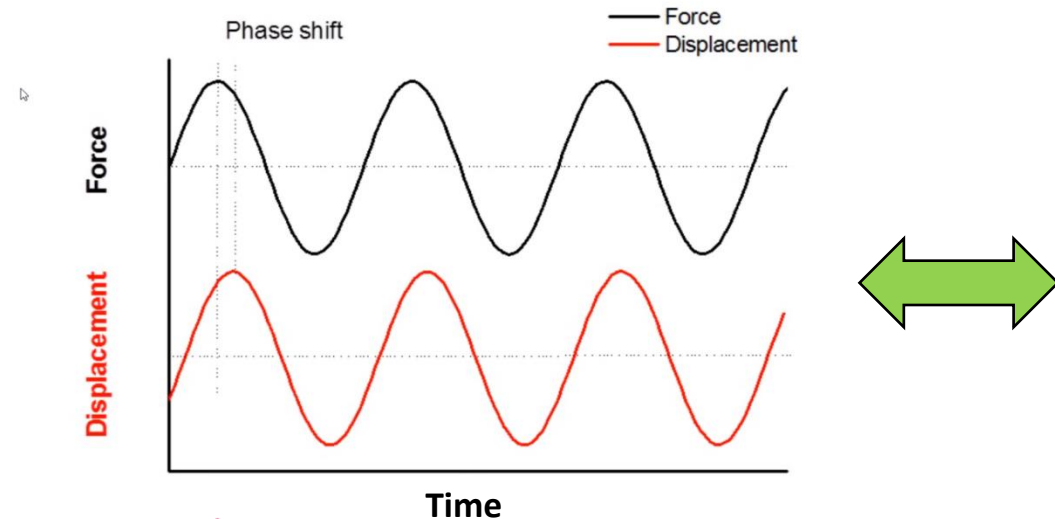
$$d\sigma/dt = \varepsilon \sigma_0 \cos(\omega t) = \varepsilon_0 \sin(\omega t + \pi/2)$$

# From DMA to nDMA ...

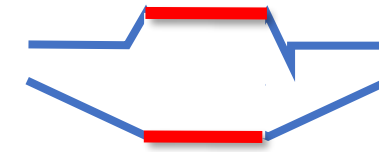


$$D(t) = D_1 e^{i(\omega t + \phi)} + D_0$$

$$Z(t) = Z_1 e^{i(\omega t + \psi)} + Z_0$$

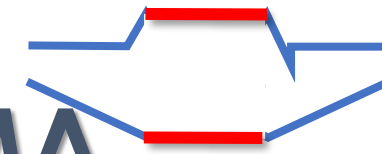


# Notation



- One common notation set will describe all three regimes introduced above, with Z modulation via either Z scanner or sample actuator
- Harmonic signals:
- $z(t) = Z_1 \sin(\omega t + \psi) + Z_0$ 
  - Z displacement, probe or sample actuator
  - $Z_1, \psi$  - amplitude and phase at frequency  $\omega = 2\pi f$   
(from Z-sensor lock-in or deflection-calibrated on a hard reference sample)
  - Measured or calibrated on a hard reference sample
- $d(t) = D_1 \sin(\omega t + \varphi) + D_0$ 
  - Measured deflection (Vertical deflection signal)
  - $D_1, \varphi$  - amplitude and phase (from lock-in) at frequency  $\omega = 2\pi f$
- $K_c$  - cantilever spring constant (calibrated, known)



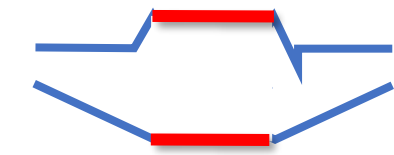


# Derivation of General Equations for nDMA

- Key idea: Using definition of Dynamic Stiffness
- Stiffness [N/m] = Force [nN] / Deformation [nm] :  $S^* = F^* / L^*$ 
  - Force: measured by deflection (channel 1)
  - Deformation: in the displacement measurement (channel 2)
  - Deformation  $L = Z$  displacement minus Deflection
- For dynamic stiffness and harmonic excitation: complex values
- Equations for complex values:
  - $F^* = K_c D_1 e^{i(\omega t + \varphi)}$
  - $L^* = Z_1 e^{i(\omega t + \psi)} - D_1 e^{i(\omega t + \varphi)}$
  - $S^* = S' + iS'' = K_c D_1 e^{i(\omega t + \varphi)} / [Z_1 e^{i(\omega t + \psi)} - D_1 e^{i(\omega t + \varphi)}]$

# General formulation

Equations relating tan-Delta and Storage/Loss Modulus or Stiffness to measured lock-in amplitudes and phases



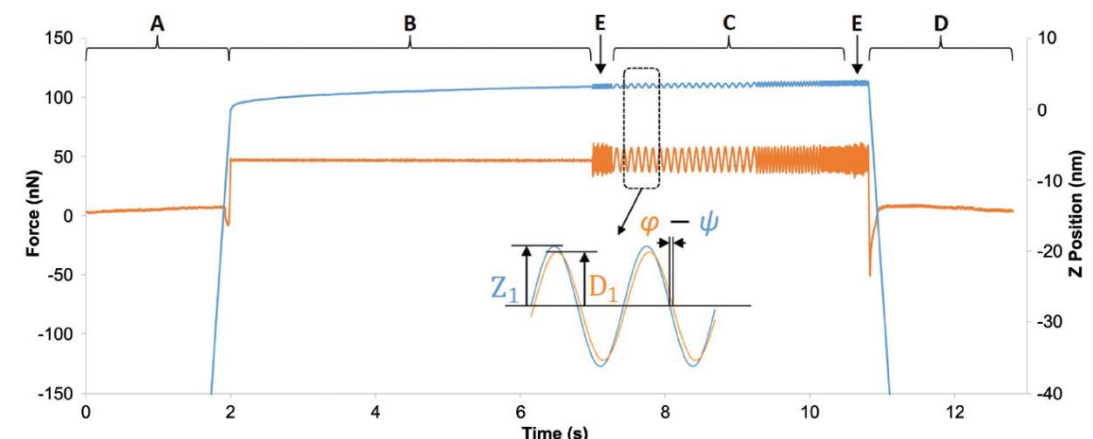
$$\bullet S^* = S' + iS'' = K_c D_1 e^{i\varphi} / [Z_1 e^{i\psi} - D_1 e^{i\varphi}]$$

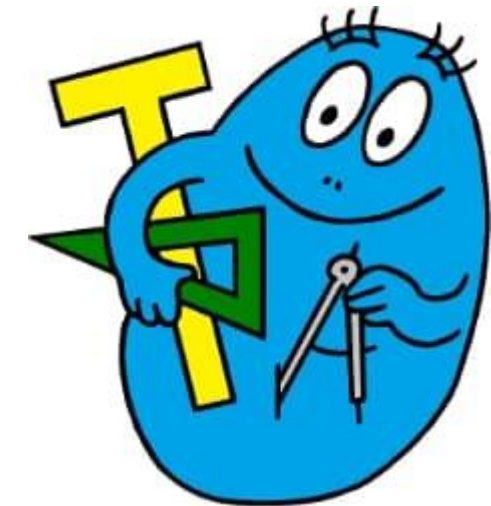
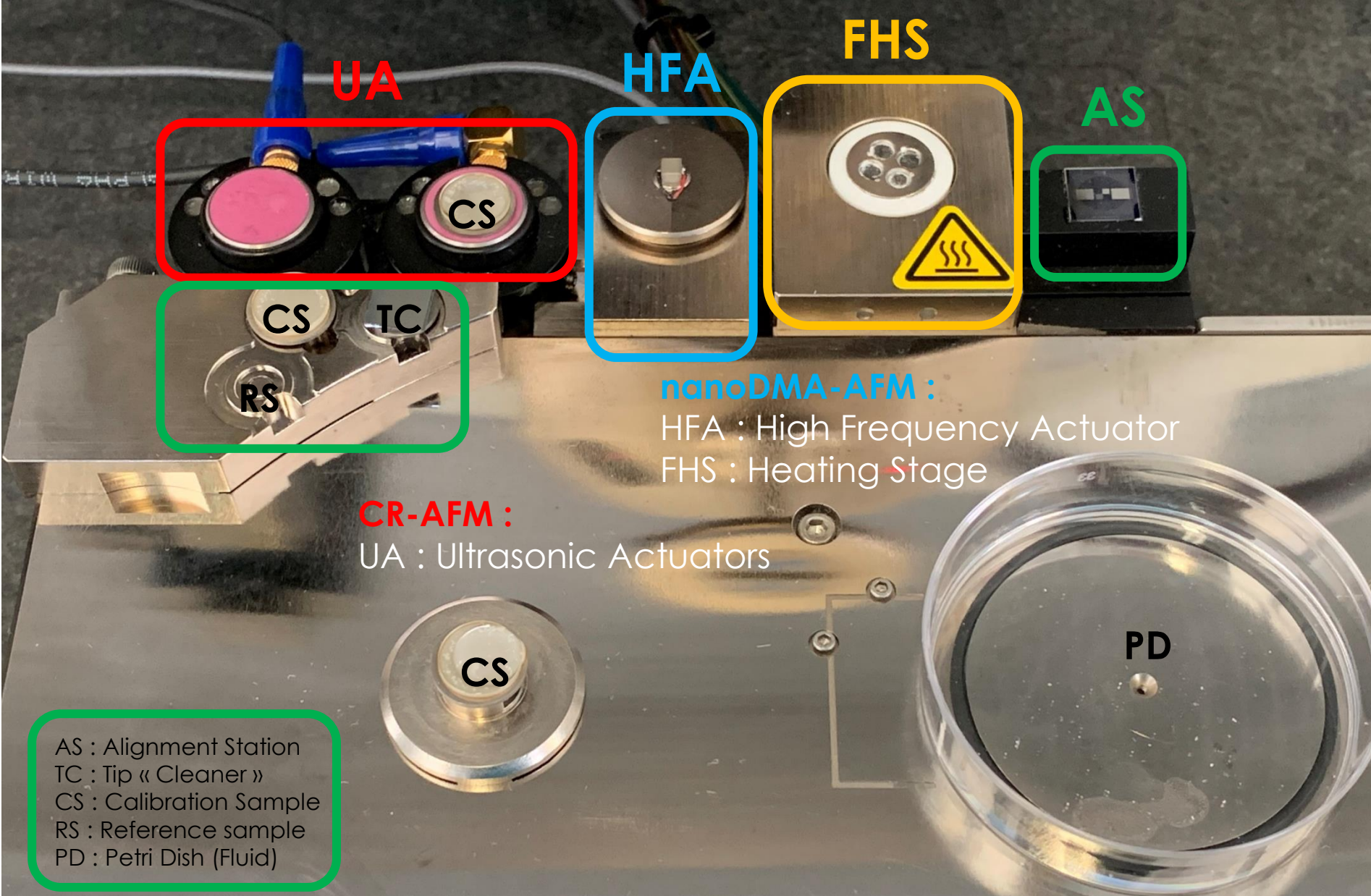
$$\bullet S' = \frac{K_c D_1}{Z_1} \frac{\cos(\varphi - \psi) - (D_1/Z_1)}{(D_1/Z_1)^2 - 2(D_1/Z_1) \cos(\varphi - \psi) + 1}$$

$$\bullet S'' = \frac{K_c D_1}{Z_1} \frac{\sin(\varphi - \psi)}{(D_1/Z_1)^2 - 2(D_1/Z_1) \cos(\varphi - \psi) + 1}$$

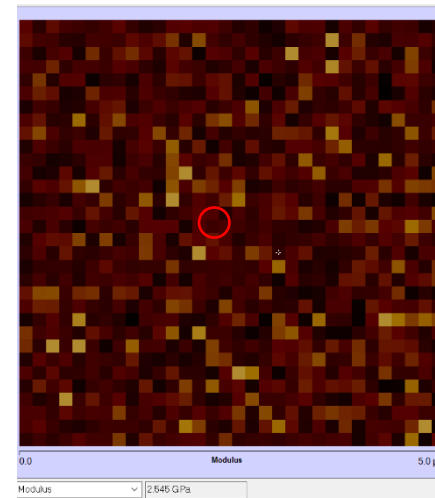
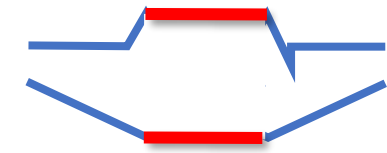
$$\bullet \tan \delta = S''/S' = \frac{\sin(\varphi - \psi)}{\cos(\varphi - \psi) - (D_1/Z_1)}$$

$$\bullet E' = \frac{S'}{2a_c}; \quad E'' = \frac{S''}{2a_c}; \text{ where } a_c \text{ is contact radius (e.g., from JKR)}$$

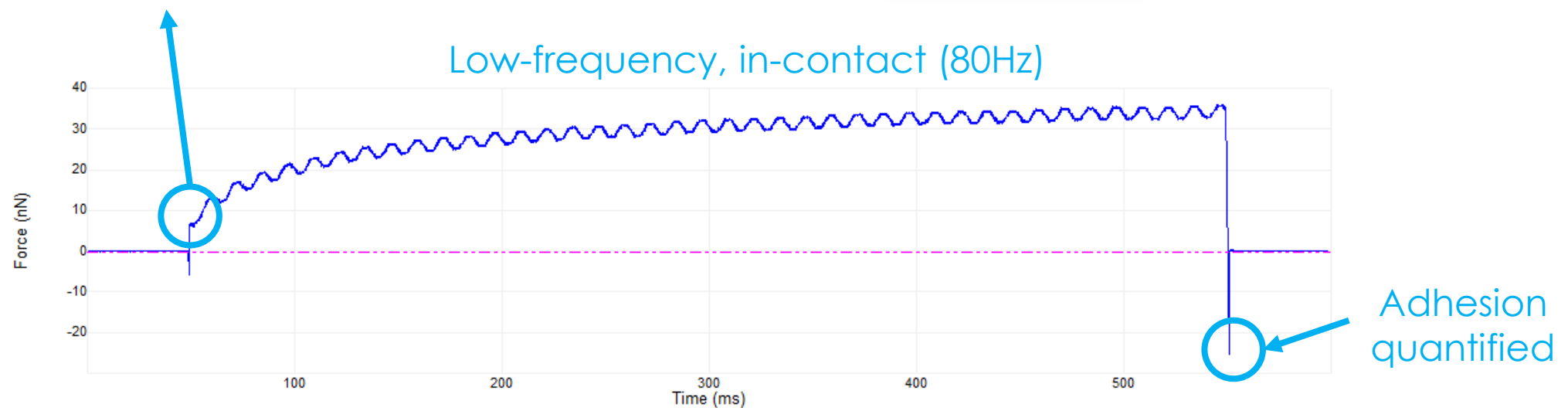




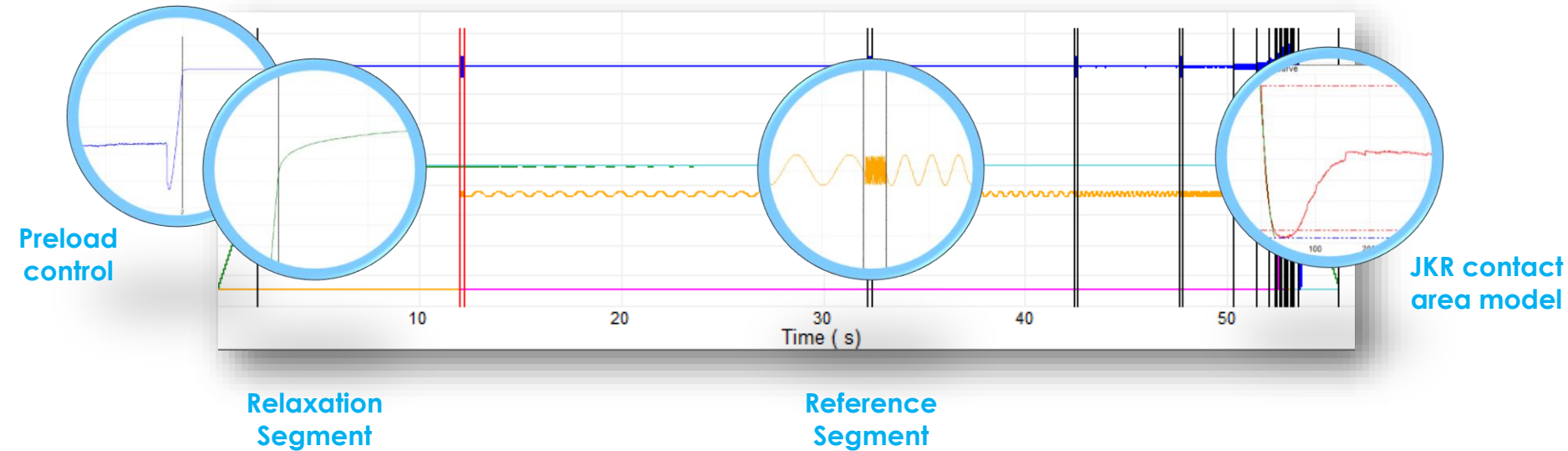
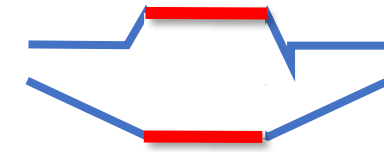
# nanoDynamic Mechanical Analysis



Preload control



# nanoDynamic Mechanical Analysis



## Modulated force, embedded in force curve

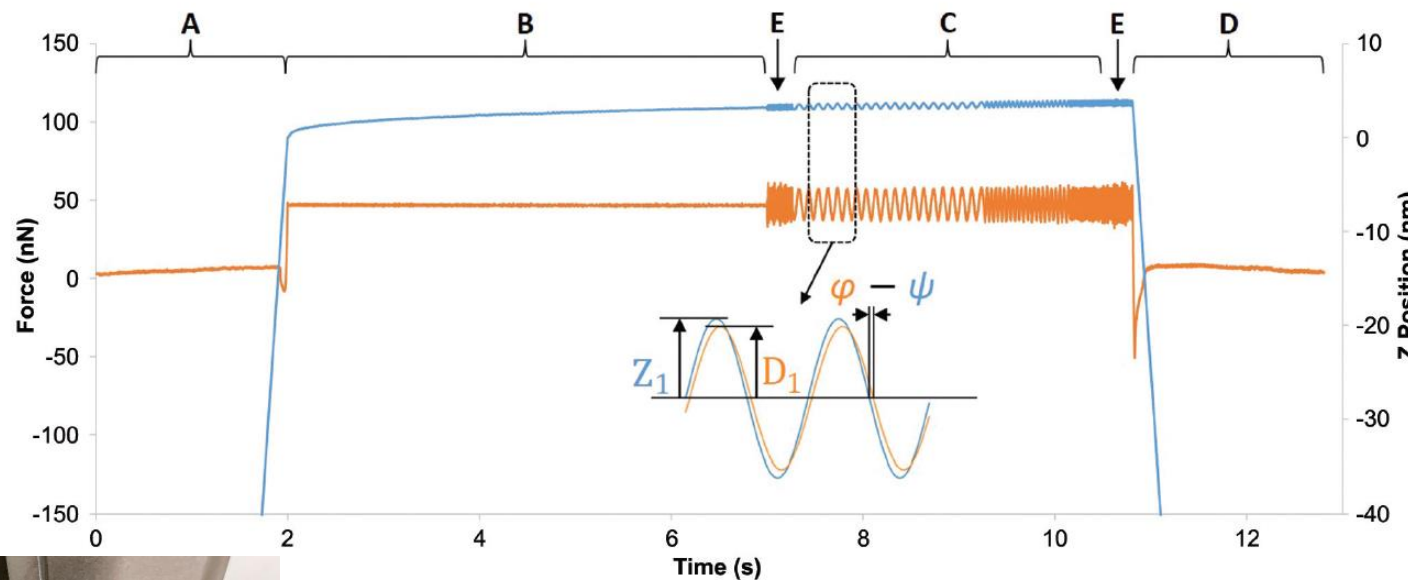
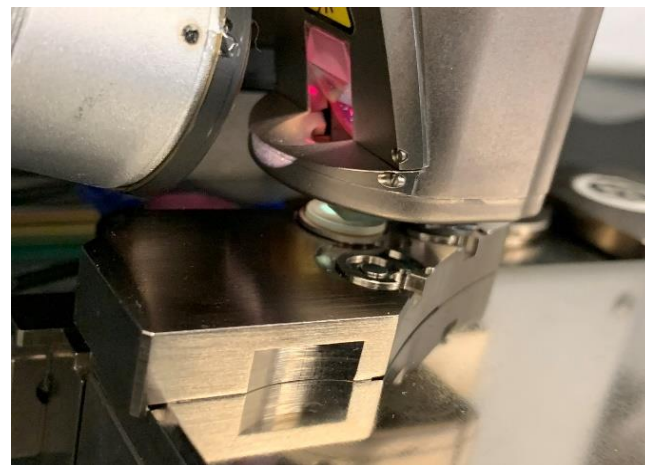
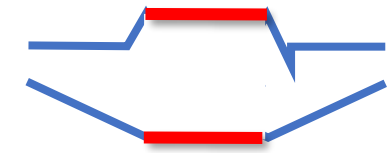
Sub-nm amplitudes, stays in linear regime.  
No ripping out of contact during modulation

## Imaging and point spectroscopy

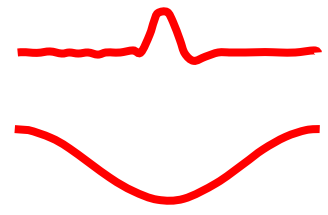
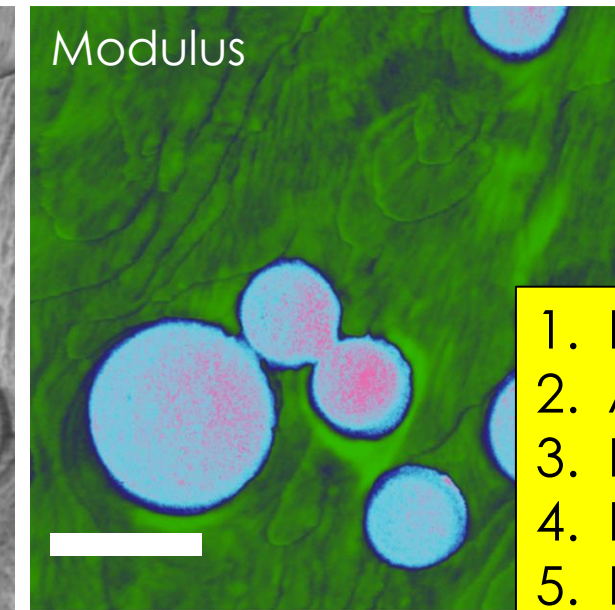
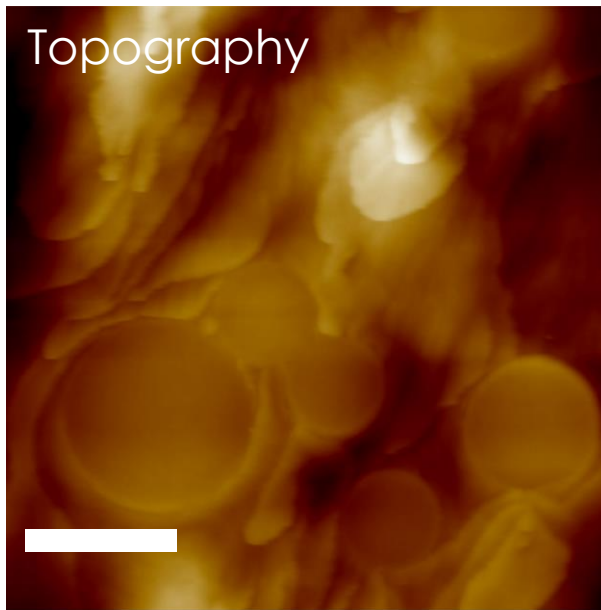
Quantitative data in both

Adapted from Bruker

# nanoDynamic Mechanical Analysis



Calibration on Sapphire in  
the exact same conditions !

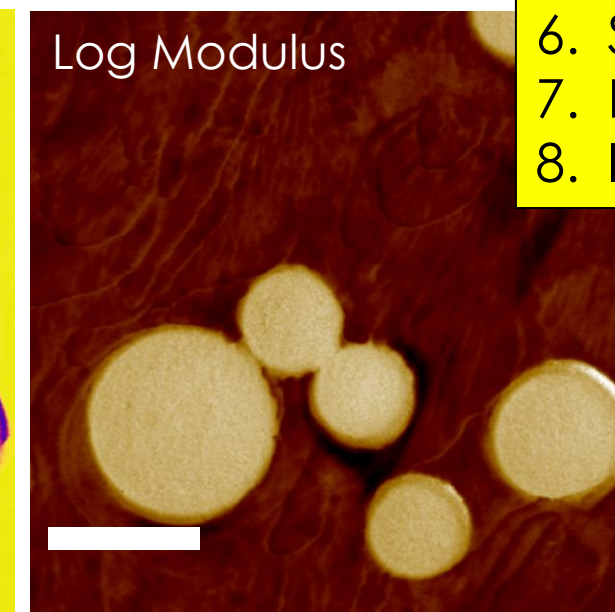
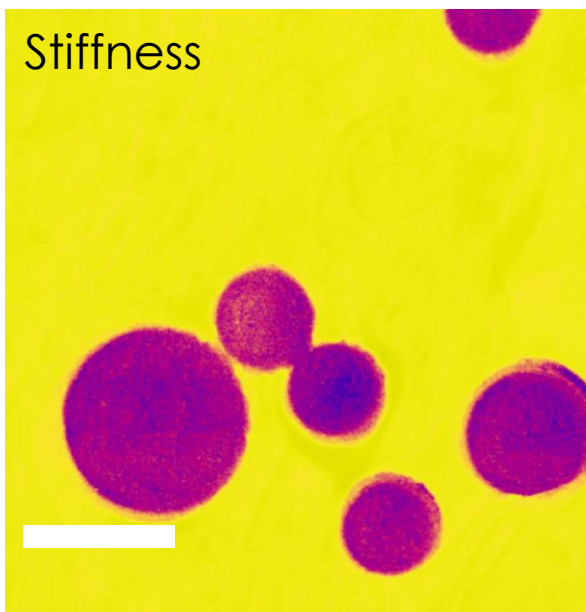


## PS – PCL (25:75)

Tip : RTESPA 300 – 125

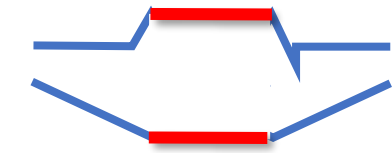
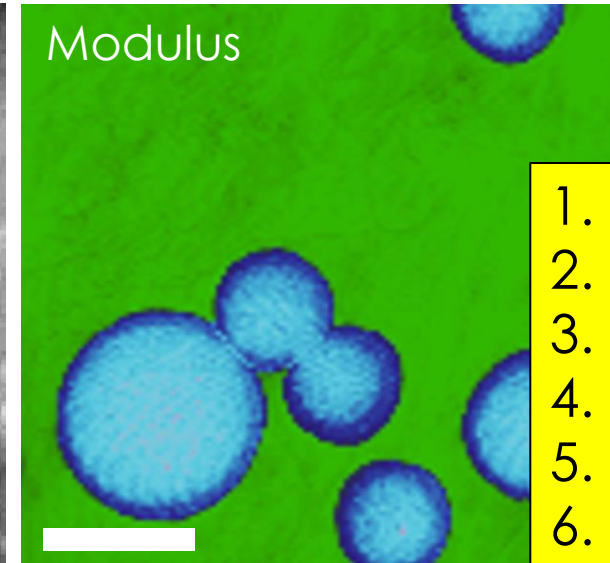
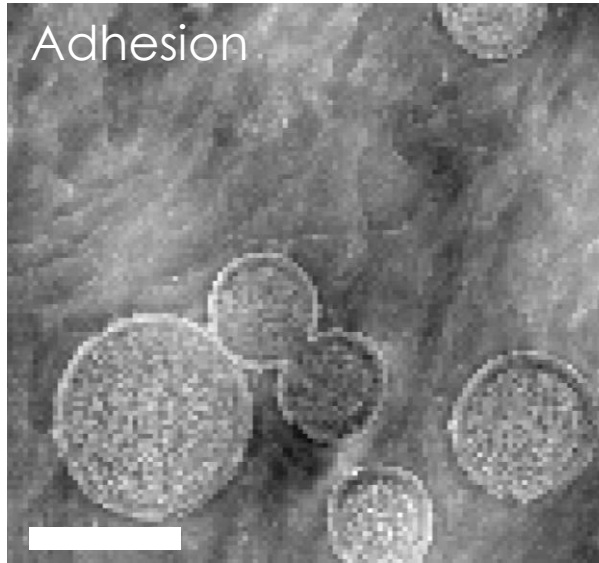
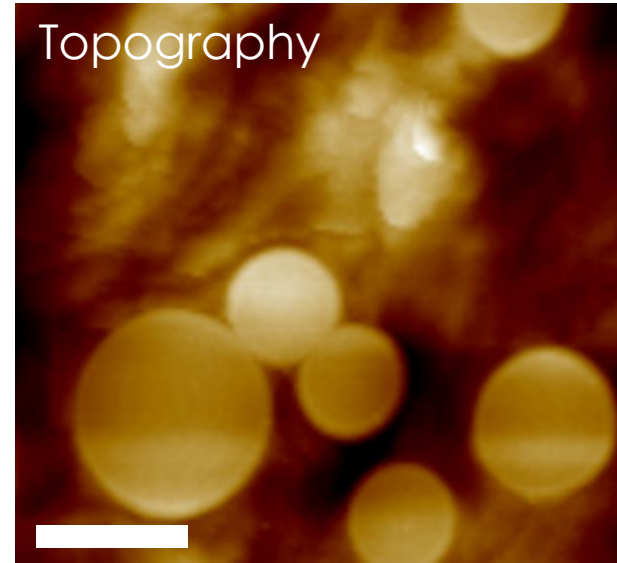
$k = 29.22 \text{ N/m}$

Radius = 125 nm



## PeakForce Tapping QNM

512 x 512 pixels, PFSP = 15 nN  
Scale bar = 2.0  $\mu\text{m}$



1. Height
2. Adhesion
3. Modulus
4. Log Modulus
5. Stiffness
6. Force Section
7. Storage Modulus
8. Loss Modulus
9. Tan Delta
- 10.Tan Phase lag
- 11.Phase lag
- 12.Storage Stiffness
- 13.Loss Stiffness
- 14.Stiffness Mag
- 15.Contact Radius

## PS – PCL (25:75)

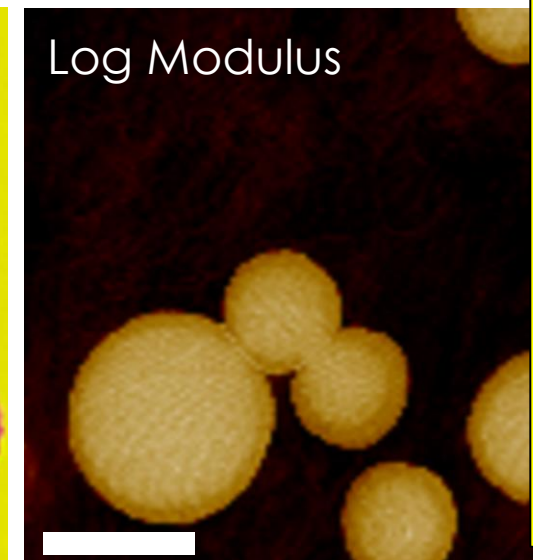
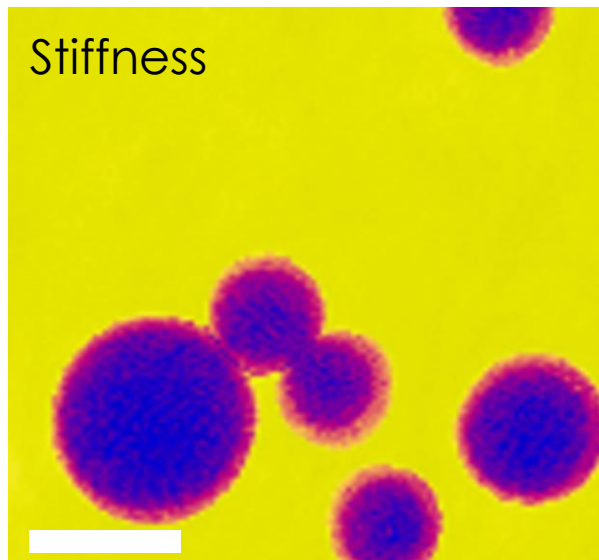
Tip : RTESPA 300 – 125

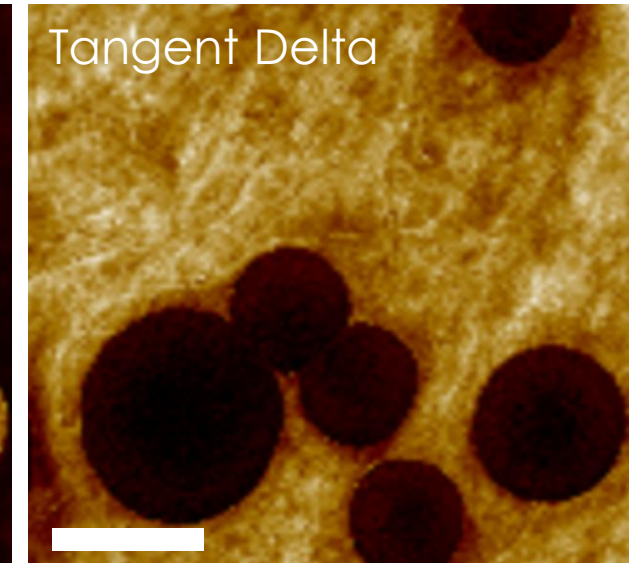
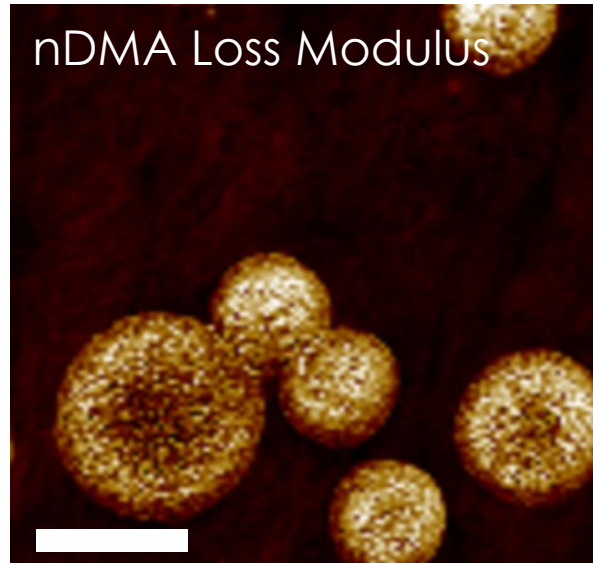
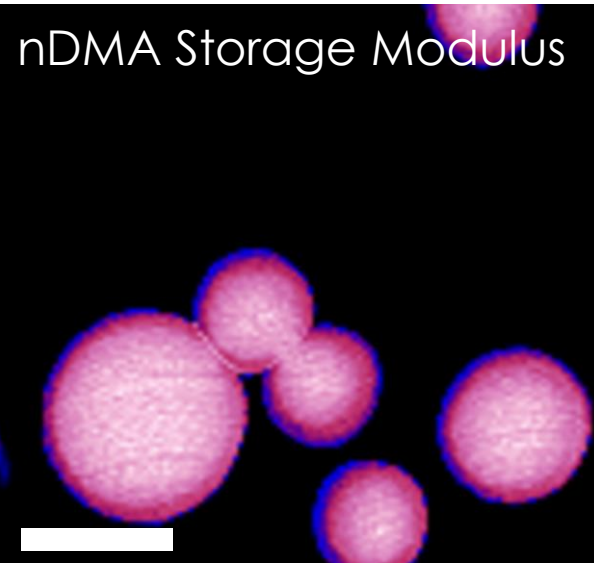
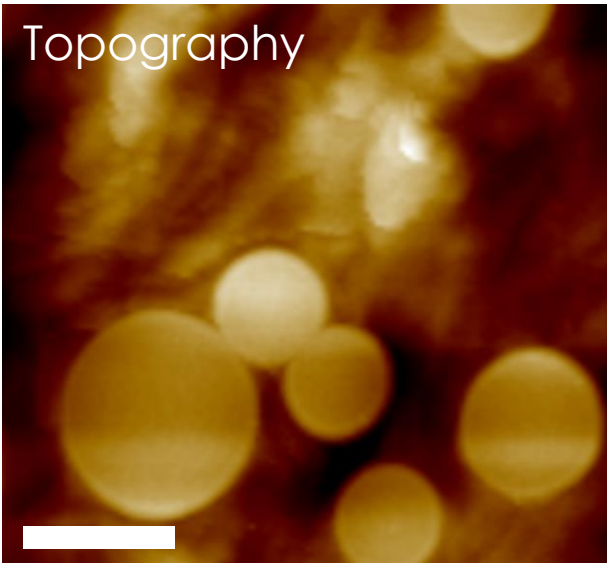
$k = 29.22 \text{ N/m}$

Radius = 125 nm

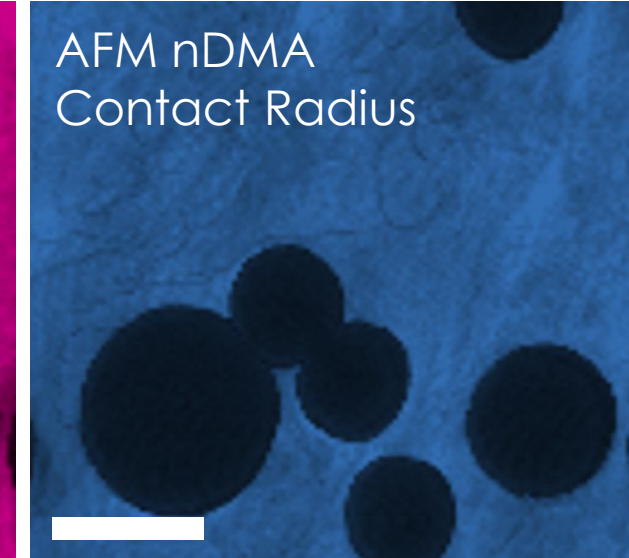
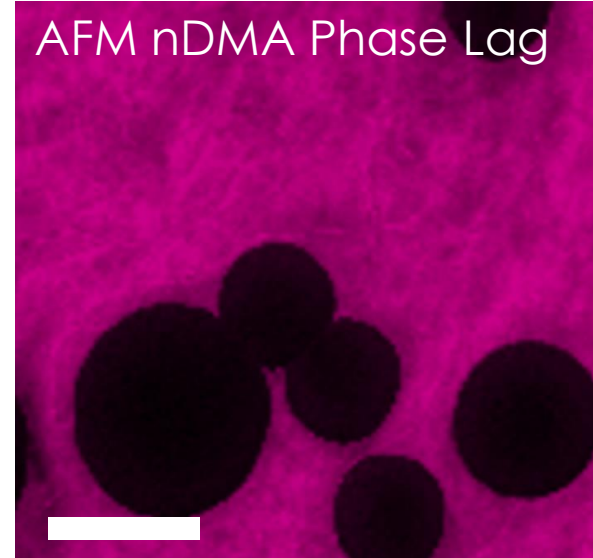
### PeakForce Tapping nanoDMA

128 x 128 pixels,  
Frequency = 80 Hz  
Scale bar = 2.0  $\mu\text{m}$





+ Temperature  
+ Ramp scripting

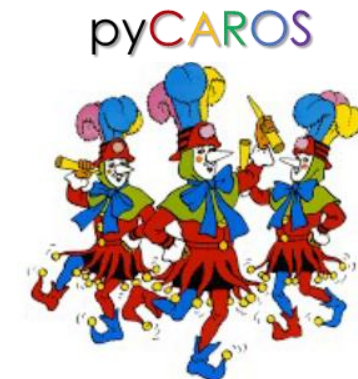


# pyCAROS

Python C<sub>o</sub>de for A<sub>n</sub>proximation and R<sub>e</sub>tract force curve analysis of O<sub>rganic</sub> and hybrid S<sub>oft</sub> materials

Automatised multidimensional analysis based on Machine Learning algorithms for :

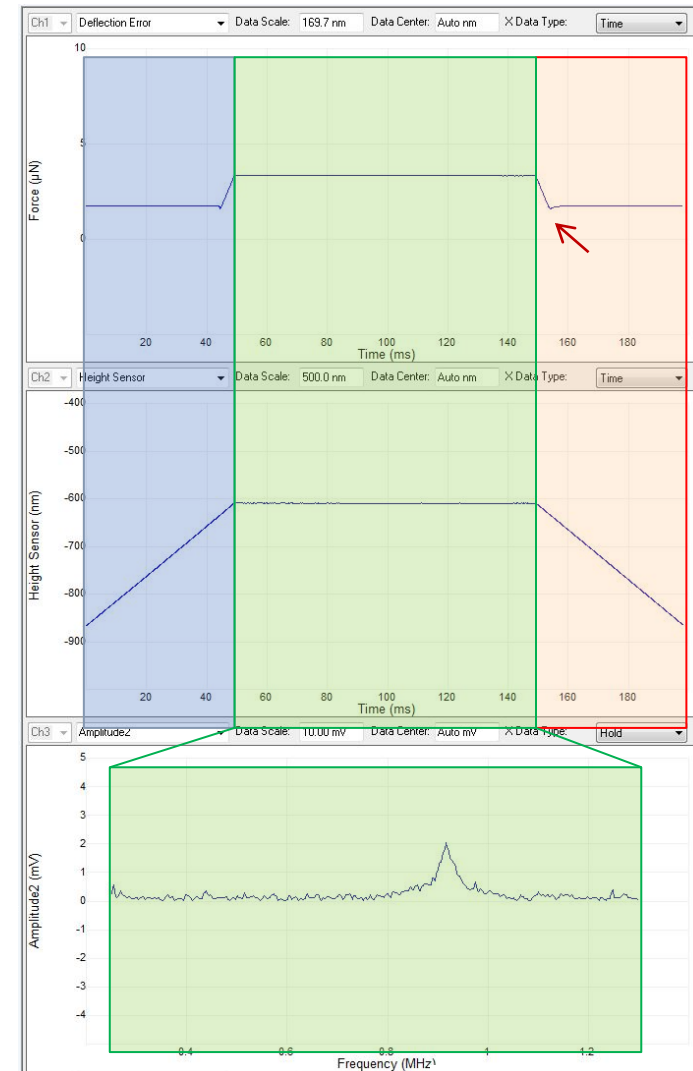
- Clustering of the data (PCA, Kmeans, GMM, ...)
- Force curve analysis + «smart» mapping (Tabor, Contact mechanics models,  $R^2$ )
- Force curve quality analysis



# Contact Resonance

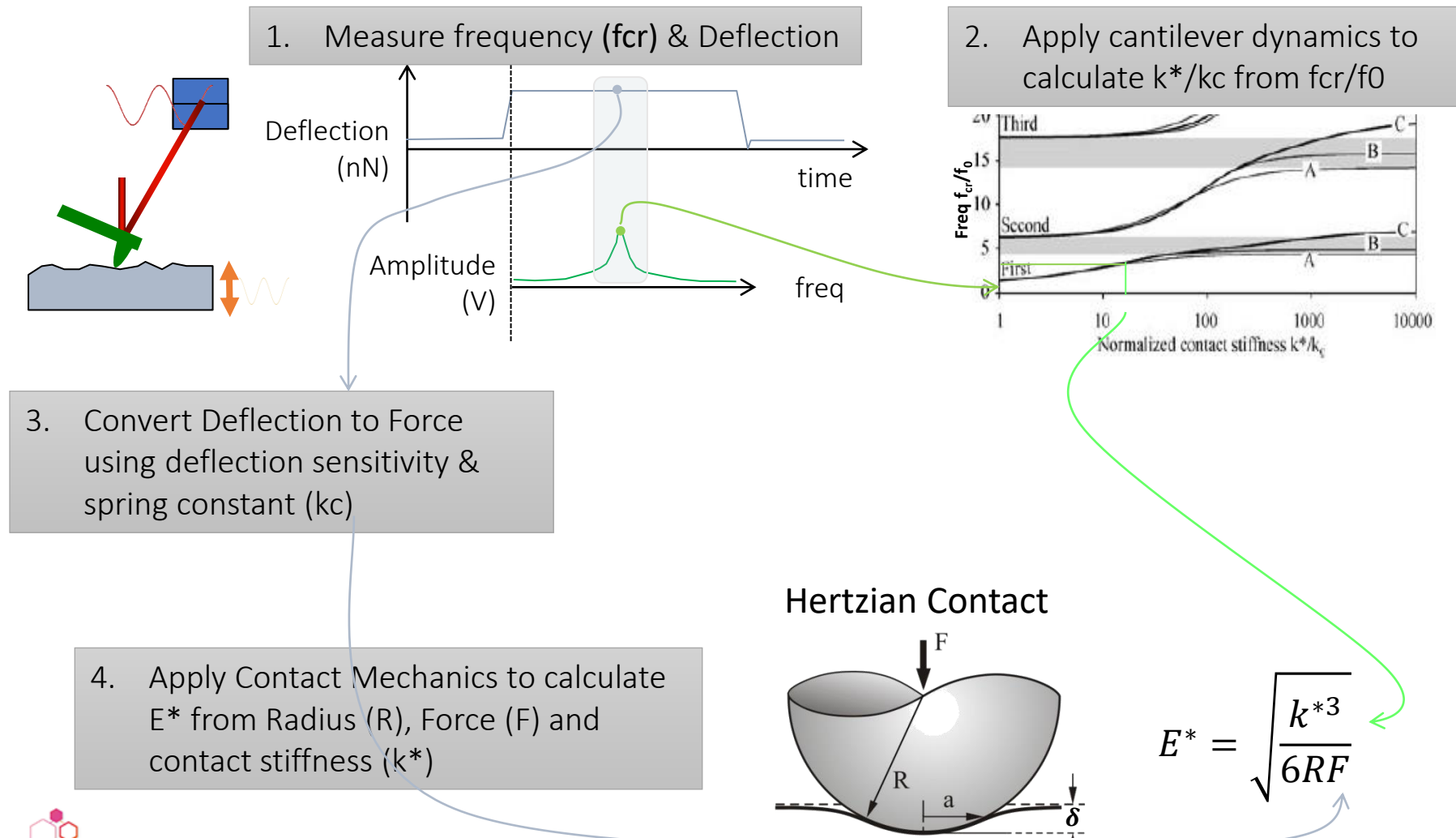
## From Frequency and Deflection to modulus

- CR is based on FASTForce Volume
  - Provides standard force curve for comparison for each pixel in map
    - Approach
    - Hold Force and sweep frequency
    - Retract
  - **More repeatable:** lateral force on tip is minimized, reducing tip wear
  - **More information:** allows measurement of adhesion force for each pixel better contact mechanics modeling
  - **Real-time maps** of both raw data and mechanical props ( $E'$ ,  $E''$ , loss tan)
  - **Whole sweep is saved**, allowing detection of artifact peaks, etc. (unlike frequency tracking methods like DA(F)RT)

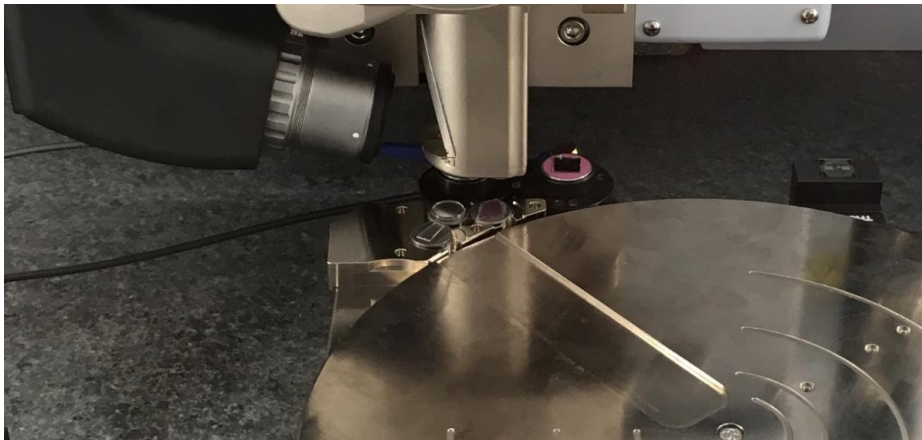


# Contact Resonance

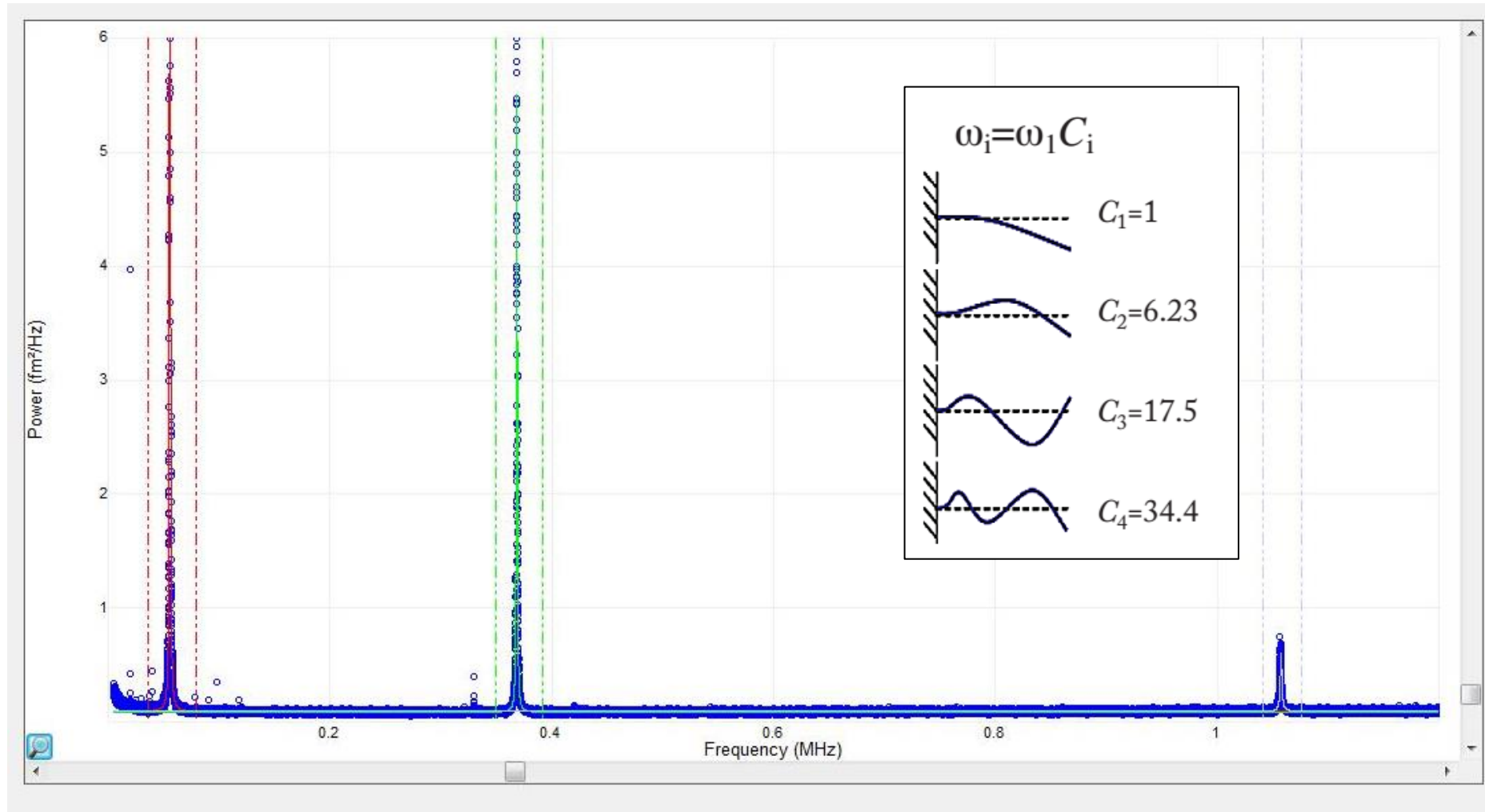
From Frequency and Deflection to modulus



# Contact Resonance

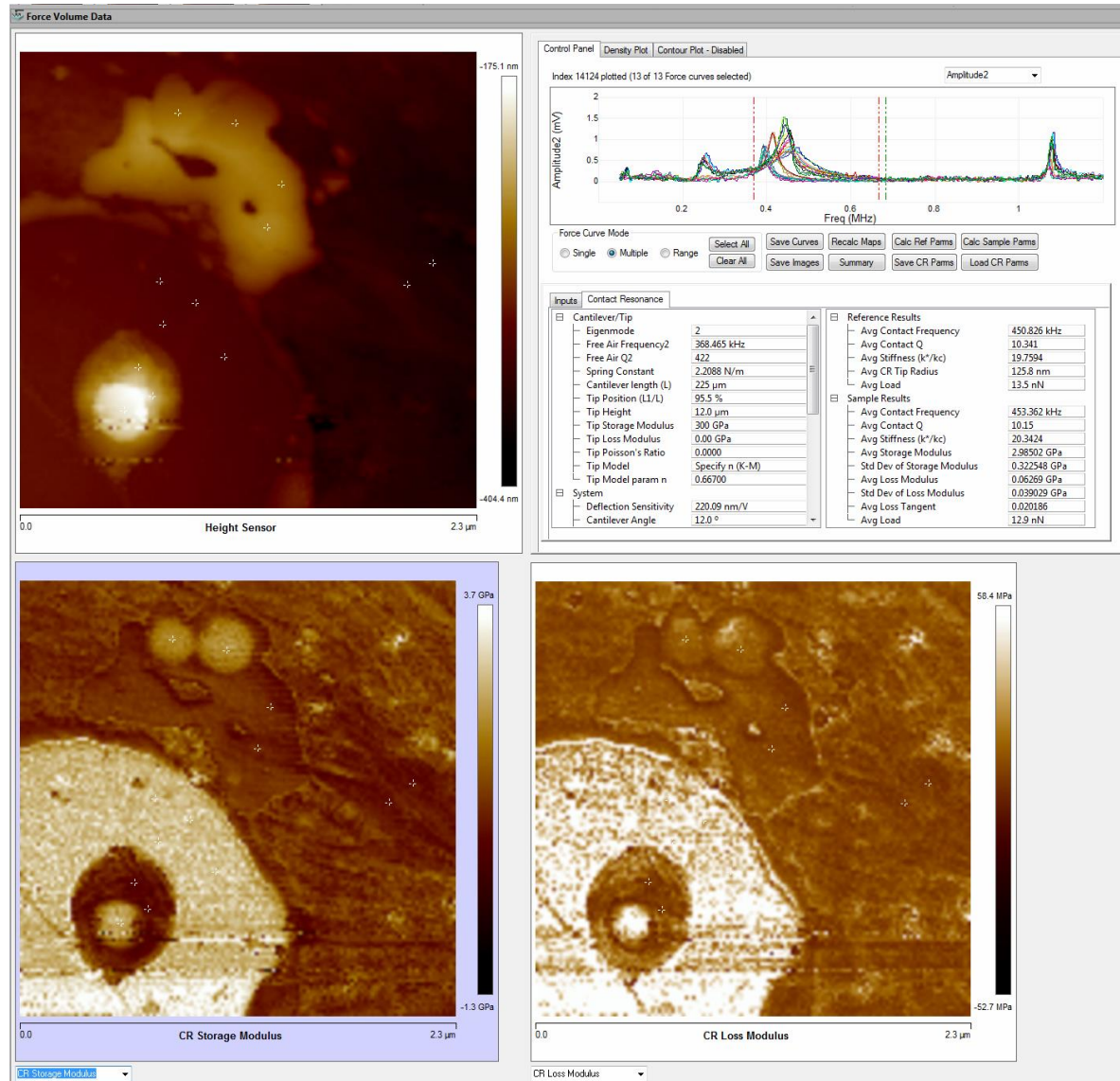


# Contact Resonance



# Contact Resonance

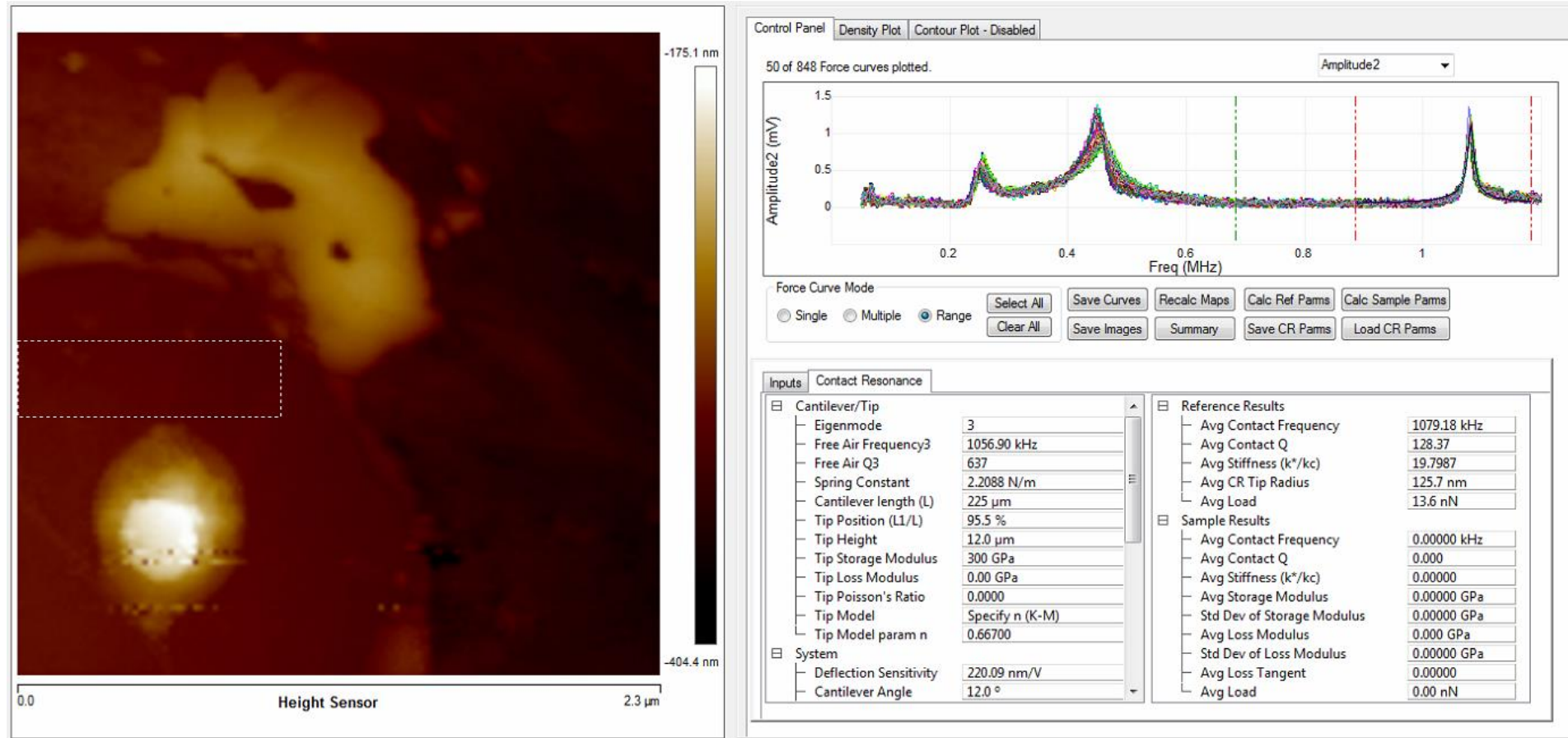
PS-PCL



2<sup>nd</sup> peak

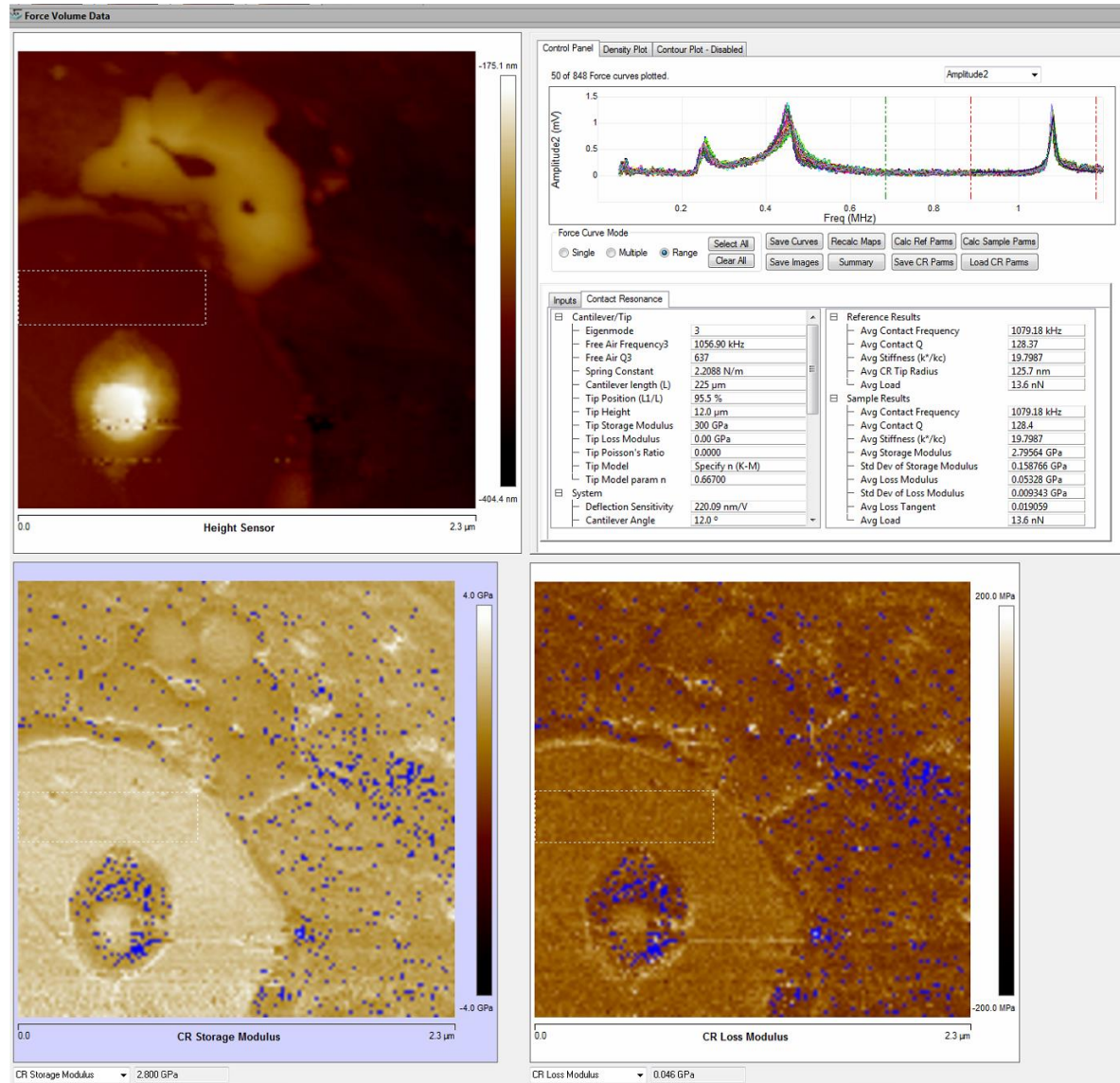
# Contact Resonance

PS-PCL



# Contact Resonance

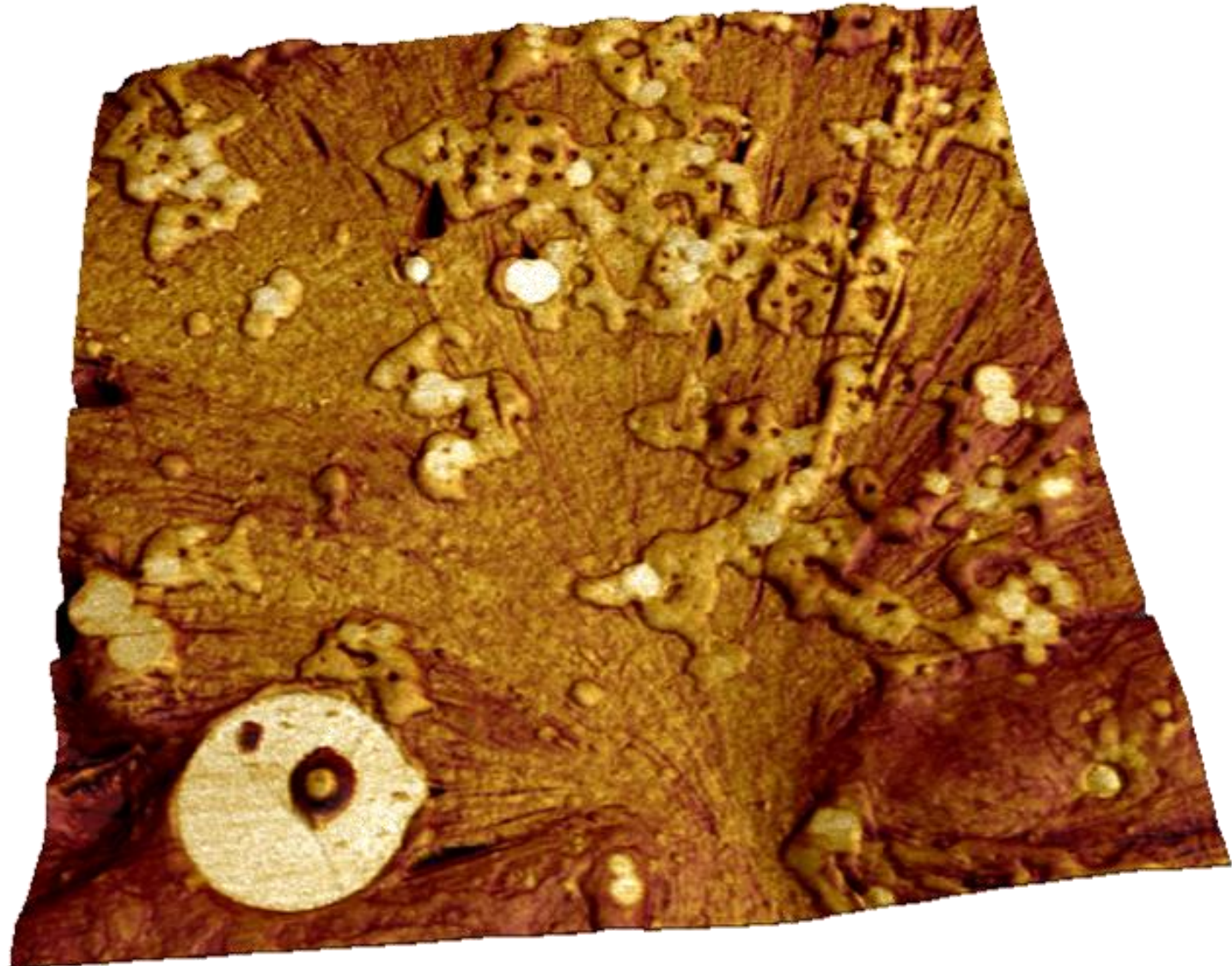
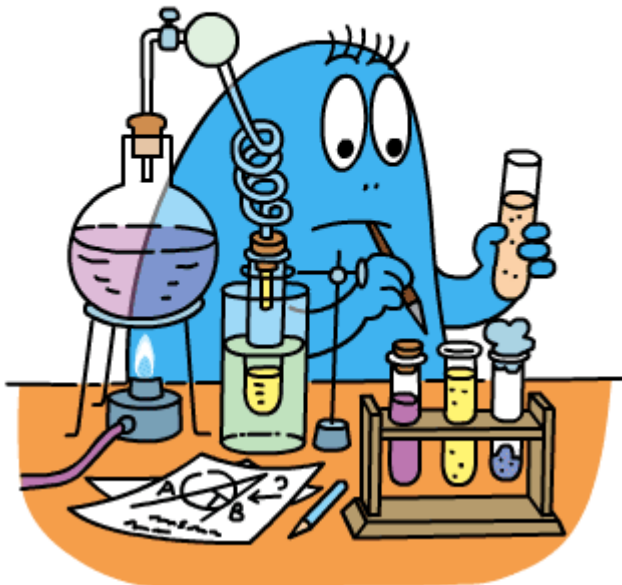
PS-PCL



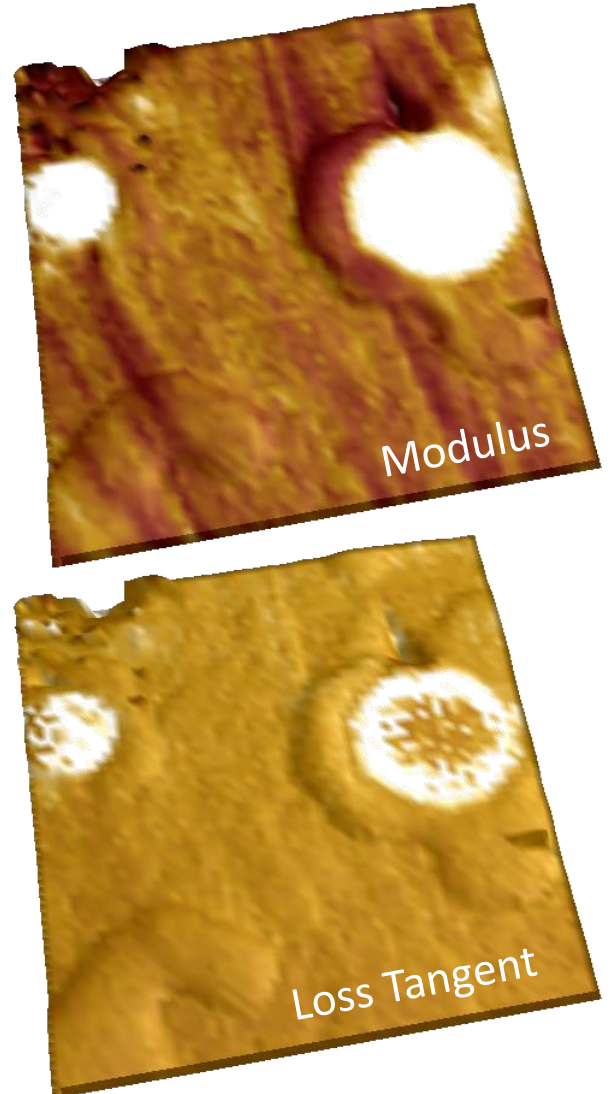
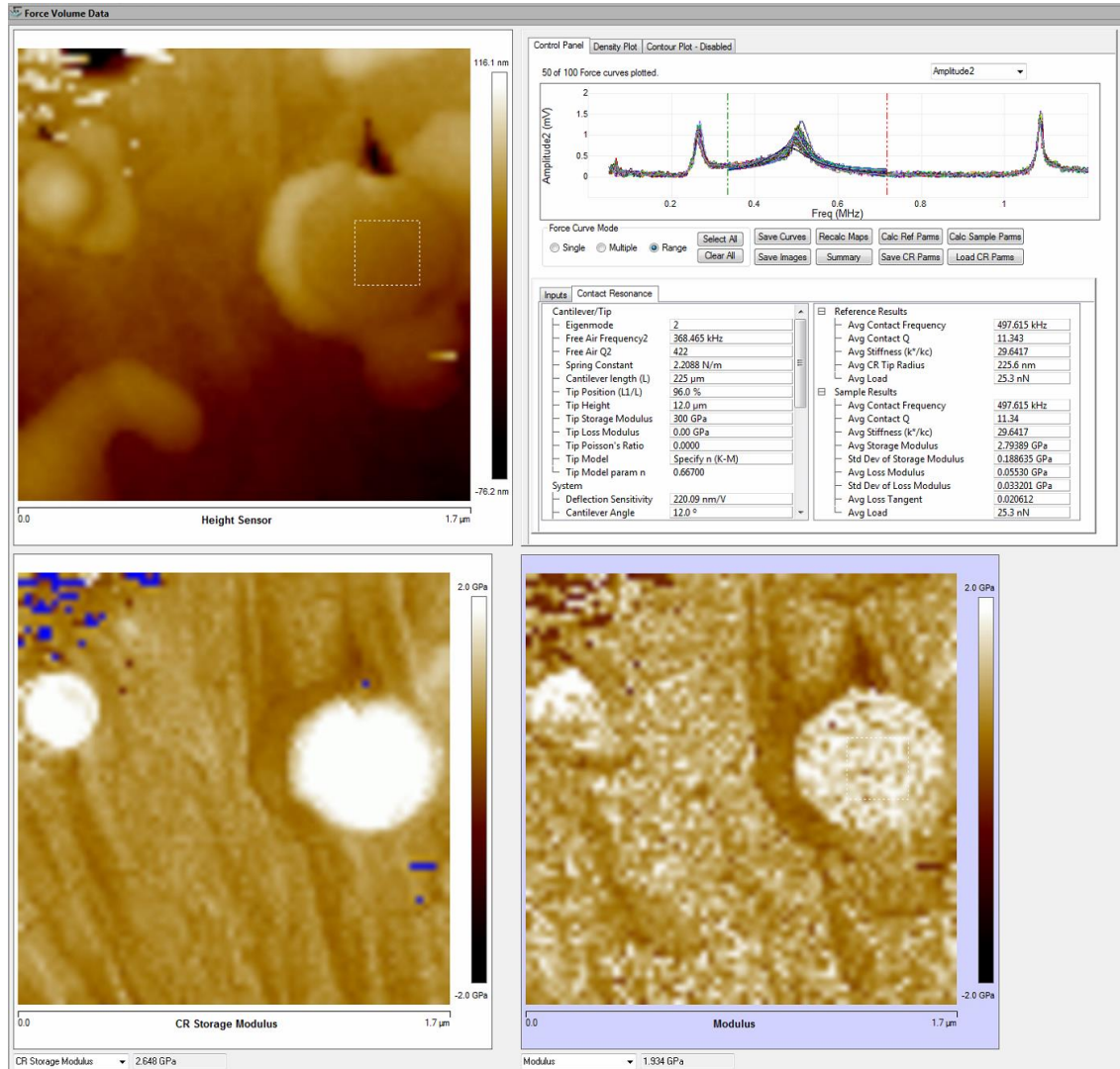
3<sup>rd</sup> peak

# Contact Resonance

PS-PCL

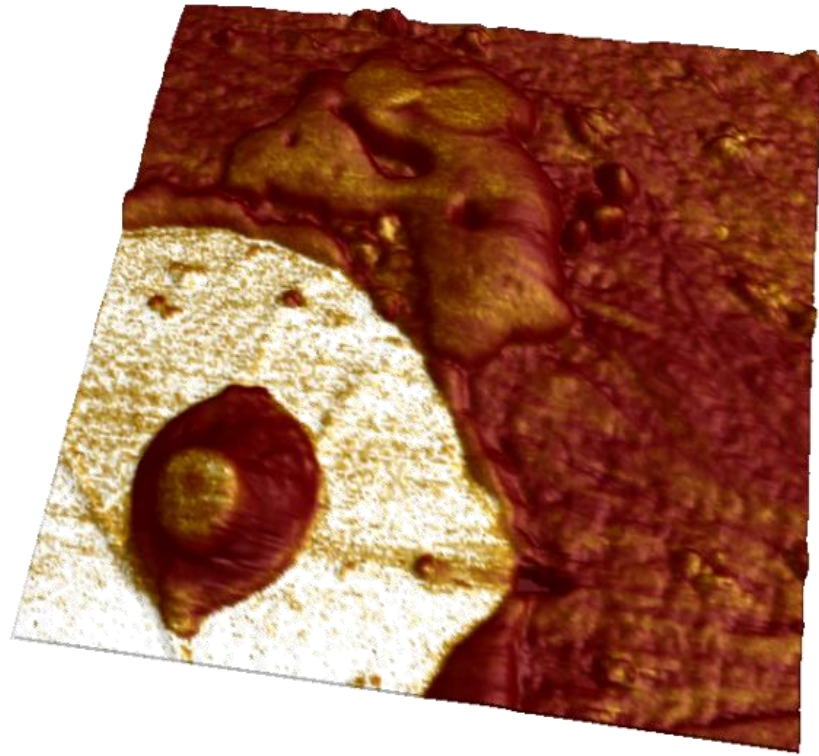


# Contact Resonance

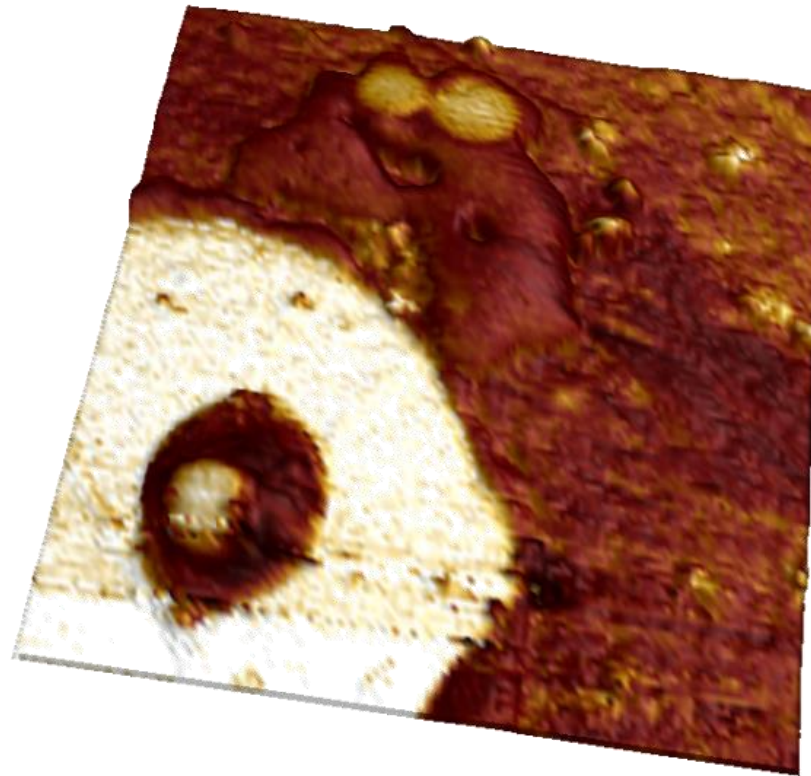


# Comparing PFTQNM and CR

- PFTQNM

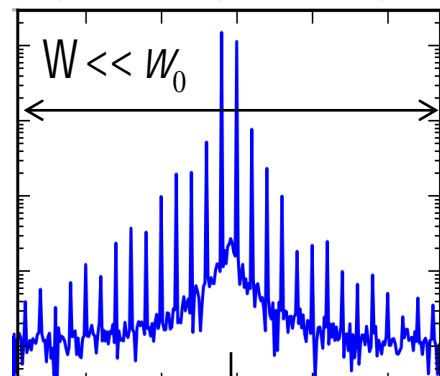


- CR 128x128



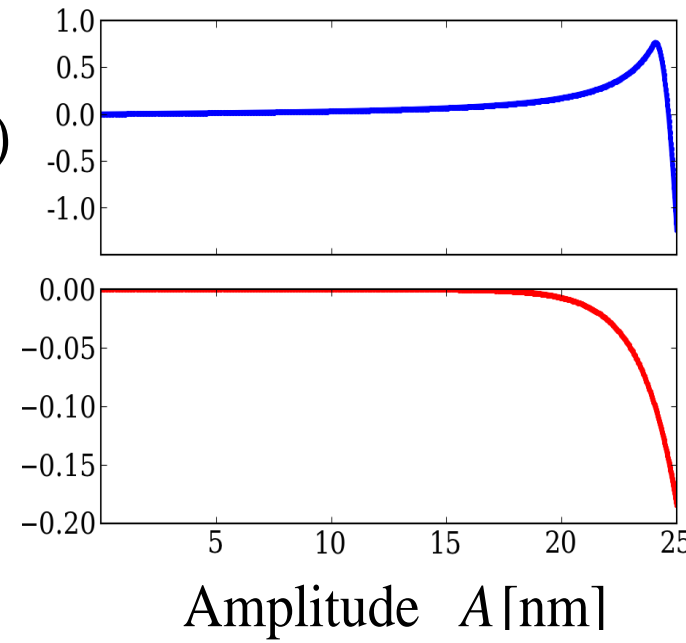
# Intermodulation AFM

## The methodology

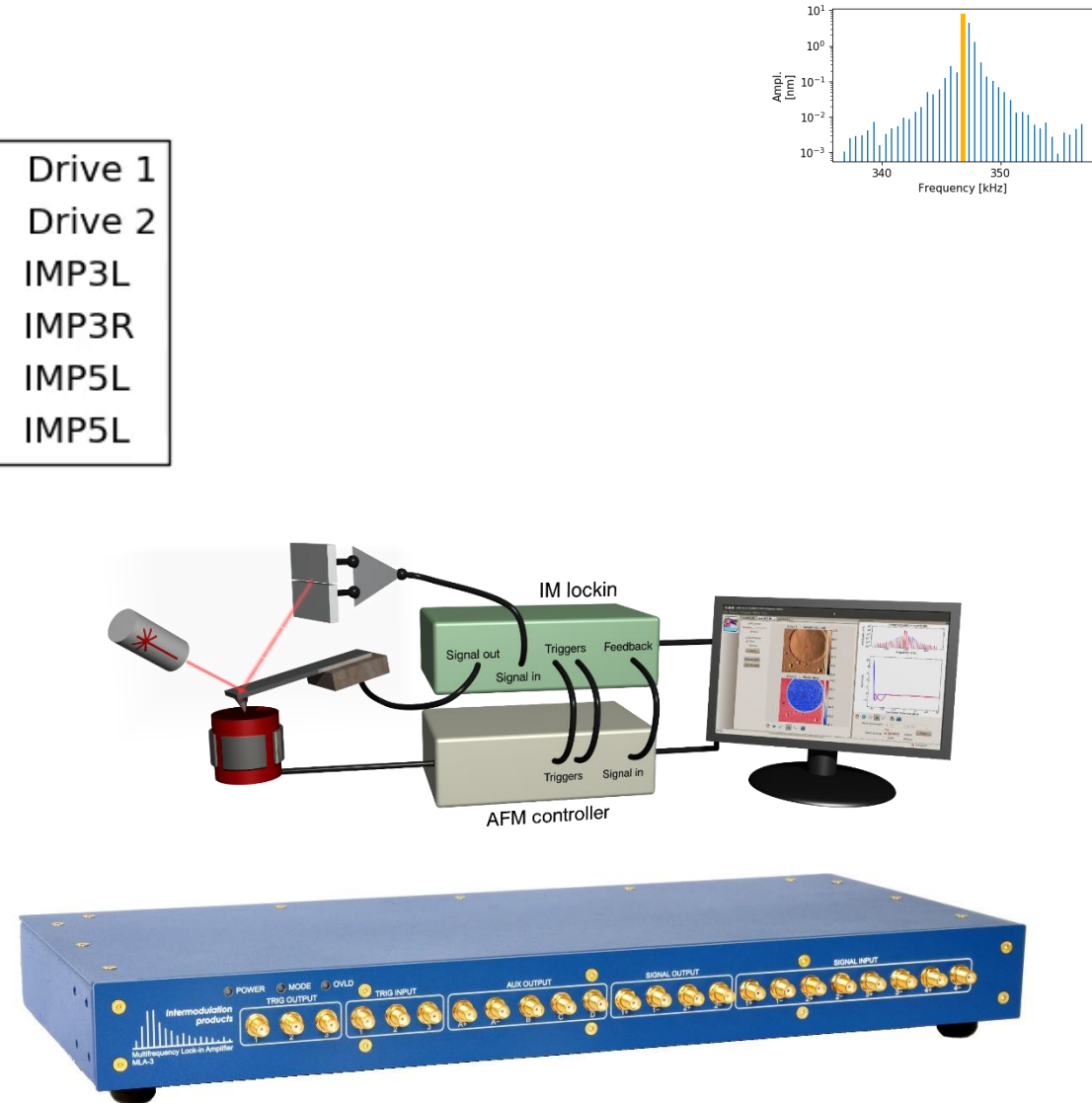
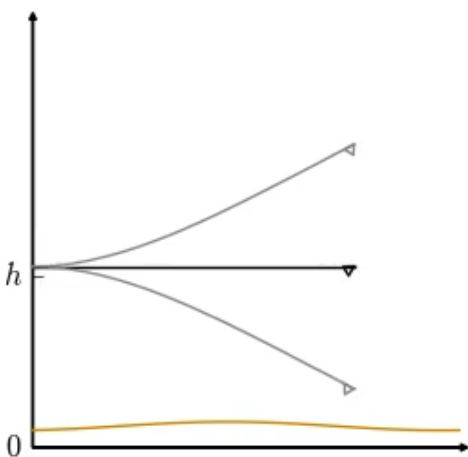
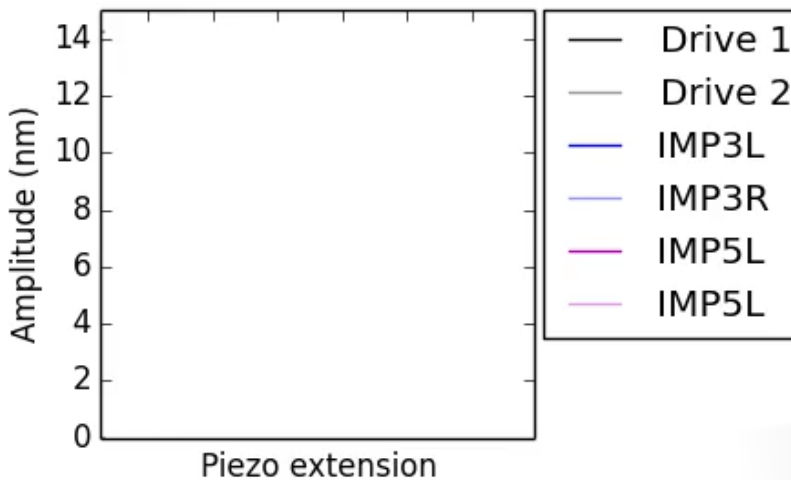
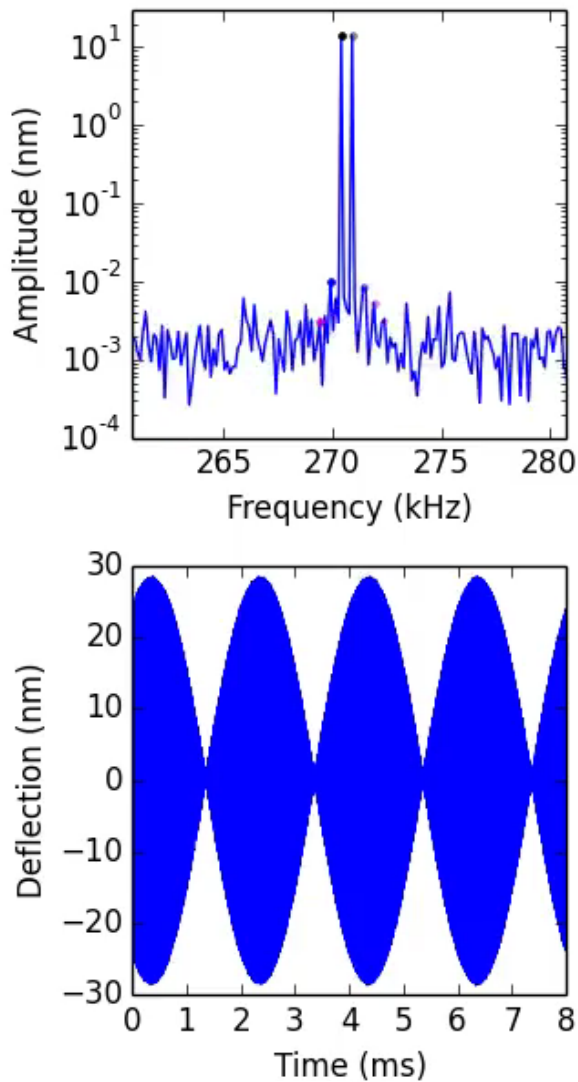


D. Platz et al. Nature Comm. (2012)

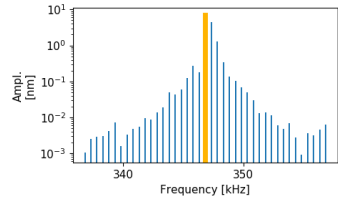
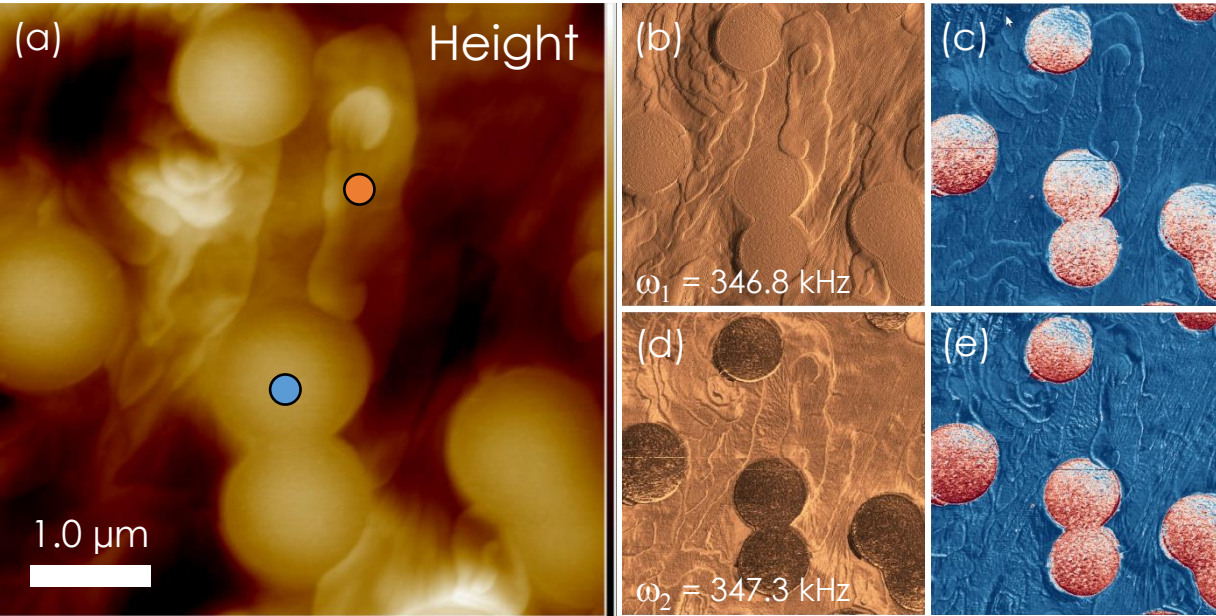
$$\begin{aligned} & F_I(A) \\ & F_Q(A) \end{aligned}$$



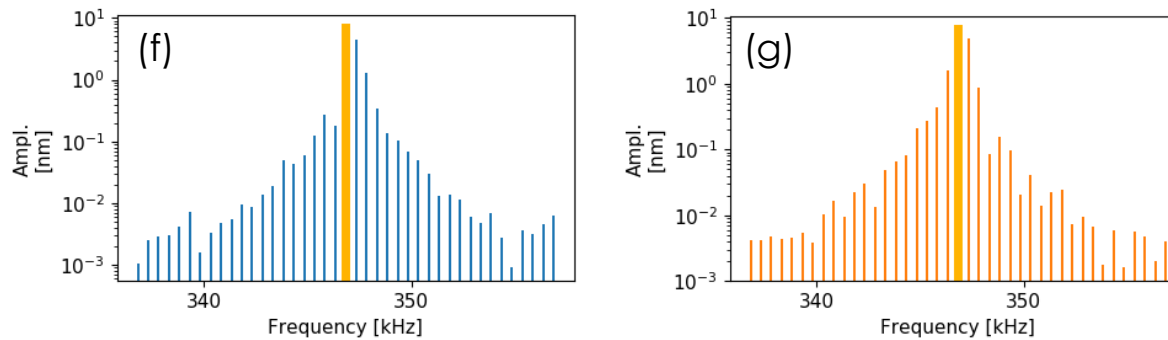
# Intermodulation AFM



# Blend of PS/PCL



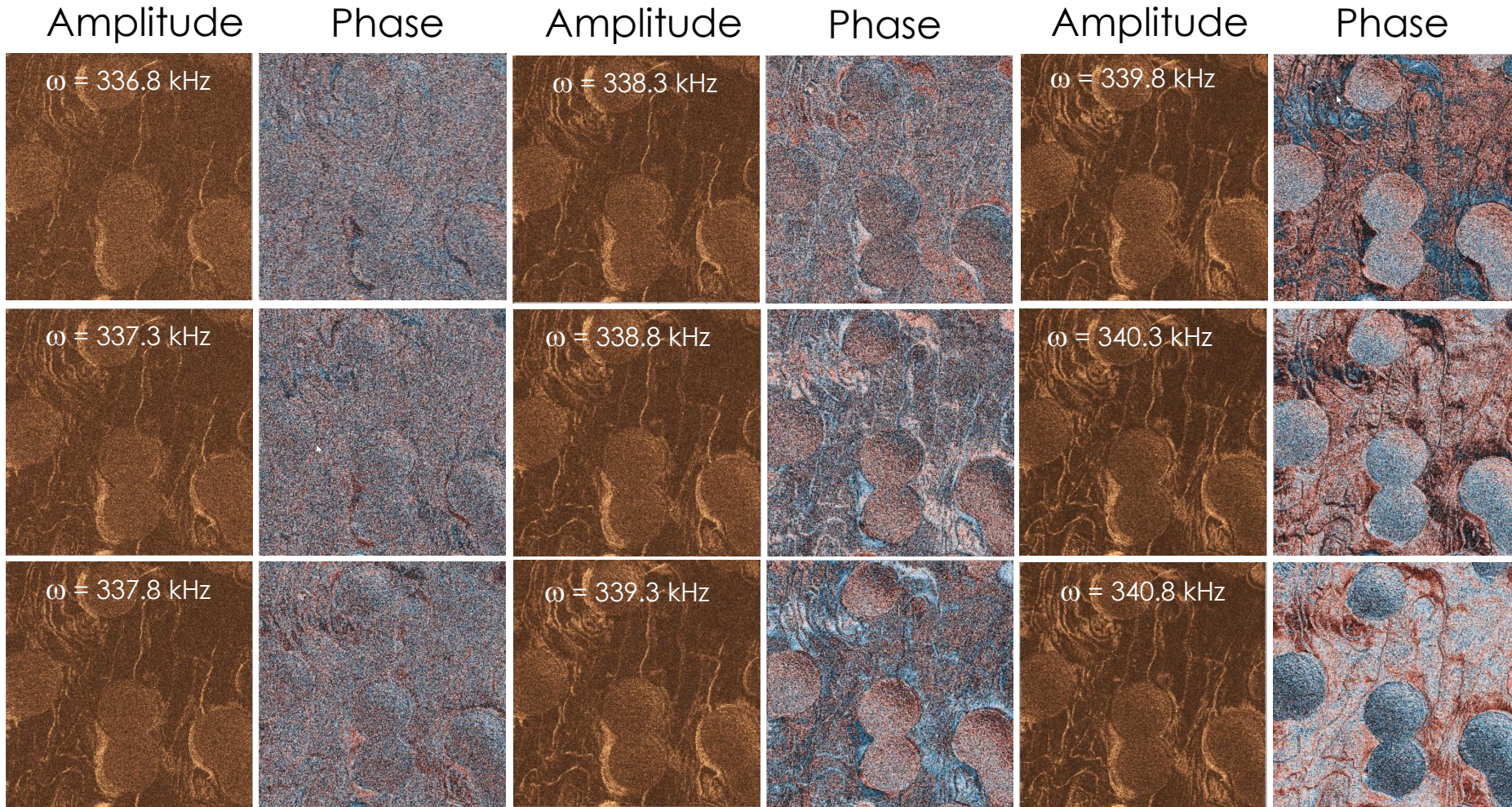
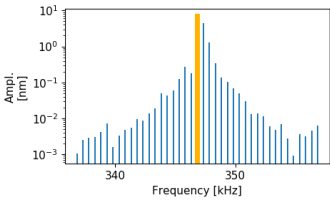
+ 40 others !



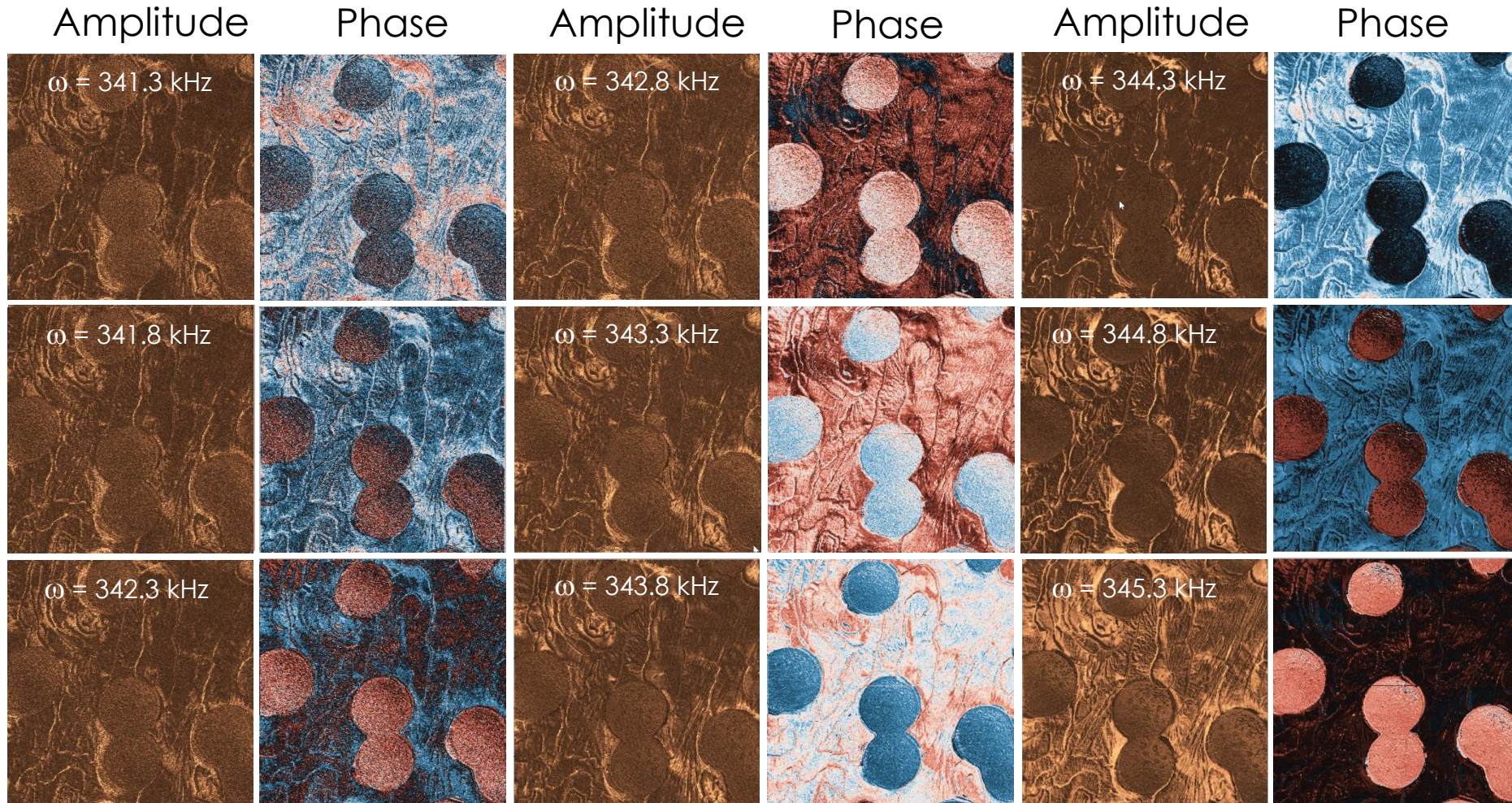
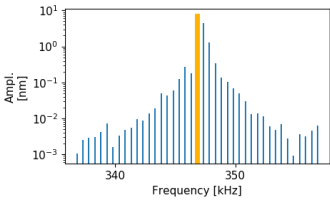
Soft Matter (2016), 12, 619.

PS:PCL 30:70 blend

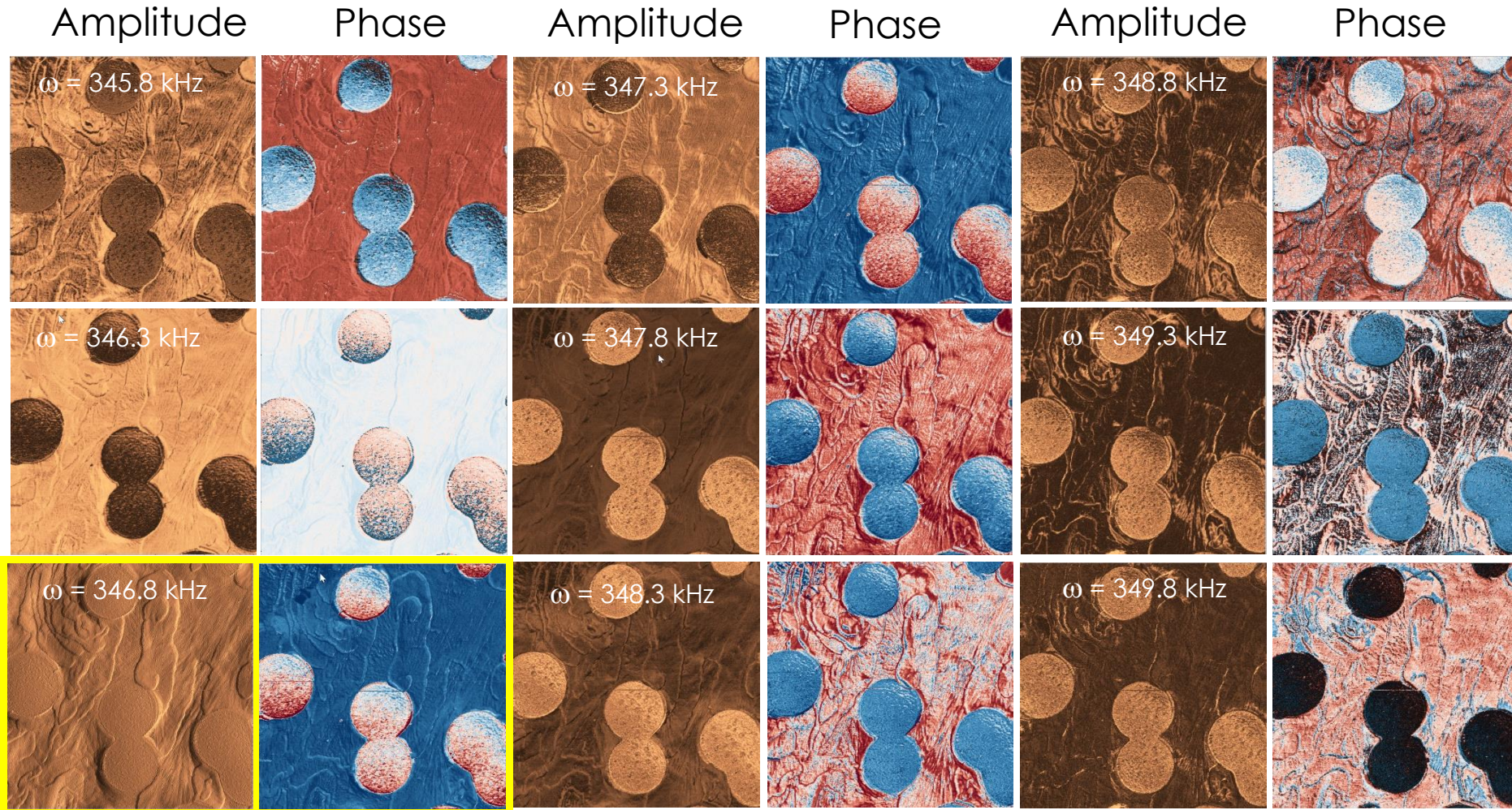
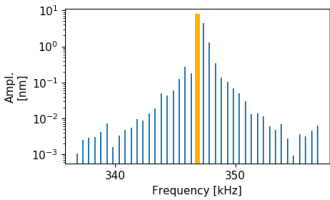
# Blend of PS/PCL



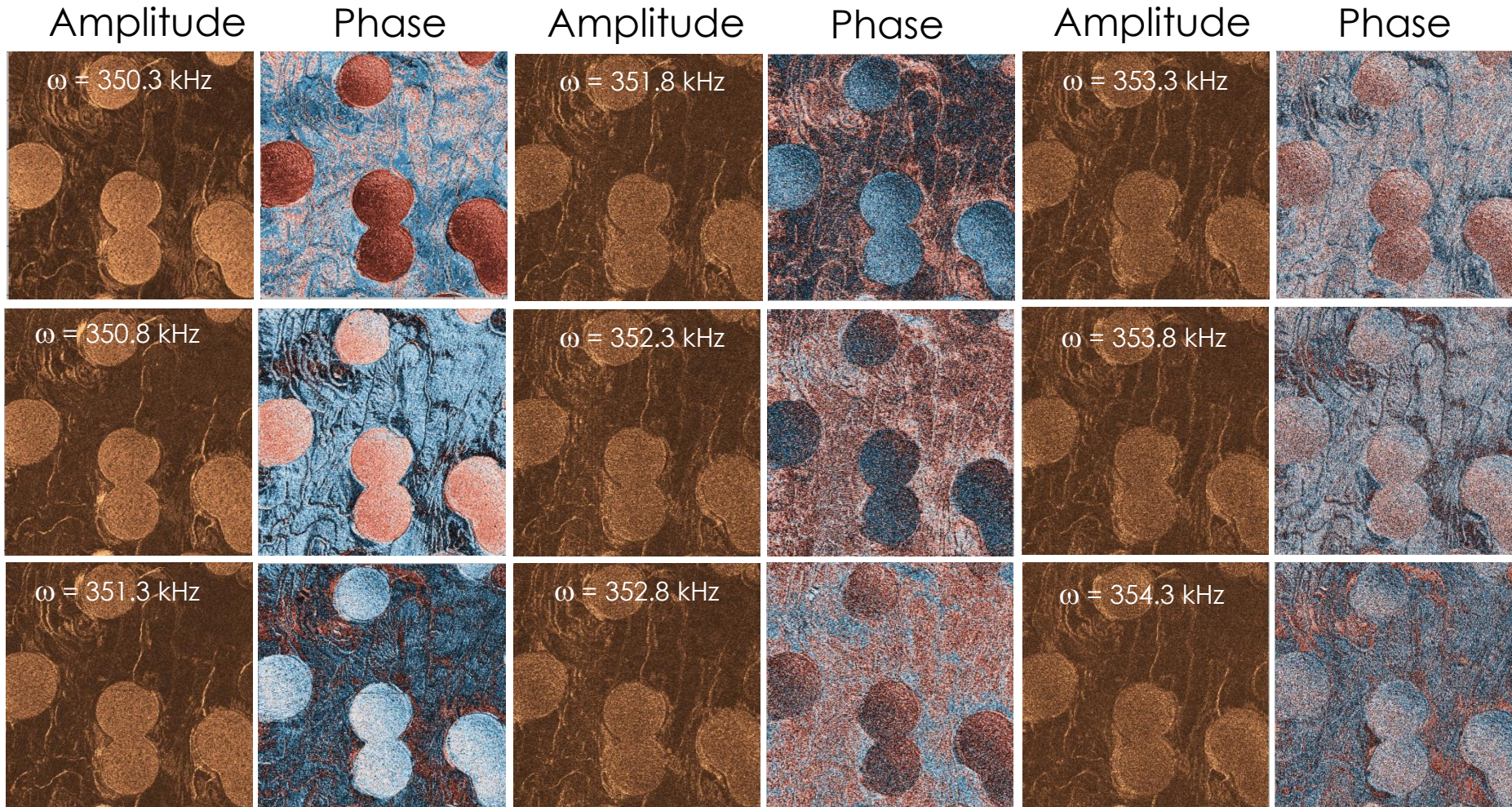
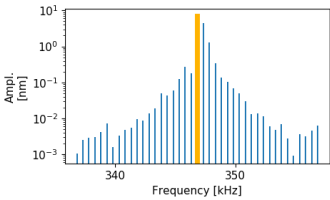
# Blend of PS/PCL



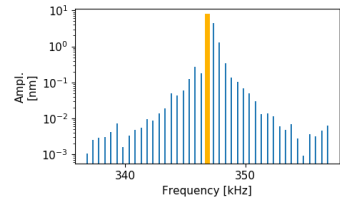
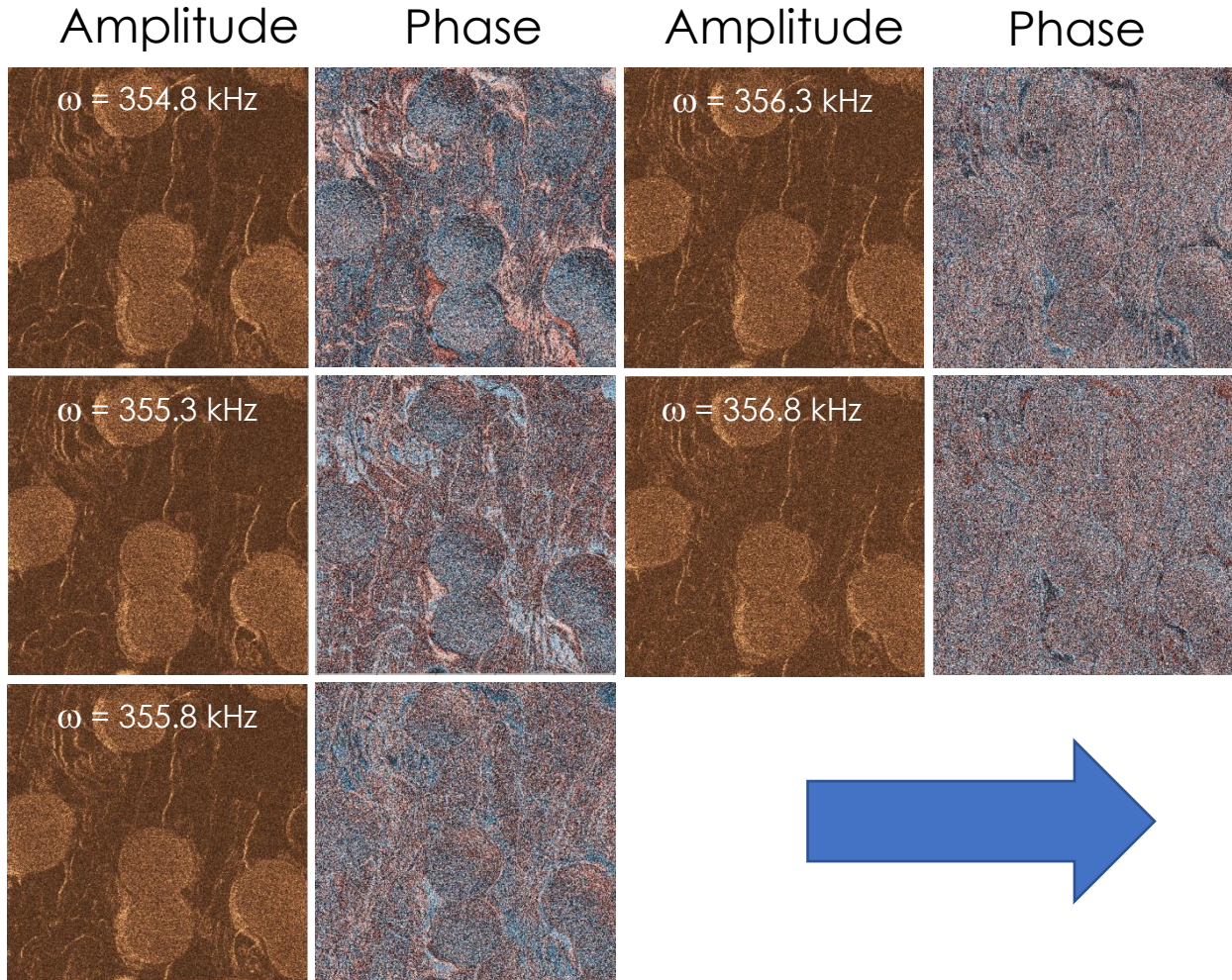
# Blend of PS/PCL



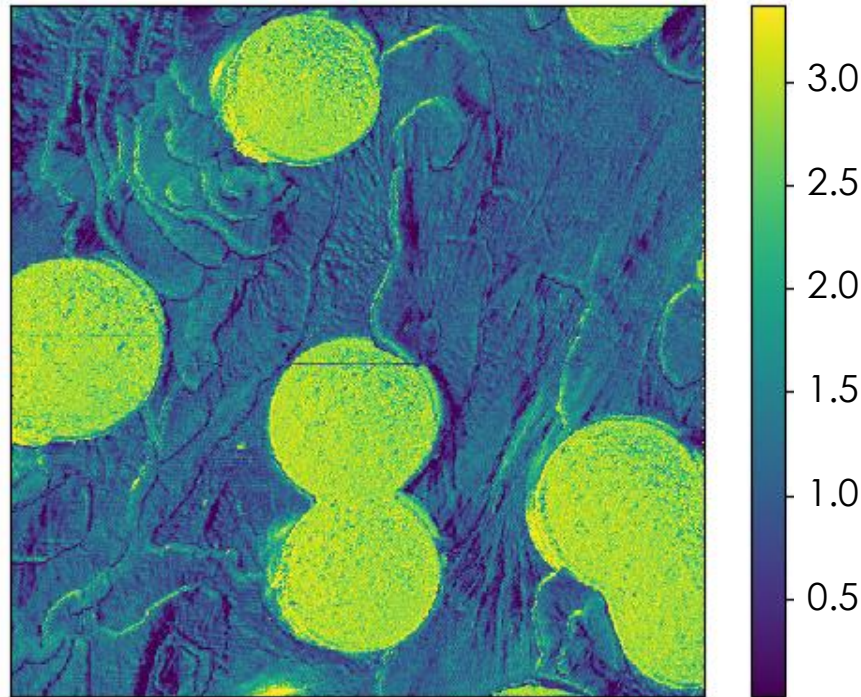
# Blend of PS/PCL

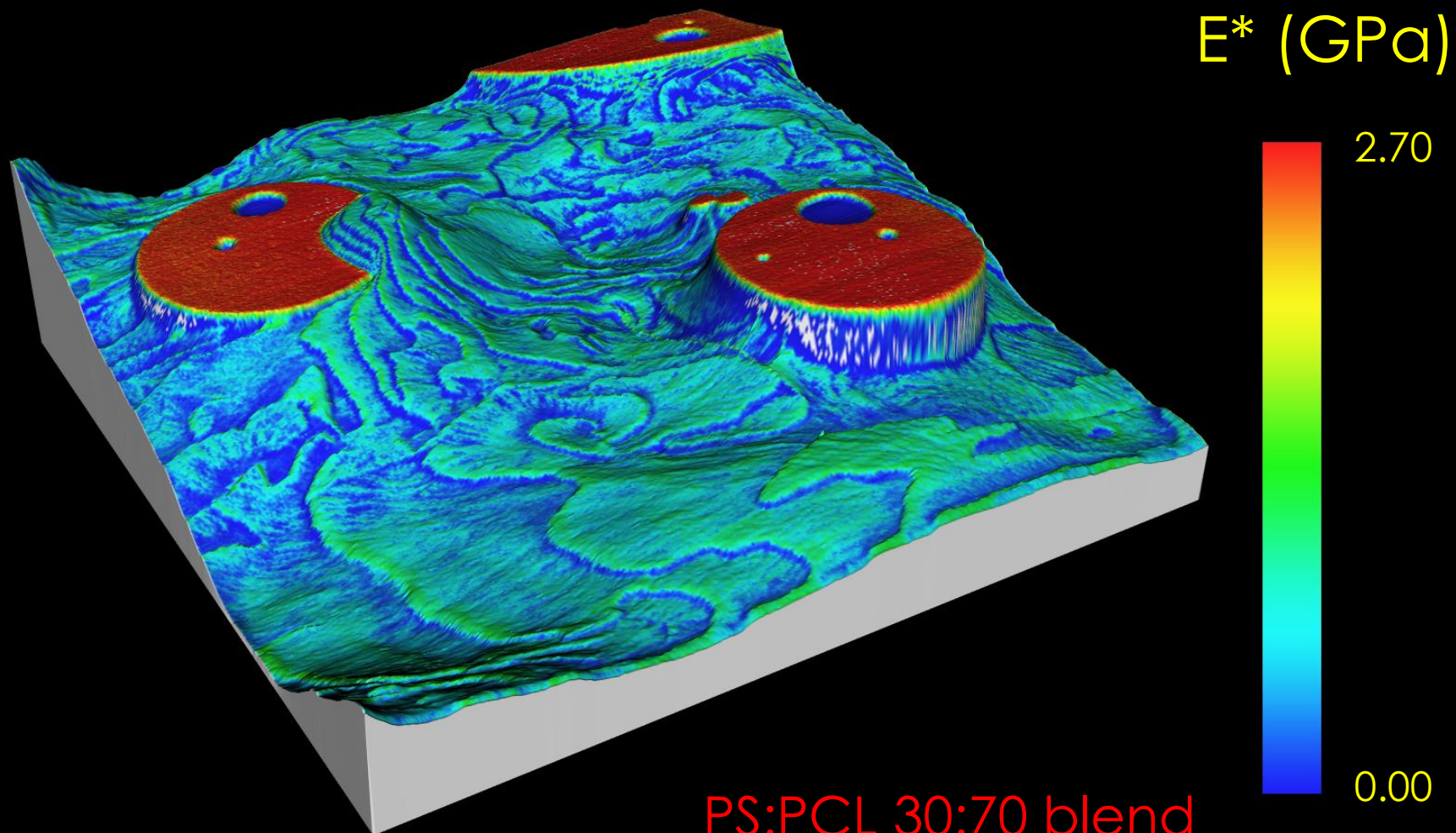


# Blend of PS/PCL



Contact Modulus (GPa)





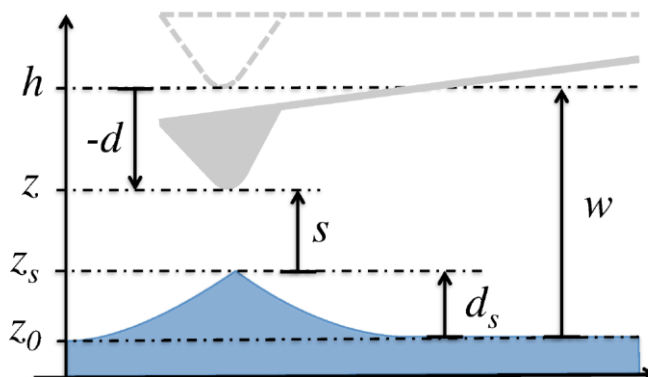
# Moving Surface Model

$$m\ddot{d} + \gamma m\dot{d} + kd = F_{TS}(s, \dot{s}) + F_{\text{drive}}$$

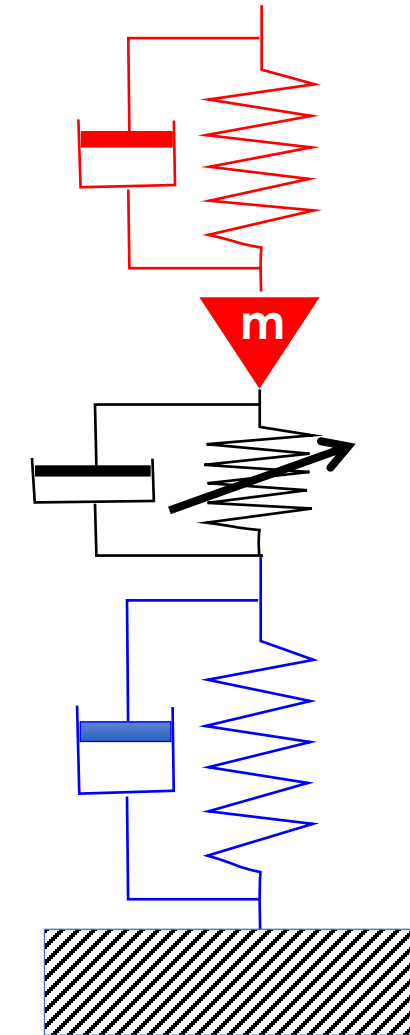
$$\eta\dot{d}_s + k_s d_s = -F_{TS}(s, \dot{s})$$

separation  $s = (d - d_s) + h - z_0$

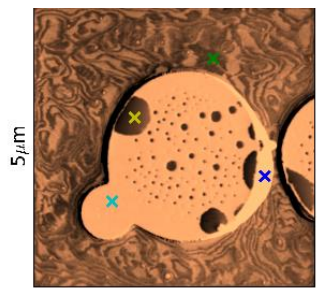
$$F_{\text{TS}}(s, \dot{s}) = \begin{cases} 0 & \text{if } s > 0 \\ -F_{\text{ad}} - k_v s - \eta_v \dot{s} & \text{if } s \leq 0 \end{cases}$$



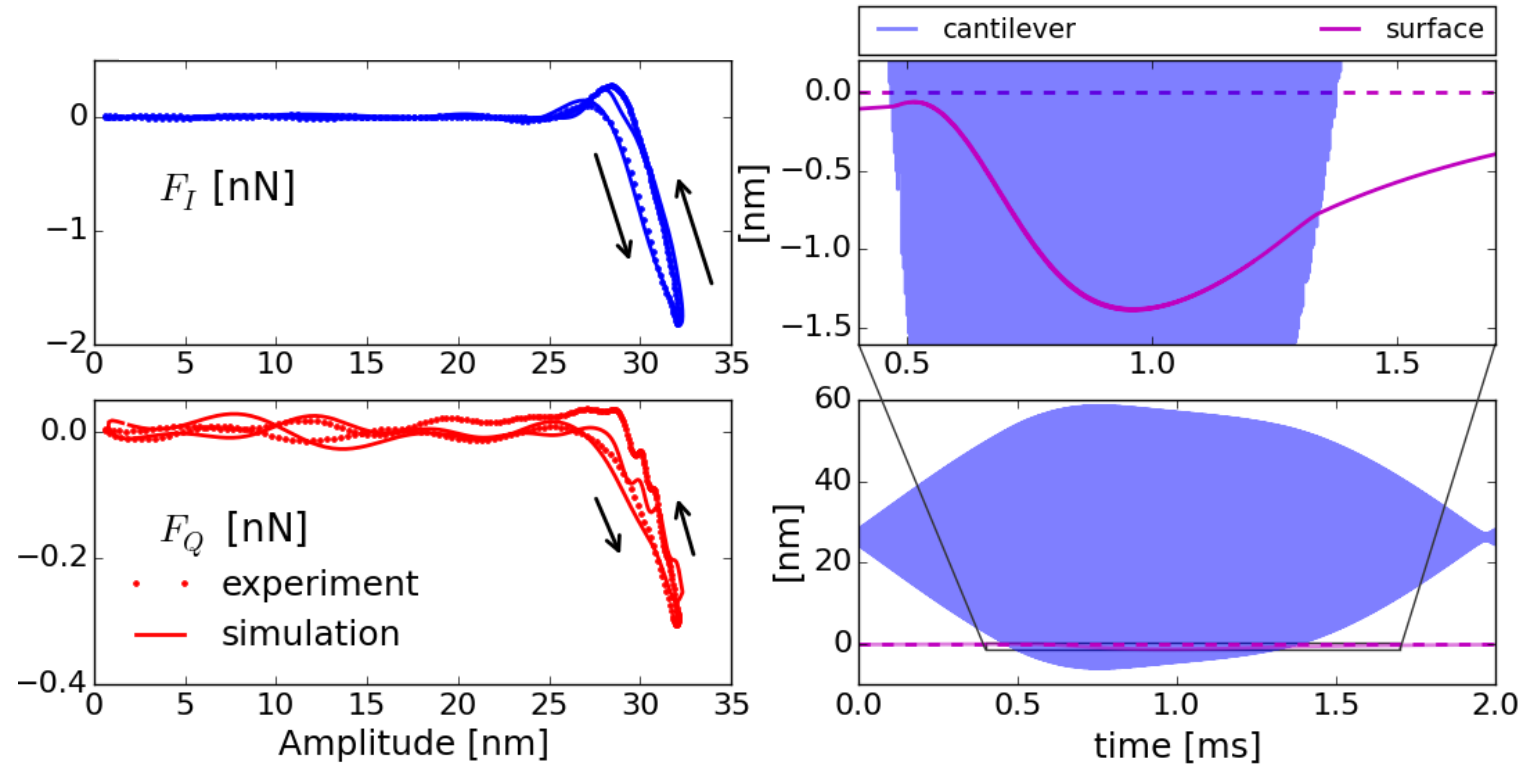
Soft Matter (2016), 12, 619.



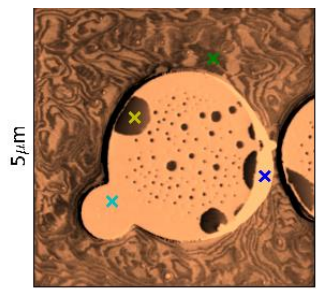
# Fit to moving surface model



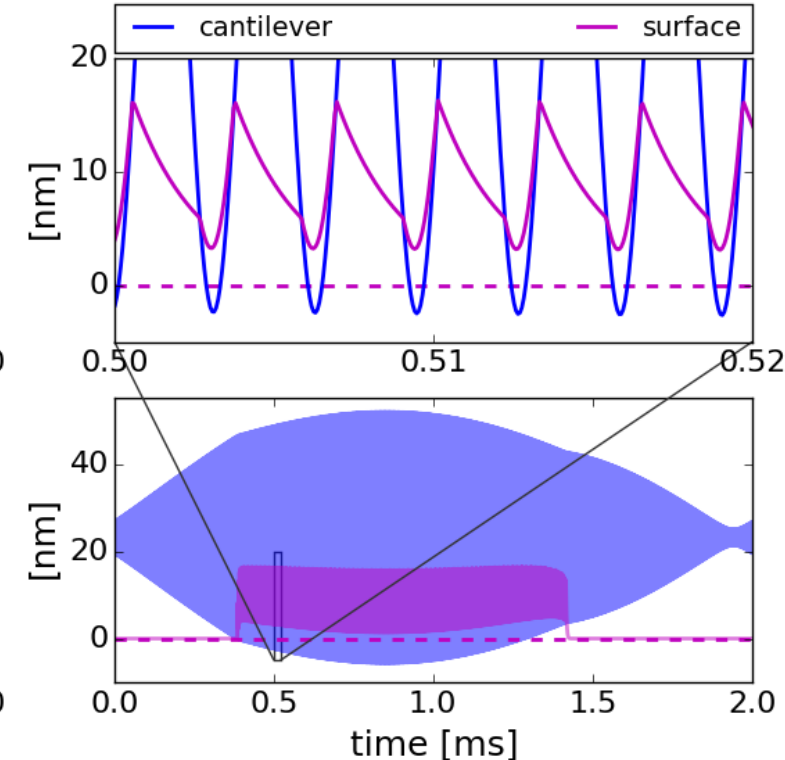
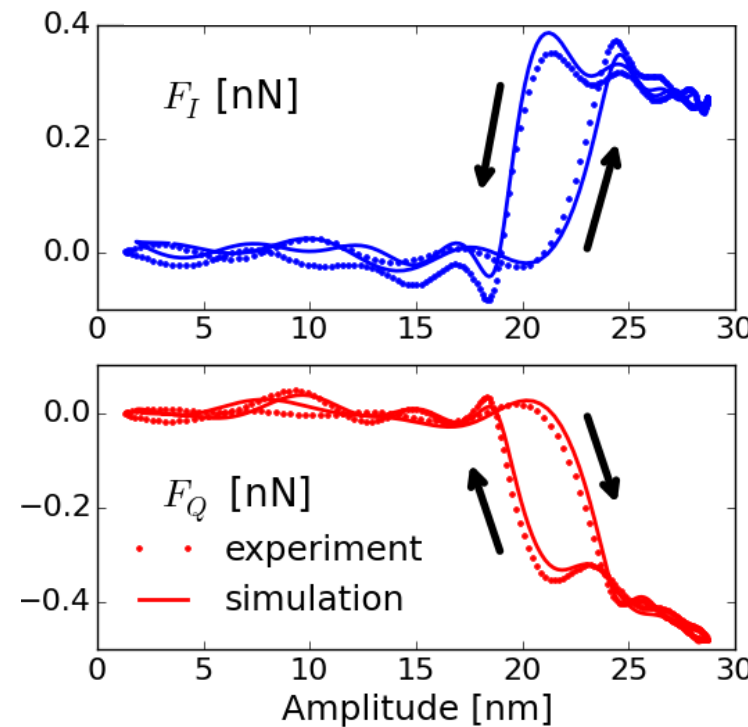
PS phase



# Fit to moving surface model



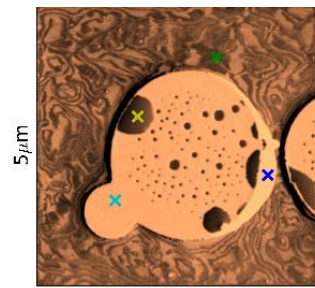
PCL amorphous phase



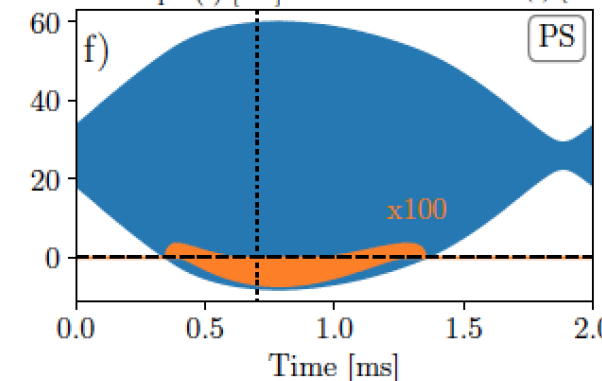
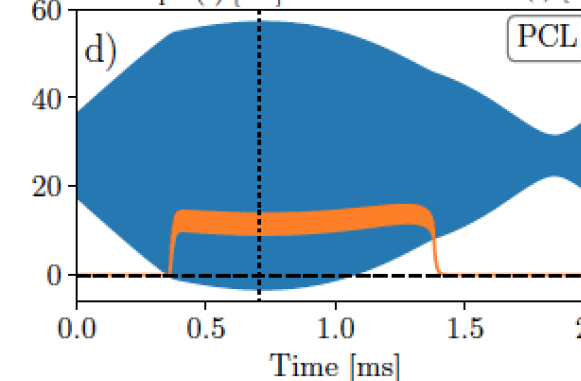
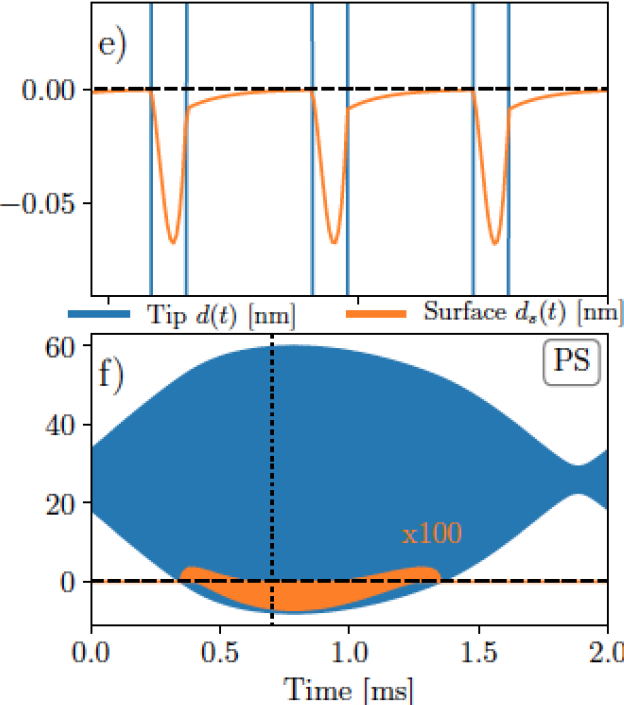
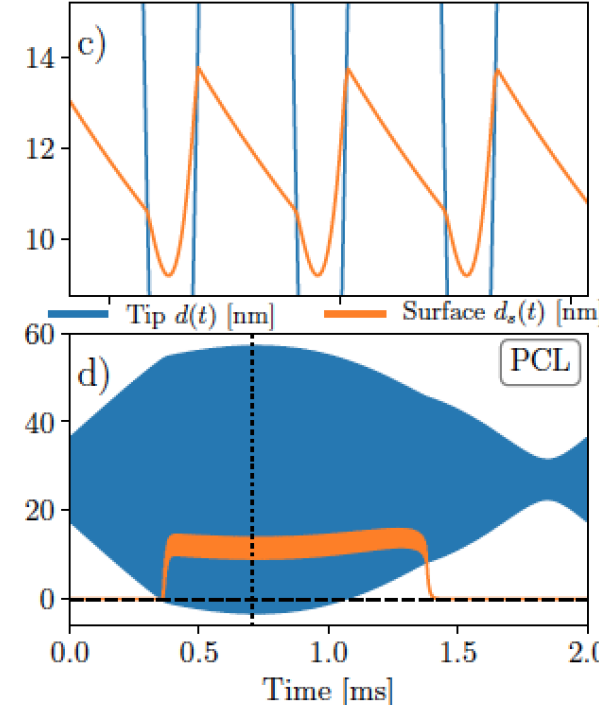
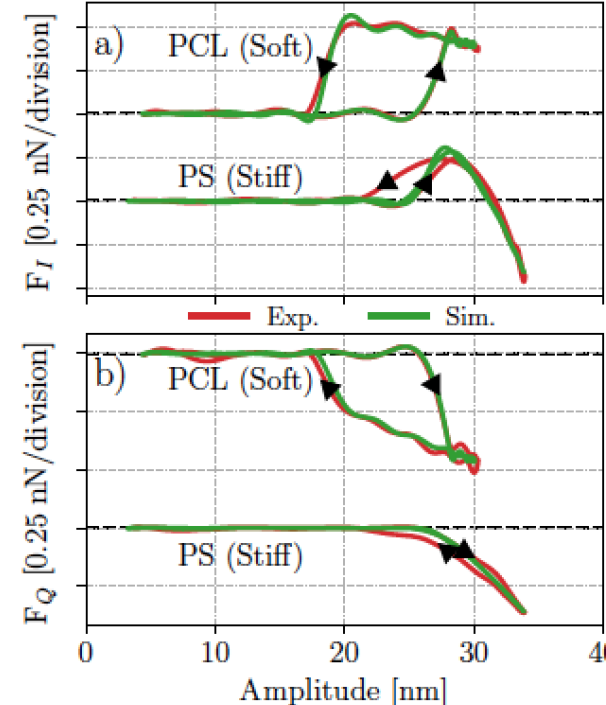
# Fit to moving surface model

Soft Matter (2016), 12, 619.

Sample: PS-PCL

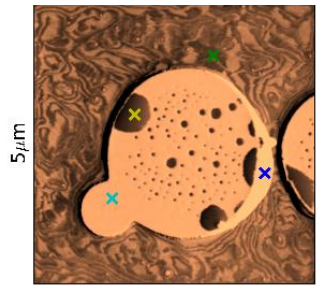


Cantilever: Tap300 (  $f_0=310.6$  kHz,  $k=26.03$  N/m,  $Q=465.1$  )

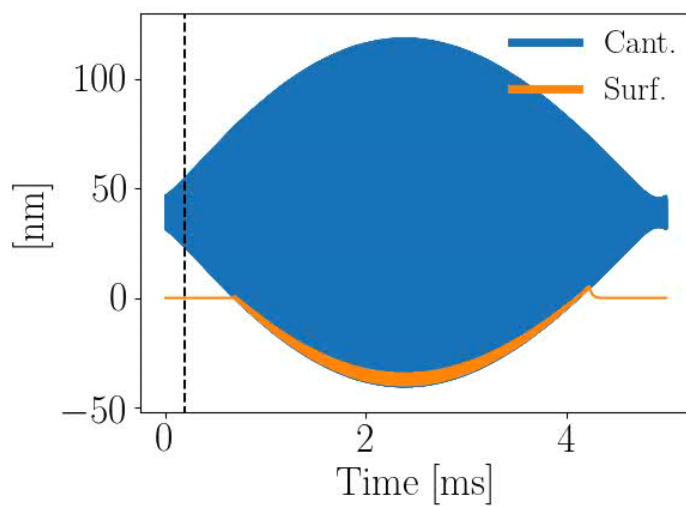
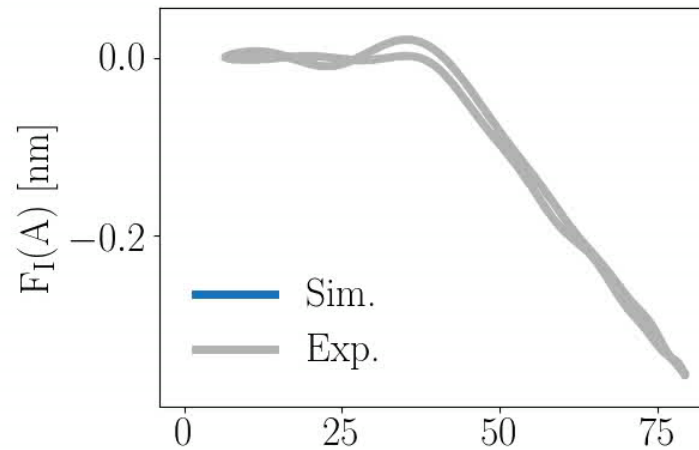
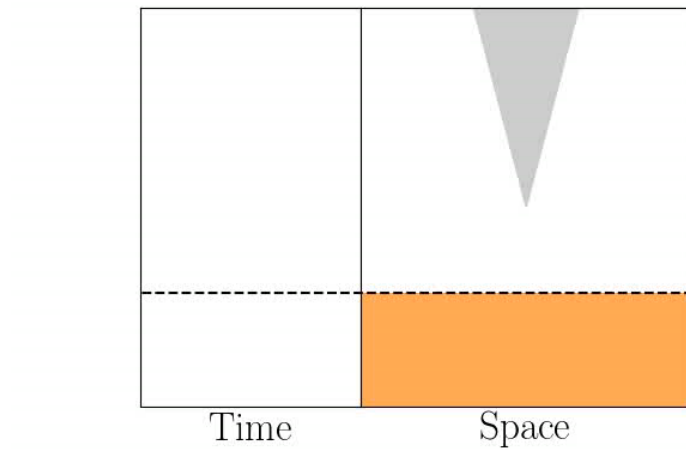


	$h$ [nm]	$\tau_s$ [ns]	$\tau_v$ [ns]	$k_s$ [N/m]	$k_v$ [N/m]	$F_{ad}$ [nN]	$K=k_s/k_v$	$R=\tau_s/\tau_v$
PCL	26.95	8118	580.3	0.0469	0.1557	2.859	0.3012	13.99
PS	25.98	735.2	152.8	32.53	1.097	3.88	29.65	4.811

# Fit to moving surface model



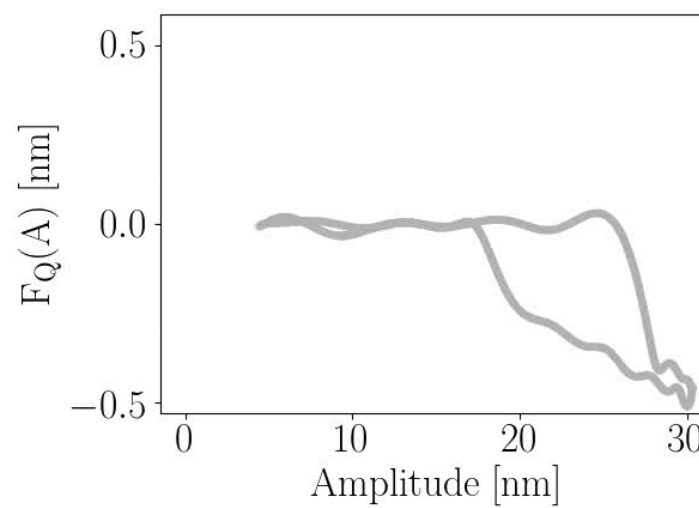
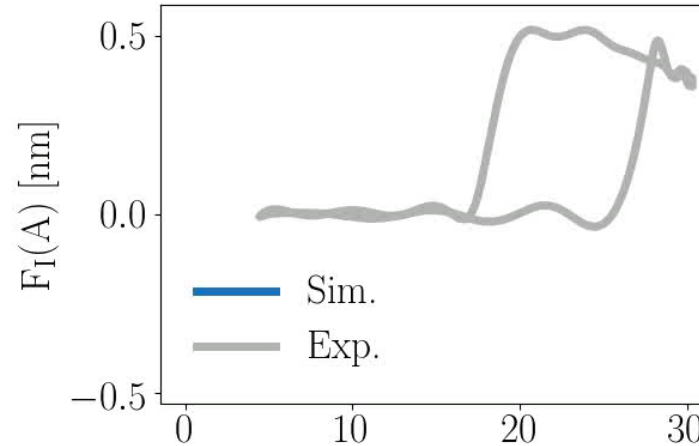
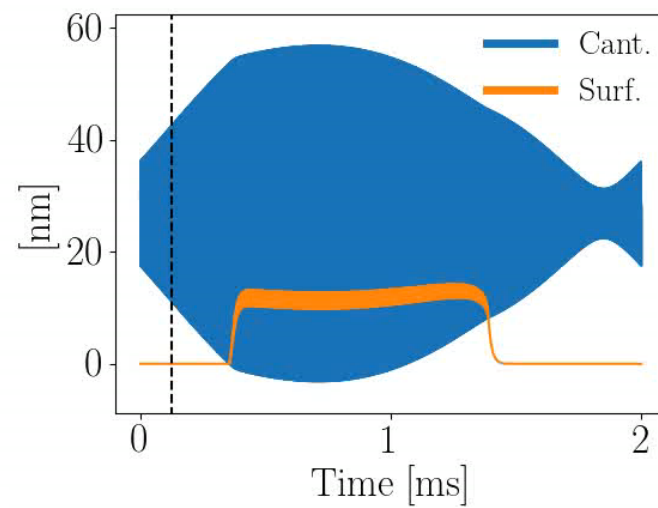
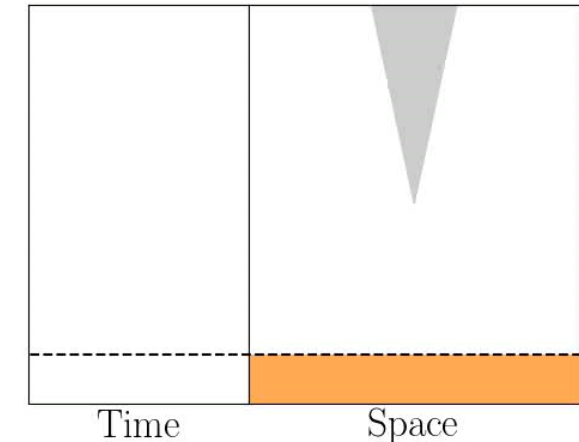
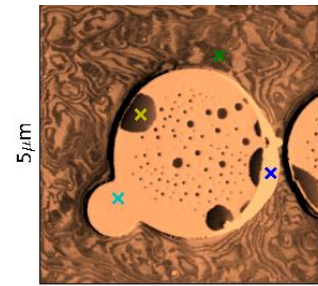
PS phase



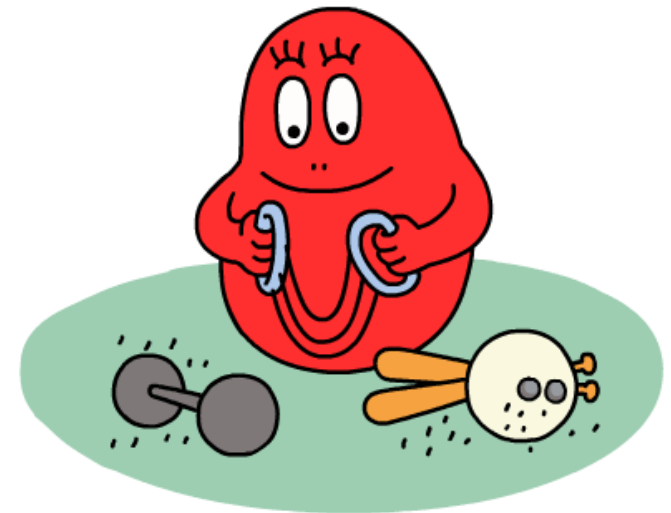
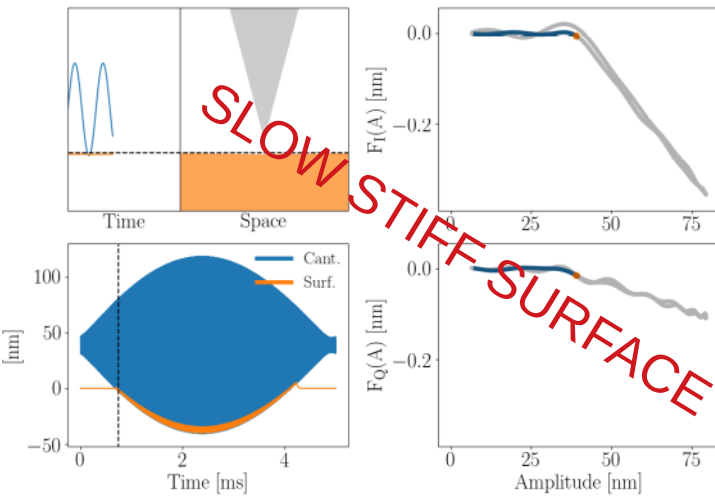
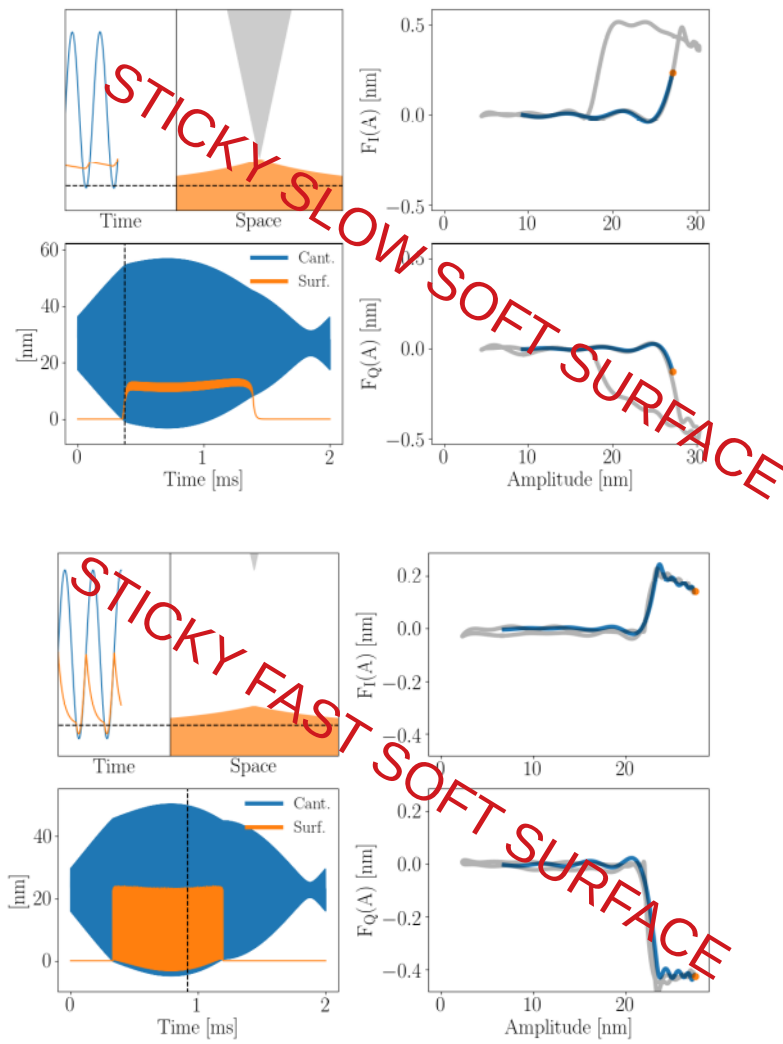
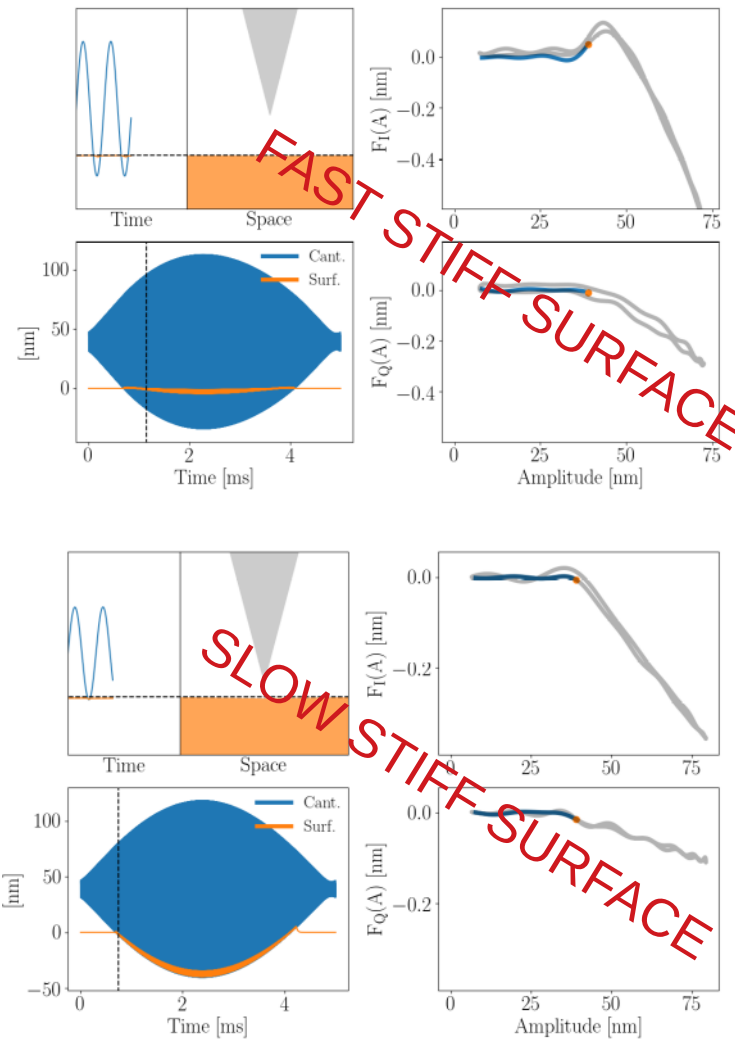
Courtesy of P.A. Thoren

# Fit to moving surface model

PCL amorphous phase

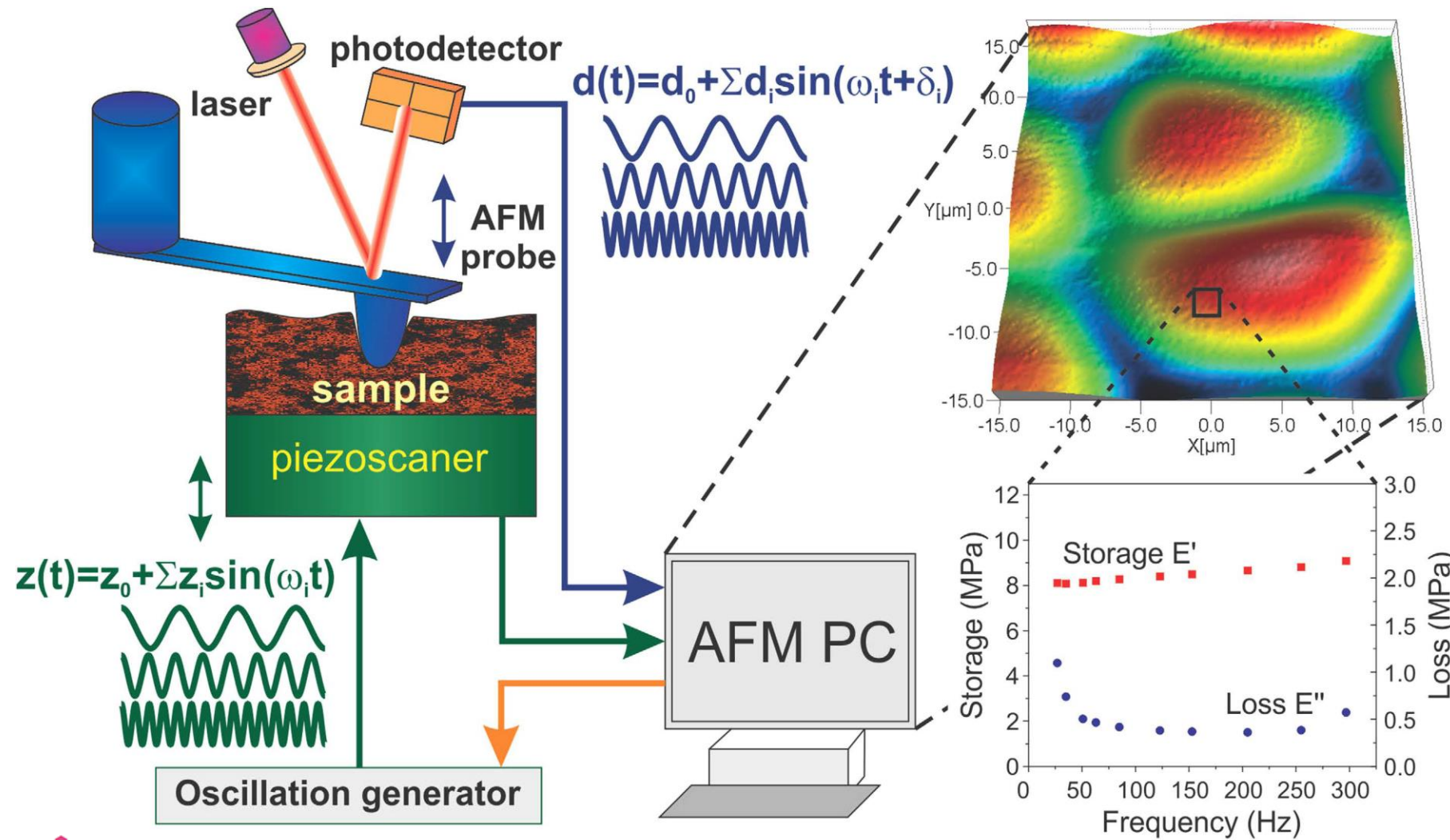


Courtesy of P.A. Thoren



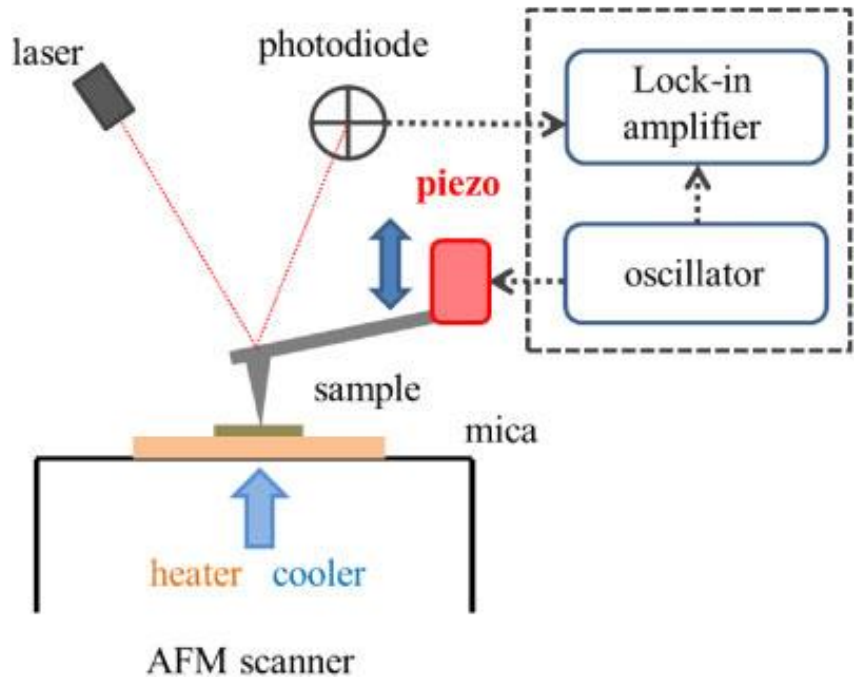
Courtesy of P.A. Thoren

# FT-NanoDMA



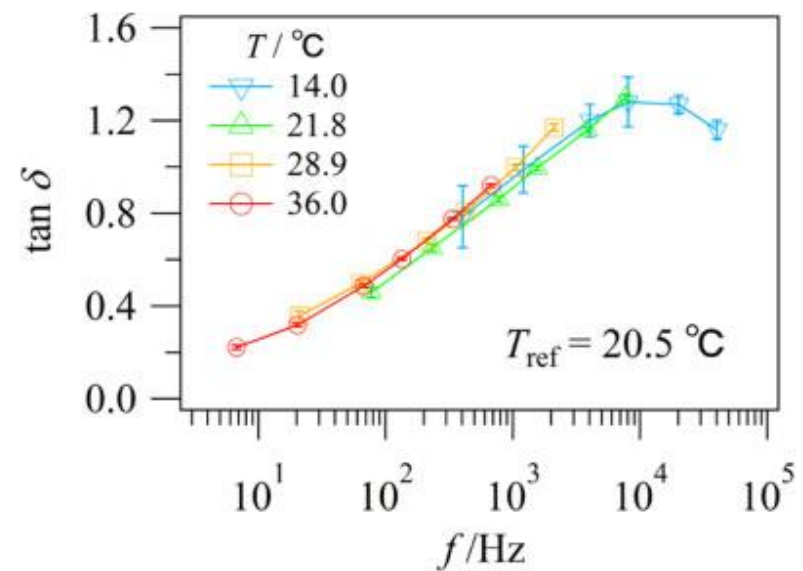
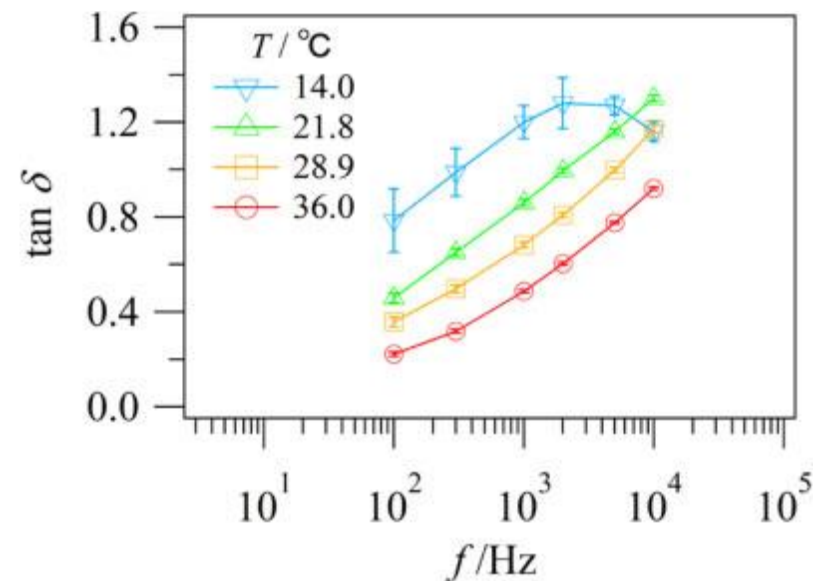
# Nanorheological AFM

Vulcanized SBR



Williams–Landel–Ferry (WLF) equation

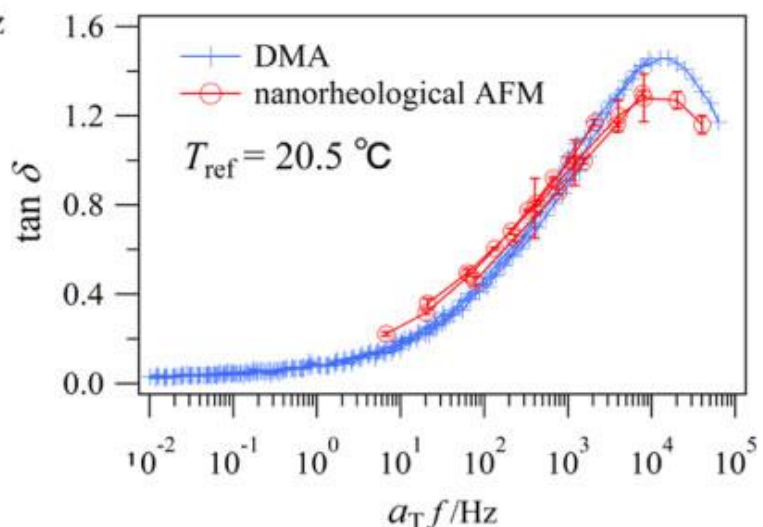
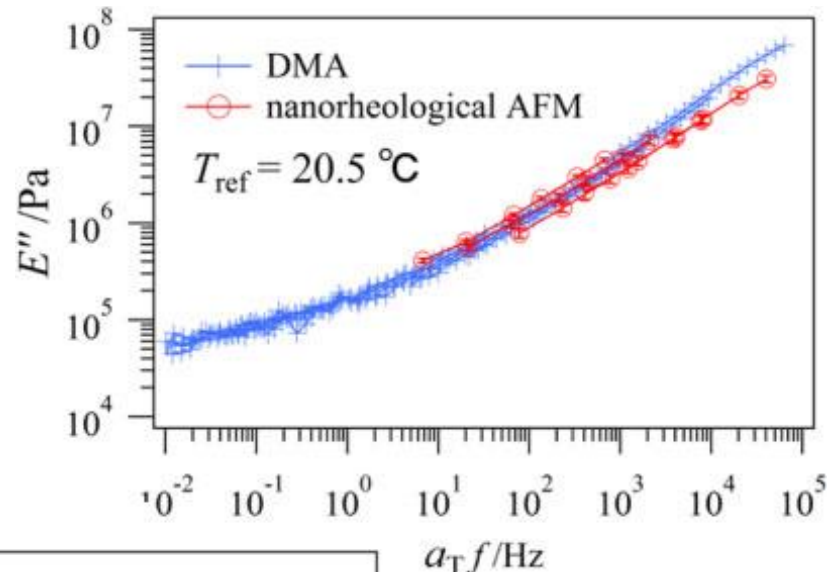
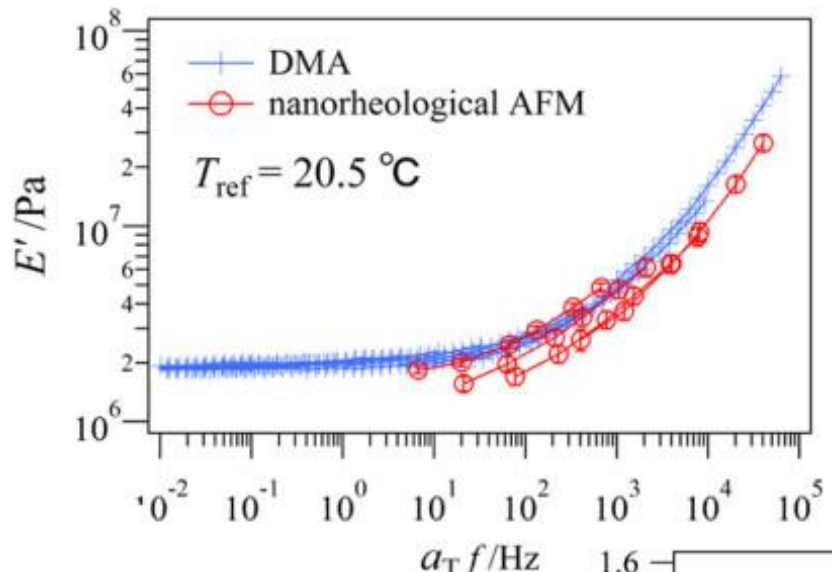
Japanese Journal of Applied Physics 57, 08NB08 (2018)



# Nanorheological AFM

Vulcanized SBR

Japanese Journal of Applied Physics 57, 08NB08 (2018)



$E'$  = Storage Modulus  
 $E''$  = Loss Modulus  
 $\tan \delta = E'/E''$

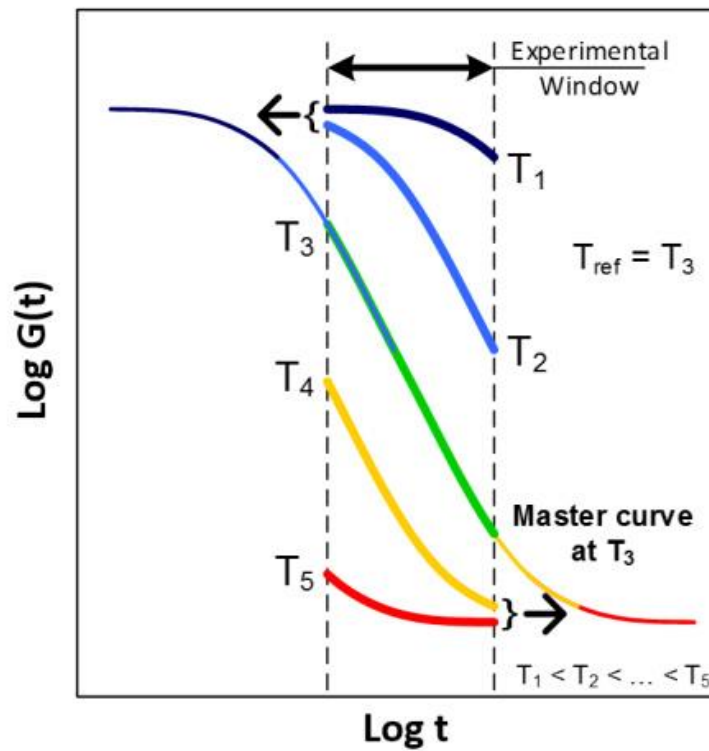
# Take home message ...

**Combined, AFM measurements with non-resonant modes and resonant modes can provide**

FV based Contact Resonance for stiff samples at higher frequencies.

FV force nDMA, and FI/FQ curves (ImAFM) for soft samples at low frequencies.

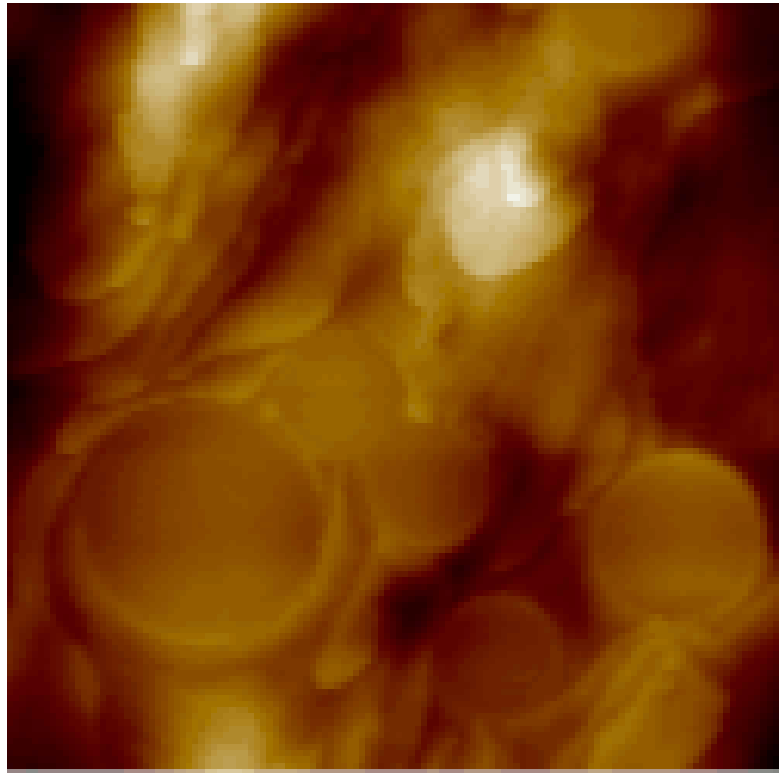
FV and PFT cover wide range of ramp rates for time-temperature studies.



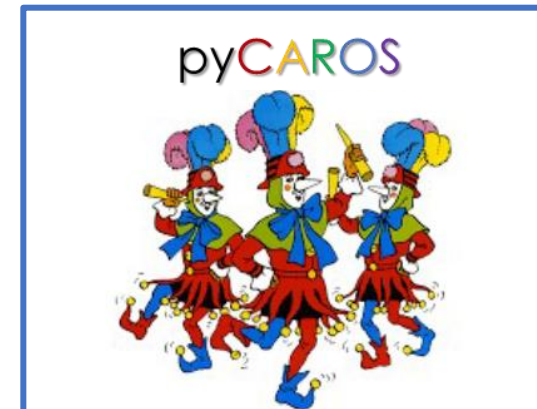
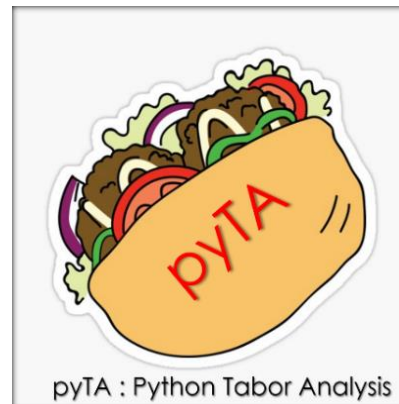
# Conclusions

Multifrequency AFM methods are extremely promising but also need some (new) models to provide **quantitative parameters**.

Data-driven materials development and design (machine learning, AI) are most probably the key issue to achieve this goal.



For instance, recording of stiffness, deformation, adhesion and viscoelastic ( $E'$ ,  $E''$ ,  $\tan \delta$ ) property maps in parallel to the topography image is now possible with **quantitative values** and using an appropriate **data clustering approach** and adapted **mechanical model(s)** and **preprocessing** of the force curves (deep learning)..





# Questions ?

